

МИНИСТЕРСТВО ГЕОЛОГИИ СССР

МИНИСТЕРСТВО ГЕОЛОГИИ РСФСР

ДАЛЬНЕВОСТОЧНОЕ ТЕРРИТОРИАЛЬНОЕ ГЕОЛОГИЧЕСКОЕ УПРАВЛЕНИЕ

Уч. № 0116

ГЕОЛОГИЧЕСКАЯ
КАРТА СССР

МАСШТАБА 1:200 000

СЕРИЯ СТАНОВАЯ

Лист № -52-XI

Объяснительная записка

Составитель *Л.П.Карсаков*

Редактор *Ю.Б.Казанин*

Утверждено Научно-редакционным советом ВСЕГЕИ

9 февраля 1967 г., протокол № 4

ВВЕДЕНИЕ

Территория листа № 52-ХI ограничена координатами $54^{\circ}40'$ – $55^{\circ}20'$, с.ш. и $130^{\circ}00'$ – $131^{\circ}00'$, в.д. По административному делению она относится к Зейскому району Амурской области РСФСР.

В орографическом отношении рассматриваемая территория расположена в области соединения южных предгорьев Станового хребта и западных отрогов хр.Джулыра с северо-восточной окраиной Верхнезейской депрессии, что обуславливает разнообразие рельефа района. Наиболее возвышенная северо-восточная часть района представляет собой высокогорье со скалистыми вершинами водоразделов и крутыми склонами. Северная и юго-восточная части площади листа относятся к среднегорью с широкими стяженными водоразделами и выполнеными долинами. Низкогорный рельеф центральной части района к юго-западу сменяется холмисто-увалистой равниной. Абсолютные отметки высот в высокогорной части района достигают 1700–1800 м, а относительные превышения колеблются в пределах 500–600 м. Здесь же расположена высота с наименьшей абсолютной отметкой 1954 м. С севера-юго-запада на юго-запад абсолютные отметки и относительные превышения постепенно уменьшаются соответственно до 400–500 и 50–100 м.

Главной водной артерией территории является р.Зея, протекающая с севера на юг до устья р.Купури и далее на юго-запад. Ширина ее достигает 200–350 м, глубина на плесах не превышает 4 м, а на перекатах 0,5 м. Средняя скорость течения реки равна 1,3 м/сек. На описываемой территории р.Зея принимает ряд крупных притоков: слева – реки Купури, Джаларма, справа – реки Итанды, Якодокит. Река Большой Иракан, дrenирующая северо-западную часть района, впадает в р.Зея за пределами территории. Все эти реки текут в ящикообразных долинах шириной от 200 до 2000 м,

имеет многочисленные перекаты и прижимы и небольшую глубину (1,1 - 1,5 м). Режим рек не устойчивый, сток в основном формируется за счет атмосферных осадков.

Обнаженность района неравномерная; коренные выходы пород наблюдаются по берегам крупных рек и их некоторых притоков. В пределах среднегорья и высокогорья коренные обнажения встречаются также и на водоразделах. В области холмисто-увалистого рельефа они практически отсутствуют.

Климат района резко континентальный. По данным метеостанции "Ложник" (1960-1963 гг.), среднегодовая температура воздуха равна $-6,5^{\circ}\text{C}$; с минимумом в январе (-50°C) и максимумом в июле ($+32^{\circ}\text{C}$). Зима продолжительная (до 6 месяцев), малоснежная, лето короткое дождливое. Среднегодовое количество осадков в районе составляет 450-510 мм, из которых 60-70% выпадает в июле и августе. Снег лежит в конце октября и скапливается в конце апреля. Отрицательная среднегодовая температура обуславливает почты повсеместное развитие многолетней мерзлоты, которая препятствует нормальному развитию почвенного покрова. В высокогорье и среднегорье преобладают грубообластные и щебнистые почвы, в низкогорье и в области развития холмисто-увалистого рельефа — суглинко-щебнистые, слабо оползенные почвы. На заболоченных участках развиты торфянистые, а на аллювиальных напосах встречаются суглинистые и супесчаные почвы. Мощность почвенного слоя превышает 0,5 м.

Растительность горно-таежная. Наиболее широко распространена лиственница, меньше ель, сосна, береска, кедровый стланик. Заболоченные участки заросли осокой и ижами с угнетенной карликовой древесной и кустарниковой растительностью. В северо-южной тайге гольцовой части района преобладают лишайники. Животный мир разнообразен. Здесь водится лось, белка, бурундук, лесной олень, кабарга, бурые медведь, лиса, горностай, соболь, заяц и др. Район богат боровкой и золоплавающей птицей. В реках много рыбы.

Близи устья р. Кутуры расположена единственная населенная пункт — посёлок "Ложник", который обслуживает несколько человек. Район посещается охотниками и оленеводами из ближайшего пос. Борнак, расположенного в 175 км к западу. Сообщение в районе возможно по звичным тропам, проложенным вдоль крупных рек, и по рекам Зея и Кулуги на логотных лодках. На косах р. Зеи, вблизи устья р. Джагары и других местах возможна посадка

самолетов Ан-2. Реки Зея и Кулуги пригодны для сплава леса.

В связи с отдаленностью и труднодоступностью территории листа № 52-ХI до последнего времени оставалась слабо изученной. Первые сведения об орографии и геологии территории листа получены в результате работ Н.Г.Меглинского (Мельников, 1893), Н.П.Аносова (1857Ф), Э.Э.Аннера (1915), установленных здесь широкое развитие разнообразных изверженных и метаморфических пород и признаки золотоносности. После этого район неоднократно исследовался многочисленными отрядами стартелей и поисковыми партиями золотопромышленных компаний, но данные по этим работам не сохранились.

В 1937 г. А.Сайдин (1937Ф) и в 1944 г. Н.Н.Прокопчило (1945Ф) проводили поиски золота в долинах рек Кинлянжака и Кулуги. Ими долины этих рек оценены отрицательно на россыпное золото.

В 1950 г. П.С.Матросов (1951Ф) и В.В.Волков (1951Ф) провели специализированные поисково-съемочные работы масштаба 1:50 000 в северной части территории листа № 52-ХI. Метаморфические породы разделены ими на четыре свиты и отнесены к архею.

В 1950-1952 гг. П.А.Сушкин и В.А.Левченко (1952Ф) составили некондиционную геологическую карту масштаба 1:200 000 для восточной половины территории листа № 52-ХI. Метаморфические образования были отнесены к архею и расчленены на четыре свиты. Несмотря на то, что П.А.Сушкин и В.А.Левченко проводили геологическую съемку одновременно с П.С.Матросовым и В.В.Волковым на смежных площадях, схемы стратиграфии, выработанные этими исследователями, мало увязывают между собой. П.А.Сушкин выявил ряд склоновых синклиновых проявлений за пределами территории листа.

Из региональных работ, выполненных к этому времени за пределами территории листа, большое значение для правильного понимания геологии района имеют работы Д.С.Коржинского (1935, 1939) и Ю.К.Дзевановского (1958, 1959). Д.С.Коржинский положил начало изучению архейского комплекса Алданского щита, расчленение его на три серии: Иентрскую, Титонскую и Джалтулинскую. Большое внимание в работах Д.С.Коржинского отводится исследованию метаморфических процессов, в частности ретроградного метаморизма.

Ю.К.Дзевановский детализировал и дополнил схему Д.С.Коржинского, расчленив серию архея на свиты, и заложил основы

разделения метаморфических образований в регионе на архейские и нижнепротерозойские, впервые выделив нижнепротерозойский комплекс метаморфических пород в зоне Станового хребта.

В 1956 г. Г.Г.Марченко и В.Н.Можкин (1957 ф) провели геологическую съемку западной половины территории листа №-52-ХI в масштабе 1:1 000 000. Впервые в районе ими выделены нижнепротерозойские метаморфические и магматические образования. Гней-

совый комплекс нижнего протерозоя они разделили на две серии: Лучинскую (нижнюю), сложенную преимущественно амфиболовыми гней-

сами, и Ульяновскую (верхнюю), представленную в основном биотитовыми гнейсами. Впоследствии В.Н.Можкин (1961 ф) по этим материалам выделял джагаринскую и ганиканскую свиты Лучинской серии. Ввиду неправильной расшифровки структуры района положение этих свит в разрезе метаморфических пород при последующих работах не подтверждилось (Карсаков, 1964 ф). Среди протерозойских интрузий Г.Г.Марченко и В.Н.Можкиным выделялись габброиды маиско-Джанинского, гранитоиды Древнестанового, Токско-Алто-Минского и Шаргайского комплексов, среди мезозойских — кристаллические, нижне- и верхнемеловые гранитоиды. Раннепротерозойские двуслюдильные гранитоиды были отнесены к породам Древнестанового ком-plexa и, частично, к ярским гранитоидам.

В 1960 г. под редакцией Л.И.Красного издана Государственная геологическая карта листа №-52 (Красный и др., 1960) в масштабе 1:1 000 000. Для площади листа №-52-ХI за основу при составлении этой карты взяты результаты работ П.А.Сукачова, В.А.Левченко, П.С.Матросова, В.В.Волкова, Г.Г.Марченко, В.Н.Можкина.

В 1961-1965 гг. Геологосъемочная экспедиция Дальневосточного геологического управления проводила в пределах площади листа №-52-ХI геологическую съемку и поиски масштаба 1:200 000. Геологическая карта масштаба 1:200 000 на северную часть территории составлена В.А.Дрененко (1962 ф, 1963 ф), на южную — Л.П.Карсаковым (1964 ф, 1965 ф). Материалы этих работ легли в основу геологической карты и карты полезных ископаемых листа №-52-ХI и настоящей обобщающей записи к нему.

При составлении геологической карты листа №-52-ХI учтены результаты геологической съемки масштаба 1:50 000 в бассейне р.Унина (Руденко, 1966 ф), а также геологических съемок масштаба 1:200 000 и исследований, проведенных на определенных территориях (Гимельфарб, 1963; Каинин, 1963; Микаилов, 1963; Ломак, 1964; Сей, 1960; Можкин, 1961, 1961 ф и др.).

При проведении геологосъемочных работ и составлении геологической карты использовались аэромагнитные карты в графиках ΔT масштаба 1:200 000 (Казаков и Казачихина, 1957 ф; Золотарев, 1960 ф), 1:100 000 (Гусаков, 1962 ф) для всей территории листа и гравиметрическая карта масштаба 1:200 000 (Ремниб, 1963 ф) для его юго-западной части, а также результаты ленифрирования аэрофотоснимков масштаба 1:25 000.

На картах графиков ΔT по отрицательному магнитному полю интенсивность от 0-400 гамм отбиваются контуры массива раннепротерозойских двуслюдильных гранитов (рис.1). Для площа-дей развития раннепротерозойских и раннемеловых габброидов характерны магнитные поля интенсивностью от +1000 до +2000 гамм, раннемеловых (?) гранитоидов — знакопеременные магнитные поля интенсивности от -600 до +700 гамм. В отдельных местах по устойчивому отрицательному магнитному полю интенсивностью от -200 до -700 грубо намечается контуры площадей, занятых метаморфическими породами нижнего протерозоя. Линейно вытянутые пологие аномальные значения ΔT контролируют тектонические нарушения.

На аэрофотоснимках отчетливо ленифрируются молодые разрывные нарушения, площади распространения рыхлых отложений неоген-четвертичного возраста, четвертичных аллювиальных и ледниковых отложений, некоторые детали геоморфологического строения района. На отдельных участках (реки Якодок, Онони, Карчелак) на аэрофотоснимках хорошо видны меловые даюки.

Геологическая карта листа №-52-ХI полностью увязана с картами, составленными для смежных площадей, граничащих с районом на севере и востоке. На юге сопредельный лист не картировался. По западной рамке имеется незадела с соседним листом в трактовке возраста двуслюдильных гранитов. Новейшими исследованиями установлено, что двуслюдильные граниты являются более молодой фацией раннепротерозойских (?) интрузий, чем древнестановые граниты (Карсаков, 1964 ф, 1965 ф). На карте полезных ископаемых листа с запада листа №-52-ХI к его восточной рамке подведен обширный широкий ореол рассеяния пелита и спектрометаллометрический ореол рассеяния смыча. На территории листа №-52-ХI падает в щелах распространен повсеместно и локальных ореолов не образует. Ореол рассеяния смыча на площади листа №-52-ХI, по данным спектрометаллометрического опробования донных осадков, не распространяется.

СТРАТИГРАФИЯ

В геологическом строении территории принимают участие метаморфические образования архея и протерозоя, осадочно- vulkanogenicные породы мезозоя и кайнозойские раковые отложения. Кроме того, широко развиты интрузивные породы ранне-протерозойского раннемелового (?) и позднемелового возраста. Наиболее широко распространены метаморфические образования протерозоя и раннемеловые интрузивные породы.

АРХЕЙ

Джелтулинская серия

Архейские образования (алданский комплекс) развиты на северо-востоке территории и представлены породами худурканской серии Джелтулинской серии.

Худурканская серия. Средняя полосита (A_{hd}). Породы средней полоситы худурканской свиты обнаруживаются на площади около 5–6 км² в верховьях р. Джалары, куда они заходят с территории листа № 52 У. Рассматриваемая полосита сложена мраморами с редкими прослоями и линзами роговообманково-дупироксеновых кристаллических сланцев мощностью до первых сотен метров.

Мраморы – белые, желтовато-серые, средние-крупновернистые, неравномерновернистые породы массивного сложения, состоящие из кальцита и доломита. Часто встречающиеся минерализованные мраморы содержат включения (до 20%) диопсида, фторитита, граната, редко полевого шпата и кварца. Структура мраморов гранобластовая, пегеробластовая.

Роговообманково-дупироксеновые кристаллические сланцы – темно-серые, слабо полосчатые среднезернистые, реже крупнозернистые породы, состоящие из плагиоклаза № 35 (50–60%), моноклинного широксена (25–30%), буровато-коричневой роговой обманки (5–15%), гиперстена (5–15%). Аксессорные минералы представлены сферулитами, цирконом, рутилом и магнетитом. При дифторезе роговообманково-дупироксеновых кристаллических сланцев образуется бледно-зеленая роговая обманка, зеленый биотит, плюзит. Структура сланцев гранобластовая и немагногранобластовая.

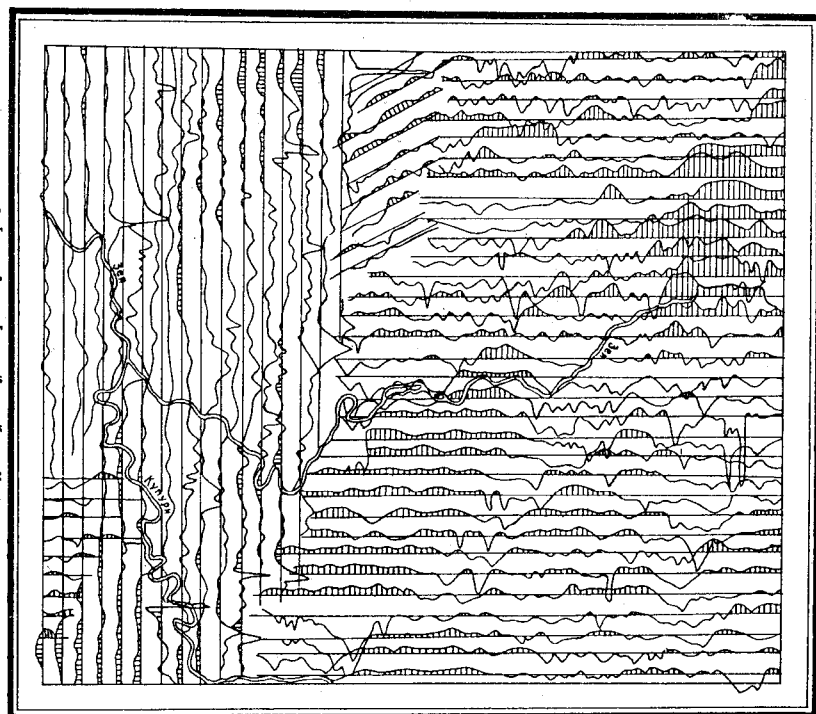
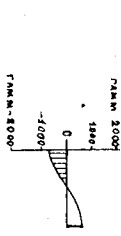
Видимая мощность подстилает 1500 м.

Рис. I. Карта гравиметрических

изолиний

и гравиметрических

изолиний



Принадлежность рассмотренных пород к средней подсекции

Худурканской свиты определяется на соседней с севера территории залеганием их на образованиях, слагающих более нижние части Худурканской свиты. Последние, в свою очередь, залегают на сум-

марке Худурканской свиты наблюдается также прослои гиперстенитовых, биотит-тилерстеновых и дуптироксеновых гнейсов. Архейский возраст описанных образований обосновывается, прежде всего, единством с кристаллическими толщами Алансского шита, наличием парагенетических ассоциаций минералов гранулитовой фации метаморфизма (Михайлова, 1963), характерных для пород, слагающих архейский фундамент большинства шитов мира. За пределами района этот возраст подтверждается определением абсолютного возраста пород в 2900–4450 млн. лет (Глебовский, Другова и др., 1965).

ПРОТЕРОЗОЙ

НИЖНИЙ ПРОТЕРОЗОЙ

На преобладающей части описываемой площади развиты стратифицирующиеся образования разнообразного состава, метаморфизованные в амфиболитовой фации (стабильной комплекс). Эти образования по литологическому составу и характеру разреза имеют некоторое общее сходство с образованиями Иликанской серии нижнеперегородского возраста, выделенной в западной части бассейна верхнего течения р. Зеи (Рассказов, 1961; Федоровский, 1961; Скатынский, 1963). По петрографическому составу и структурно-стратиграфическим взаимоотношениям Иликанская серия в стратотипе расчленена на пять свит: Джигаллинскую, представленную существенно биотит-роговообманковыми гнейсами и кристаллическими сланцами, Чичанскую – биотитовыми и гранат-биотитовыми гнейсами, Урмскую – роговообманковыми и биотит-роговообманковыми гнейсами и кристаллическими сланцами, Унажинскую – биотитовыми и гранат-биотитовыми гнейсами и кристаллическими сланцами, Наконец, Джянскую – преимущественно биотитовыми и роговообманково-биотитовыми гнейсами.

Иликанская серия

Образования Иликанской серии в пределах листа № 52-ХI представлены породами Джигаллинской, Чичанской и Урмской свит.

Джигаллинская свита ($Pt_1 d_9$) обнажена в бассейнах рек Джигары, Унина (северо-восточная часть территории) и Мал. Ванги, Яколокита и на левобережье р. Кылгуря (южная часть площади). Она сложена биотит-роговообманковыми гнейсами с прослоями и линзами роговообманково-биотитовых, роговообманковых, биотитовых, тафлит- и гранат-биотитовых гнейсов, мраморов, биотит-роговообманковых кристаллических сланцев и амфиболитов. Низы свиты в районе не известны.

Наиболее полный разрез Джигаллинской свиты изучался по рече Зее (вблизи устья р. Якодокита), где обнаружены (снизу вверх):

I. Пачка переслаивания биотит-роговообманковых и роговообманково-биотитовых гнейсов.	
Видимая мощность	350 м
2. Гнейсы биотит-роговообманковые	50 "
3. Гнейсы роговообманково-биотитовые с прослоями биотит-роговообманковых гнейсов	200 "
4. Пачка переслаивания биотит-роговообманковых и роговообманково-биотитовых гнейсов	100 "
5. Гнейсы гранитизированные биотит-роговообманковые	400 "
6. Гнейсы биотит-роговообманковые с редкими прослоями гранат-биотит-роговообманковых гнейсов	200 "
7. Гнейсы биотит-роговообманковые с прослоями амфиболитов	500 "
8. Пачка переслаивания биотит-роговообманковых и роговообманково-биотитовых гнейсов	250 "
9. Гнейсы биотит-роговообманковые	250 "
10. Гнейсы биотит-роговообманковые с прослоями роговообманково-биотитовых гнейсов	100 "
11. Гнейсы биотит-роговообманковые с редкими прослоями амфиболитов	200 "
12. Гнейсы биотит-роговообманковые с редкими прослоями амфиболитов	100 "

Суммарная мощность свиты в приведенном разрезе – 2700 м.

Свита по простиранию претерпевает некоторые фациальные

изменения. Так, несколько восточнее р.Зеи, по правым притокам р.Кулури, в разрезах джигиталинской свиты увеличивается количество роговообманково-биотитовых гнейсов, появляются маломощные прослои и линзы биотитовых, гранат-биотитовых и графит-биотитовых гнейсов, биотит-рогообманковых кристаллических сланцев, кварцитов. В северо-восточной части района, в бассейне р.Джалар-Ми в низах свиты встречаются прослои и линзы мраморов, а в средней ее части - биотит-графитовые гнейсы.

Общая мощность джигиталинской свиты 2700 м.

Биотит-рогообманковые гнейсы - темно-серые, мелко- и среднезернистые породы с плоско-параллельной текстурой и лепидогранобластической структурой. В состав их входят: птишиоклаэ № 25-35 (50-70%), зеленая роговая обманка (10-20%), биотит (5-10%), кварц (10-30%), кальмийский полевой шпат (0-10%). Аксессорные минералы представлены орбитом, сфеном, апатитом, цирконом и рудным. Нередко в них присутствуют мелкие зерна граната (до 5%). Рогообманковые гнейсы отличаются отсутствием биотита, рогообманково-биотитовые - преобладанием биотита над роговой обманкой. В биотит-рогообманковых и рогообманковых кристаллических сланцах содержание кварца обычно не превышает 10%. Иногда в них присутствует гранат, пикрит (до 5-8%).

Амфиболиты имеют незначительное распространение. Это темно-серые, грубогнейсивидные среднезернистые породы, состоящие из роговой обманки (50%), птишиоклаэ № 35 (45%) и акцессорных минералов - сфена, апатита и магнетита.

Мраморы, графит-биотитовые, гранат-биотитовые гнейсы, кварциты аналогичны породам, слагающим чимчанскую свиту.

Чимчанская свита ($Pt_1 c_m$) обнаруживается в виде двух разобщенных полос различной (3-15 км) ширины на севере территории листа (бассейны рек Итымы, Джалары, Унина) и на юге (бассейны рек Кулури, Онони и Бол.Иракана). Свита согласно залегает на нижележащей джигиталинской свите и имеет с ней достаточно резкую четкую границу. Контакт между ними изучен по р.Онони, правым притоком р.Кулури и вблизи истоков станции "Погоняк", где он проводится по появлению первых пачек биотитовых и двуслюдянных гнейсов ржаво-буровой окраски, относящихся к чимчанской свите. В составе рассматриваемой свиты преобладают биотитовые, двуслюдянные гнейсы и сланцы, часто с гранатом; в подчиненном количестве встречаются кварциты, мраморы, амфиболиты, биотит-рогообманковые, графит-биотитовые и силиманин-биотитовые гнейсы. При довольно пестром составе свиты она хоро-

шо выделяется по простиранию и является маркирующей толщей, позволяющей выявлять складчатые структуры нижнепротерозойских образований.

Типичный разрез чимчанской свиты изучен на правобережье р.Кулури, по руч.Карандаш, где наблюдаются (снизу вверх):

1. Пачка переслаивания сильманин-биотитовых, двуслюдянных гнейсов и сланцев, рогообман-

ково-гранатовых кварцитов, залегающих на гранат-биотит-рогообманковых гнейсах джигиталинской

свиты. Мощности отдельных прослоев пород 5-15 м 125 м

2. Гнейсы биотитовые с малоомощными (5-10 м)

прослоями амфиболитов, железистых, рогообманково-гранатовых кварцитов и доломит-рогооб-

манковых сланцев 100 "

3. Гнейсы биотитовые 250 "

4. Гнейсы биотитовые с прослоями (до 5 м) амфиболитов и доломит-диопсидовых кварцитов 300 "

5. Гнейсы биотитовые с прослоями амфибо-

литов, рогообманково-биотитовых гнейсов и

слюдистых кварцитов 625 "

6. Гнейсы и сланцы гранат-биотитовые, био-

тиловые с прослоями (до 5 м) железистых, рого-

вобманково-гранатовых кварцитов и амфиболитов

Мощность свиты по разрезу 1600 м.

Задалее, по рекам Онони, Бол.Иракану, в нижней и средней частях свиты появляются многочисленные прослои диопсидовых

слюдистых, реже железистых, силиманинитовых, гранат-силима-

нитовых и графитистых кварцитов и линзы мраморов. В отдельных линзах мощность диопсидовых кварцитов достигает 500-600 м,

чаще мощность их составляет 150-200 м. В истоках руч.Тыльгачи и в нижнем течении руч.Нельгака в чимчанской свите встречаются линзы мощностью до 10 м гранат-антფилитовых амфиболитов, листен-стяролит-кордierит-антфилитовых и флогопит-диопсидовых пород.

В бассейне р.Итымы чимчанская свита сложена биотитовыми и графит-биотитовыми гнейсами с редкими прослоями в низах сви-

ты мраморов, биотит-рогообманковых гнейсов и амфиболитов.

Восточнее, по р.Джаларе, в низах разреза свиты преобладают гранат- и графитодержащие биотитовые, двуслюдянные и мусковитовые гнейсы, сменяющиеся к верхам биотитовыми гнейсами с пол-

р.Джагарме и далее к востоку, в междууречье Джагарма - Унин, в разрезе чимчанской свиты появляется довольно много прослоев и линз минерализованных мраморов и ассоциирующих с ними скарновиднолобобных цоизит-диопсидовых, диопсид-циозитовых, гранат-рогообманково-диопсидовых, цоизит-диопсид-рогообманковых кристаллических сланцев мощностью 3-5 м, реже 20 м, а в верхах разреза встречаются прослои (до 2-5 м) гранат-биотит-рогообманковых кристаллических сланцев.

Мощность чимчанской свиты 2000 м.

Биотитовые гнейсы - серые, коричневато-серые тонкосланцеватые среднезернистые породы, состоящие из плагиоклаза № 20-25 (35-60%), кварца (15-25%), ржаво-бурового биотита (10-15%) и акцессорных минералов (циркона, апатита, рутила, монацита, магнетита). Графит-биотитовые и гранат-биотитовые гнейсы содержат до 10% соответственно графита и граната, редко силиманин (до 15%), а в междууречье Джагарма - унин - клиноцизит (3-5%). При гранитизации в них появляется микроклин до 20%. В двуслюдяных разностях встречается мусковит до 15%. Структура биотитовых гнейсов лепидогранобластовая, порфиробластовая. В биотитовых сланцах резко увеличивается количество биотита (35-40%), кварца (30-35%) и уменьшается количество плагиоклаза (до 5-8%). Иногда в сланцах встречаются графит, силиманин, гранат, редко - земельный эпидот.

Кварциты - светло-серые, почти белые средне-крупнозернистые породы массивного или полосчатого сложения. По петрографическому составу среди них выделяются диопсидовые (диопсид - $cNg = 38-40^\circ$; $2V = 58-60^\circ$), железистые, амфибол-гранат-магнитовые, рогообманково-гранатовые, слюдистые, цоизит-диопсидовые, силиманиновые, гранат-силиманиновые, графитовые разности. Наиболее широко распространены диопсидовые кварциты. Содержание второстепенных минералов в них обычно не превышает 20%, редко достигает 30-40%, и в этом случае породы имеют резко выраженную полосчатость и относятся к кварцито-сланцам. Аксессорные минералы в кварцитах представлены рутилом, цирконом, апатитом, пиритом, ильменитом, реже сференом. Структура кварцитов гранобластовая, нематогранобластовая и лепидогранобластовая в зависимости от присутствия того или иного второстепенного минерала.

Минерализованные мраморы - зеленовато-серые или желтовато-белые крупнозернистые полосчатые, реже массивные породы. Мраморы состоят из кальцита или доломита и кальцита с примесью

(10-40%) кварца, плагиоклаза, диопсида ($cNg = 39-42^\circ$; $2V = 58-60^\circ$), форстерита ($cNg = 0^\circ$; $2V = 88^\circ$), флогопита и графита. Структура гранобластовая. Редко встречаются чистые мраморы с примесью доломита. В приустевой части р.Купури и руч.Нельгата встречаются зеленовато-серые, крупнозернистые массивные флогопит-диопсидовые и диопсид-флогопитовые породы, являющиеся метасоматическими производными мраморов. Состав этих пород следующий: саплит ($cNg = 40-44^\circ$; $2V = 60-62^\circ$) - 30-95%, флогопит (5-70%), кальцит (5-8%), плагиоклаз (1-2%). Структура гранобластовая.

С карбонатными породами тесно ассоциируют скарновиднолобобные цоизит-диопсидовые, диопсид-циозитовые, гранат-рогообманково-диопсидовые, цоизит-диопсид-рогообманковые полосчатые кристаллические сланцы пестрого (белого, зеленого, красного) цвета. Они состоят из блеклоокрашенного диопсида ($cNg = 39-44^\circ$; $2V = 59^\circ$) - 10-40%, бледно-розового граната (0-15%), плагиоклаза иттического клиноцизита или цоизита (10-35%), плагиоклаза № 20-79 (30-40%), кальцита (0-15%), кварца (0-10%), вторичной сине-зеленой роговой обманки ($cNg = 26^\circ$; $2V = 62^\circ$) - 5-20%, кальциевого полевого шпата (до 5-7%), примеси графита и вторичного эпидита по плагиоклазу. Из акцессориев характерны сферен, апатит, реже встречаются циркон, рудный минерал. Структура пологой гранобластовая, местами коррозионная. По мнению автора, эти породы представляют собой минерализованные первично карбонатодержащие породы типа карбонатно-глинистых сланцев, глинистых известняков и мергелий с примесью территенного материала.

Биотит-рогообманковые гнейсы и амфиболиты по внешнему облику и минеральному составу не отличаются от аналогичных пород Урюмской свиты, окраинных кристаллических сланцев и минералов. Их отличают лишь локальные участки метаэстации "Ложак", безымянная скопка на левом берегу р.Купури, вблизи устья р.Кильчаджака) в чимчанской свите среди слюдистых и силиманиновых кварцитов встречаются гранат-ант菲尔литовые амфиболиты. С ними ассоциируют маломощные (первые метры) линзы полосчатых темно-серых пород, состоящих из кварца 30-50%, кордимерита ($2V$ от 68 до 70°) - 10-40%, листена 30-50%, кордимерита ($cNg = 32-34^\circ$; $2V = 84^\circ$) - 10-30%, ставролита ($cNg = 0^\circ$; $2V = 81^\circ$; $Ng = 1,745$; $Np = 1,797$) - 0-15%, силиманинта - 0-5%, антофилита ($cNg = 2-3^\circ$; $+2V = 85^\circ$) или жедрита ($2V$ от 66 до 72°) - 30-40% и чешуйки бледно-коричневого биотита. Аксессорные минералы: рутил, рудный, циркон и монацит. С последними двумя минералами связаны плеохроичные дворики в

кордиерите, биотите и амфиболе. Структура этих пород лепидогранобластовая, коррозионная.

Уральская свита (Рт₁ и₁) обнажена в центральной части территории листа, где протягивается в виде полосы шириной 6–15 км от р. Купури через бассейн р. Инагли на правобережье р. Зеи. Изолированные выходы свиты также на широком участке р. Унина и в нижнем течении рек Акылдаг, Каурака.

Уральская свита залегает согласно на чиманской свите и связана с ней постепенными переходами. Граница между ними проходит по появлению в разрезе значительного количества биотит-ротовообманковых гнейсов и кристаллических сланцев, характерных для Уральской свиты. Верхи разреза Уральской свиты не известны. Сложенна свита преимущественно биотит-ротовообманковыми и ротовообманковыми гнейсами и кристаллическими сланцами, в меньшей мере – амфиболитами, ротовообманково-биотитовыми гнейсами и железистыми кварцитами. Свита хорошо обнажена по рекам Зея и Купури. По р. Купури наблюдался следующий типичный ее разрез (снизу вверх):

1. Кристаллические сланцы ротовообманковые.	
Видимая мощность	500 м
2. Амфиболиты мелкозернистые с маломощными прослоями железистых кварцитов	30 "
3. Кристаллические сланцы ротовообманковые	70 "
4. Амфиболиты мелкозернистые	25 "
5. Переяры в обнаженности	250 "
6. Кристаллические сланцы ротовообманковые, переслаивающиеся с биотит-ротовообманковыми кристаллическими сланцами и гнейсами	275 "
7. Кристаллические сланцы биотит-ротовообманковые	350 "
8. Кристаллические сланцы ротовообманковые	125 "
9. Кристаллические сланцы биотит-ротовообманковые	50 "
10. Кристаллические сланцы ротовообманковые	50 "
11. Кристаллические сланцы биотит-ротовообманковые	250 "
12. Кристаллические сланцы биотит-платигнейсовые	25 "
13. Кристаллические сланцы биотит-ротовообманковые	125 "

Г4. Кристаллические сланцы интенсивно

милонитизированные 300 м
15. Гнейсы и кристаллические сланцы биотит-ротовообманковые, переслаивающиеся с мелкозернистыми амфиболитами 125 "

16. Гнейсы трубовзернистые биотит-ротовообманковые с маломощными прослоями железистых

кварцитов. Видимая мощность 400 "

Мощность свиты по разрезу 2450 м.

К западу от р. Купури, в междуречье Инагли – Купури, встречаются маломощные прослои ротовообманково-биотитовых и пироксен-ротовообманковых гнейсов. В междуречье Зея – Джагарма и на широком участке течения р. Унина в низах Уральской свиты появляются мощные (до 1200 м) линзы и выклинивающие горизонты гранат-биотит-ротовообманковых кристаллических сланцев, включающие прослои биотитовых гнейсов.

Видимая мощность уральской свиты 3000–3600 м.

Биотит-ротовообманковые кристаллические сланцы – темносерые, полосчатые, грубогнейсовые среднеэзернистые породы, характеризующиеся лепидогранобластовой структурой. Они состоят из биотита (10–15%), ротовой обманки (15–25%), плагиоклаза № 25–35 (60–70%) и кварца (до 10%). Иногда присутствует гранат (до 5%), купроизернистый парагенетический эпидот (5–10%). Аксессорные минералы представлены апатитом, рудным, ортитом и сференом. В ротовообманковых кристаллических сланцах содержание ротовой обманки составляет 20–50%.

Биотит-ротовообманковые гнейсы от аналогичных по составу гнейсов джигитинской свиты резко отличаются своим грубогнейсобразным сложением. Состав их следующий: плагиоклаз № 31–32 (60–70%), сине-зеленая ротовая обманка ($\text{CaO} = 18\%$; $\text{MgO} = 6.9\%$) до 10–20%, кварц (10–15%), биотит (3–8%). В гранитизированных разностях гнейсов присутствует калиевый полевой шпат (3–5%). Из аксессорных минералов встречаются сфен, апатит, пирит, магнетит, циркон, рутил, ортит. Ротовообманковые гнейсы отличаются отсутствием биотита и повышенным (20–25%) содержанием ротовой обманки; иногда в них присутствует моноклинный пироксен (5%). В ротовообманково-биотитовых гнейсах количество биотита достигает 10–15%, ротовой обманки – 5–8%.

Амфиболиты – темно-серые среднеэзернистые грубогнейсоми-

ческие породы с гранобластовой, немагнитной гранобластовой структурой. Они состоят из зеленой, синевато-зеленой ротовой обманки

(50–60%), птилоклаз № 38–44 (30–40%), биотита (0–3%). Акцессорные минералы представлены сферолитом, апатитом, магнетитом, лигнитом. Биотитовые гнейсы и железистые кварциты аналогичны соответствующим породам чимчансской свиты.

Метаморфические породы становового комплекса представляют собой суперкустальные образования геосинклинального типа.

Сформировавшиеся в условиях глубокого регионального метаморфизма и ультраметаморфизма. Судя по совокупности парагенетических ассоциаций минералов (Лысенко, 1963 Ф; Карсаков, 1964 Ф), породы иликанской серии метаморфизованы в средней и высоких ступенях альмандин–амфиболитовой фации. Стратифицированность нижне–протерозойских образований, слоистость пород, выдержанность состава их по простиранию, присутствие в их составе таких типичных представителей паралород, как карбонатные породы, кварциты, гранат– и силимандитодержащие гнейсы и сланцы, наличие прослоев и линза кристаллических сланцев основного состава – все это сильно действует об образовании их за счет первично–осадочных и вулканогенно–осадочных толщ. Литологически и стратиграфически четко выделяемые три толщи являются, вероятно, отражением трех крупных ритмов осадконакопления в нижнем протерозое: терригено–вулканогенного, карбонатно–терригенного и вулканогенного с угленной кремнисто–железистой фацией.

Породы иликанской серии в локальных зонах, приуроченных к различным нарушениям, претерпели регressiveный метаморфизм, выразившийся в образовании низкотемпературных минералов за счет высокотемпературных. Наиболее сильные минеральные изменения проявились в породах, находящихся в древних тектонических зонах (Унин–Кулуринский и Таксакандинский разломы). Гнейсы и кристаллические сланцы в этих зонах приобретают мелко– и микрозернистую структуру, сланцеватую, очковую и миллионную текстуру. Минеральные изменения в них выражались в замещении зеленой роговой обманки бледно–зеленой, коричневато–бурого биотита зеленым, мусковитизации плагиоклаза. Карбонатные породы превращены в леанортитизацию плагиоклаза. Карбонатные сланцы с мелкими складками и окружными порфирокластами (псевдоконгломераты) силикатных пород и диопсида (Р. Макласси). Диопсид не редко полностью замещен треполитом. По минеральным ассоциациям диагностированы породы соответствующих ступеней альмандин–амфиболитовой фации шириной до 1 км (Р. Кулури и др.) гнейсы и кристаллические сланцы

превращены в биотит–актинолитовые, хлорит–эпидотовые сланцы, по минеральным ассоциациям соответствующие зеленосланцевой фации метаморфизма.

Нижнепротерозойский возраст иликанской серии принимается на основании следующих данных: 1) верхняя возрастная граница определяется по несогласному налеканию синийских песчаников на кристаллические сланцы одлонинской свиты иликанской серии в бассейне р. Оленки, на западе Становой зоны (Миронов, Тарасова, 1956 Ф); 2) в отличие от архейских пород Алданского шита, породы иликанской серии метаморфизованы в более низкотемпературной амфиболитовой фации, что в настоящее время является для региона основным критерием разделения пород архея и нижнего протерозоя; 3) на площади развития пород иликанской серии отсутствуют архейские граниты, типичные для Алданского шита; 4) абсолютный возраст становового комплекса 1900–2600 млн лет (Тугаринов, Войтевич, 1966); 5) породы иликанской серии метаморфизируются раннепротерозойскими гранитами, петматиты которых имеют абсолютный возраст 1860 ± 50 млн лет (Тугаринов, Войтевич, 1966). Существует также точка зрения об архейском возрасте становового комплекса.

МЕЗОЗОЙ

МЕЛОВАЯ СИСТЕМА

НИЖНИЙ ОТДЕЛ

Толща андезитовых порфиритов, туфов, туфобекчи (α и Cr_1), распространена в верховых руч. Ингатли (правобережье р. Бол. Иракана) и в междуречье Купури – Инагли на площади соответственно 0,5 и 2,5 км². На первом участке толща сложена андезитовыми порфиритами, а на втором – туфами и туфобекчиями андезитовых руч. Карадаш в основании толщи залягает пачка конгломератов и песчаников мощностью 50 м, которая перекрывается пачкой выше–ро–красных туфов андезитовых порфиритов мощностью 80 м. Верхние толщи сложены зеленовато–серыми туфами и туфобекчиями андезитовых порфиритов. Видимая мощность толщи около 200 м.

Андезитовые порфириты – темно–зеленовато–серые породы с

тиалопилитовой, пилотакситовой, реже микролитовой основной массой. Порфировые выделения составляют 20–60% объема породы и представлены плагиоклазом, роговой обманкой и моноклинным пироксеном. Из акцессорных минералов встречаются апатит, магнетит, пирит. Туфы и туфобрекчи андезитовых порфиритов состоят из обломков андезитовых порфиритов, сцепментированных мелкими обломками кристаллов. Конгломераты состоят из плохо окатанных гальек докембрийских пород (10–40%), размером до 10 см, сцепленных туфобрецистым песчаником. Песчаники состоят из полюкатаенных зерен кварца 50%, полевых шпатов 35–40% и редких обломков гранитов размером до 1 мм. Цемент песчаников глинистый.

Т о л щ а ф е л ь з и т – п о р ф и р о в , д а ц и –
т о в и х п о р ф и р и т о в , и х т у ф о в , т у –
Ф о б р е к ч и (л т Ст₁), занимает площадь около 10 км² на северо-востоке территории, в верхнем течении р. Джалагри. Они залегают почти горизонтально на эродированной поверхности архейских пород и отграничены разломом от раннемеловых (?) гранитоидов. В основании толщи залегает пачка дацитовых порфиритов и их туфобрекций мощностью 100 м. Резко подчиненное значение здесь имеют прослои андезитовых порфиритов. Выше залегает пачка фельзитов и их туфобрекций мощностью 100–150 м. Еще выше наблюдается переслаивание туфов с туфобрекциями дацитовых и андезитовых порфиритов. Мощность отдельных прослоев туфобрекций достигает 20 м. Видимая мощность отсыпаемой толщи кислических аффиузиев равна 250–300 м.

Дацитовые порфириты — серые, зеленовато-серые породы с фиолетовым оттенком массивного сложения. Вкрапленники размером до 3 мм составляют 15–20% объема породы и представлены плагиоклазом, роговой обманкой, биотитом и кварцем. Основная масса имеет пилотакситовую структуру. Туфы и туфобрекчи дацитовых порфиритов сложены обломками андезитовых порфиритов, вулканического стекла и кристаллоластами плагиоклаза и кварца. Цемент их пепловый.

Фельзит-порфириты — светло-серые, желтовато-серые, полосчатые породы с микрогранитовой в комбинации с микрофельзитовой структурой основной массы. Вкрапленники представлены плагиоклазом, количество их не превышает 20% объема породы. Фельзиты отличаются от фельзит-порфиритов отсутствием вкрапленников. Туфы и туфобрекчи фельзит-порфиритов и фельзитов состоят из обломков фельзитов, фельзит-порфиритов, сцепментированных пепловым материалом.

Нижнемеловой возраст вулканогенных образований определяется на основании следующих данных. Аффиузины в бассейне р. Бол. Иракана прорваны раннемеловыми лейкократовыми биотитами и порфироидными гранитами с абсолютным возрастом 98 млн. лет (Карсаков, 1964 ф), а в северо-западной части соседней территории (лист № 52-ХII) — позднемеловыми розовыми лейкократовыми гранитами с абсолютным возрастом 83 млн. лет (Карсаков и др., 1966 ф) и на хр. Талтыг лежат на размытой поверхности раннемеловых (?) гранодиоритов (Полоплев и др., 1963 ф) с абсолютным возрастом 130–135 млн. лет. (Ломах, 1964). На территории листа № 52-ХII (Нагибина, 1960; Федоровский, 1961) аналогичные аффиузины перекрывают флюристически характеризованные верхнедвурекско-нижнемеловые отложения угансской свиты, а их многочисленная галька встречена в конгломератах филимошкинской свиты нижнего мела.

К А Й Н О З О Й

НЕОГЕНОВАЯ И ЧЕТВЕРТИЧНАЯ СИСТЕМЫ

П л и о д е н о в и е и н и ж н е ч е т в е р -

т и ч н ы е о т л о ж е н и я

С о к т а х а н с к а я с в и т а . Н и ж н яя подсвита (№ 4₁, 6) слагает в юго-западной части территории листа плоские водоразделы рек Бол. и Мал. Ванги, Онони и Ягодника, куда она заходит с территории листа № 52-Х. Отложение подсвиты представлены светло-серыми "мучнистыми" каолинизированными, плохо отсортированными песками с галькой и редкими прослоями и линзами гальчиников, гравий. Рассматриваемые отложения залегают на глубоко размытой неровной поверхности кристаллических пород. Мощность отложений нижней подсвиты соктаханской свиты не превышает 40–50 м.

Пески описываемой подсвиты состоят из полукатанных зерен кварца и, в меньшей мере, каолинизированных полевых шпатов размером до 1 мм. Нередко в песках присутствует примесь гравия (до 20%). Галька (до 7 см) в песках хорошо окатана, имеет округлую, реже плоскую форму. Она представлена кварцитами, кварцем, гранитоидами. Гальки гранитоидов часто сильно выбетрены и легко растираются между пальцами.

Галечники состоят из гальки (70-80%), гравия (10-15%) и песка (5-10%) с примесью каолина (до 5%). Галька хорошо окатана и представлена кварцитами, гранитами и эфузивными породами. В составе тяжелой фракции песков преобладают ильменит, циркон, сфен, реже встречаются апатит, анатаз, лимонит, гранат и иногда единичные зерна золота.

Возраст описываемых отложений определяется по аналогии с возрастом идентичных отложений на территории листа № 52-X (Ломак, 1964) и в западных частях Верхнеаейской депрессии (Федоровский, 1961; Сей, 1960), где по спорово-пылевому комплексу их возраст определен как плиоцен-нижнечетвертичный.

ЧЕТВЕРТИЧНАЯ СИСТЕМА

Четвертичные образования представлены нижне-среднечетвертичными, средне-верхнечетвертичными (?), верхнечетвертичными и современными аллювиальными и верхнечетвертичными ледниками с отложениями.

Нижне-серединечетвертичные (Q1-II) распространены по бортам долин рек Зеи, Кулгур и на плоских водоразделах на левобережье р. Зеи (вблизи устья Якодокита и руч. Ломака). Незначительные их выходы известны на водораздельных пространствах и пологих склонах в бассейне р. Мал. Ванти (на карте не показаны). Описываемые отложения являются аллювиальными отложениями древней гидросистемы, сохранившимися на современных водораздельных пространствах волнистая окраина Верхнеаейской депрессии или в долинах рек Зеи и Кулгур, где они слагают III надпойменную террасу высотой 80-120 м. Представлены они бурыми и ржаво-бурыми галечниками, песками и пепельно-серыми глинами, супесью. В низах их разреза преобладают галечники и пески, в верхах — тины с галькой. Мощность ниже-среднечетвертичных отложений не превышает 20-30 м.

Пески полимиктовые, средне- и крупнозернистые, содержат до 20-30% гальки и валуны карацевобразной, эллипсоидальной или уплощенной формы. Размер валунов не превышает 20 см в поперечнике. Петрографический состав гальки и валунов разнообразен, но преобладают гранитоиды и дайковые породы. Гальки и валуны совершенно не затронуты проплесками каолинизации и покрыты обрывом "рубашкой" гидроокислов железа. Галечники состоят из гальки

(60-75%), гравия (5-10%), крупнозернистого песка (15-20%) и редких валунов. В тяжелой фракции нижне-среднечетвертичных отложений преобладают ильменит, циркон, сфен, реже встречаются рутил, антаз, апатит, шеелит, ортит, золото.

В бассейне рек Бол. и Мал. Ванти эти отложения с размывом залегают на плиоцен-нижнечетвертичных отложениях, а в 5 км западнее (Ломак, 1964) перекрыты средне-верхнечетвертичными глинами.

Л.Л.Казачихиной и И.Б.Маконтовой в описываемых отложениях (р. Мал. Ванта) установлены споры и пыльца бересклета вида *Betula alba*, (*B. pendula*), *Betula penduloides*, *B. exilis*, *B. ovalifolia*, *B. dahurica*, *B. costata*, *B. smarttii* (между реками Джаларма — Зея), условно определяющие их возраст в пределах нижне-среднечетвертичного.

Середине-верхнечетвертичные (?) отложенные (Q1-II?) представлены аллювием II надпойменной террасы рек Зеи, Кулгур, Якодокита высотой от 20 до 60 м. В составе этих отложений наблюдаются пески, галечники, речные глины и суглинки.

На правобережье р. Зеи, напротив устья р. Карчелака, состоят следующий разрез описываемых отложений (сверху вниз):

1. Глины серые с единичными гальками и линзами туфов	3,0 м
2. Суглинки бурые с плохо и хорошо окатанной галькой (15-20%)	0,8 "
3. Пески с гравием и галькой	0,7 "
4. Галечники ржаво-бурые с незначительным (5-15%) количеством песка и гравия	0,5 "

Мощность по разрезу 5 м.

Галька хорошо окатана. Петрографический состав ее характеризуется преобладанием дайковых пород среднего и кислого состава, гранитоидов, реже присутствуют метаморфические породы.

В составе тяжелой фракции средне- и верхнечетвертичных (?) отложений преобладают циркон, сфен, ильменит, рутил, реже отмечаются анатаз, апатит, ортит, гранат и шеелит.

Средне-верхнечетвертичный возраст отложений II террасы определяется на основании сопоставления с подобными отложениями р. Тока (Ломак, 1964), в которых А.И.Мичиной (ДВТУ) обнаружена пыльца *Sagittaria*, *Mugica*, *Ostigma* sp., позволяющая ей условно определить их возраст как средне-верхнечетвертичный.

Верхнечетвертичные отложения об-
разованием.

Морены развиты в северо-восточной высокогорной части рай-
она, в приточных долинах рек Дагармы, Уркачи и правых притоков
р. Бирзаки. Они сложены неотсортированным плохо окатанным валун-
но-галечниковым материалом с примесью трубовернистого песка и

супеси. Размер валунов достигает 2,5 м. По своему составу валу-
ны соответствуют породам, слагающим склоны цирков и трогов.

Морены в районе являются образованием каровых, частично долин-
ных ледниковых. Возраст горно-долинного оледенения для хребтов
(Чемеков, 1961) считается верхнечетвертичным. На сопредельных
с севера и северо-востока территориях в отложениях, аналогичные
описываемым ледниковым, вложена I надпойменная терраса, возраст
которой датируется как конец верхнечетвертичного времени (Гим-
мельфарб, 1963). Видовой состав спорово-пыльцевого комплекса
морен горно-долинных ледников в бассейне р.Лучи характеризует
возраст горно-долинного оледенения как верхнечетвертичный
(Микаилов, 1963).

Верхнечетвертичные аллювиальные отложения слагают I над-
пойменную террасу высотой от 5 до 10 м, широко развитую в дол-
линах всех крупных рек : Зеи, Иракана, Яксдосита, Дагармы и
др. Они представлены галечниками, песками и глиной.

В качестве наиболее типичного приводится разрез I надпой-
менной террасы р.Зеи вблизи метеостанции "Локшак" (сверху вниз):

1. Почвенно-растительный слой	0,15 м
2. Суглинок с мелкой галькой	0,35 "
3. Глина серая с редкой галькой и валунами	0,80 "
4. Глина серая илистая с линзами ржаво- бурых глин и мелкозернистых песков	0,40 "
5. Галечник бурый с крупнозернистым песком и гравием	0,50 "
6. Пески с редкой галькой	0,60 "
7. Валунники, галечники с гравием и песком	0,60 "

Мощность по разрезу 3,65 м.

В тяжелой фракции отложений I надпойменной террасы при-
сутствует ильменит, сфен, циркон, рутил, реже орбит, анатаз,
шебелит.

Максимальная видимая мощность верхнечетвертичного аллю-
вия (5-6 м) наблюдается по р.Онони в ее нижнем течении.

В отложениях I надпойменной террасы рек Зеи и Онони
Л.Л.Казачихиной и М.В.Зина установлены пильца *Corylus sp.*,
Quercus sp., *Ulmus sp.*, *Corylus*, что позволяет воз-
раст этих образований считать условно верхнечетвертичным.

Современные отложения (Q_{тг})
представлены аллювиальными и аллювиальными образова-
ниями.

Аллювиально-делювиальные образования почти сплошным чех-
ом покрывают склоны и водораздельные пространства. Мощность
их колеблется от 0,2 до 3,5 м.

Аллювиальные образования русел, пойм рек и ручьев пред-
ставлены валунниками, галечниками, песками, реже илами, супесью,
суплинком и торфянником. В верховьях рек валуны и галька плохо
окатаны, имеют крупные размеры. В нижнем течении рек аллювий
слагает острова, отмели и пойменные террасы высотой от 1 до
5 м. Состав галек и валунов разнообразный, но преобладает мест-
ный материал. Видимая мощность современного аллювия крупных
рек около 6 м. Формирование современных отложений продолжается
в настоящее время.

ИНТРУЗИВНЫЕ ОБРАЗОВАНИЯ

Интрузивные образования занимают почти половину описываемой
территории. По времени образования выделяются ранне-протеро-
зойские, раннемеловые (?) и позднемеловые интрузии.

РАННЕПРОТЕРОЗОЙСКИЕ ИНТРУЗИИ

Среди раннепротерозойских интрузий в возрастной последова-
тельности выделяются: 1) габбро, габбро-амфиболиты и пироксе-
ниты; 2) плагиограниты, граниты биотитовые, реже роговообман-
ко-биотитовые гнейсовые; 3) кварцевые диориты, диориты
гнейсогнейсовые; 4) граниты, плагиограниты биотитовые, двуслюдя-
ные.

Габброр-габбров-амфиболиты ($\wedge P_{t_1}$)
и пироксениты (δP_{t_1}) слагают в южной части
района многочисленные мелкие согласные тела площадью до 3 км².

Контакты этих тел с **вмещающими** их породами нижнего протерозоя, как правило, четкие, лишь при наложении на них процессов магматизации и гранитизации наблюдаются расплывчатые контакты. Иногда габброиды в эндоконтактовой части тел рассланцованны и превращены в роговообманковые слани. Чаще всего рассматриваемые тела сложены габбро-амфиболитами, реже габбро и пироксенитами. Последние обычно слагают небольшие участки внутри тел габброндов и лишь в среднем течении р. Кулуги пироксениты образуют самостоятельное тело площадью 1,5 км². Взаимоотношения между габбро и пироксенитами не установлены. Предполагается, что они являются фациальной разновидностью габброндовых интрузивов.

Помимо описанных тел, основные и ультраосновные породы слагают многочисленные **межпластовые**, иногда секущие тела мощностью до 20–50 м в составе метаморфических образований нижнего протерозоя. Но из-за небольших размеров такие тела не показаны на карте. Габброиды, как и вмещающие их породы, метаморфизованы, мигматизированы и прорваны раннепротерозойскими гранитами.

Габбро-амфиболиты – темно-зеленовато-серые, среднезернистые породы с грубогнейсовой текстурой. Они состоят из соссиритизированного плагиоклаза № 40–43 (50–55%), зеленой роговой обманки (20–25%), содержащей многочисленные пойкилобласты кварца и 1–тигты моноклинного пироксена (10–15%). Аксессорные минералы пр. "авлены сферолитами, магнетитом, апатитом и цирконом. Структура габбро-амфиболитов блестогаббровая, гломеробластовая, участками симбиотичная.

Габбро амфиболизированы, состоят из моноклинного пироксена (15–20%), плагиоклаза № 50–58 (50–60%), вторичной сине-зеленой роговой обманки, развивающейся по пироксену (15–20%) и магнетита (3–8%). Структура пород габбровая.

Пироксениты имеют темно-серый, в серпентинизированных разностях темно-зеленовато-серый, почти черный цвет и характеризуются панидиоморфно-зарнистой структурой. Они сложены бронзитом ($\sigma_{\text{NB}} = 0^{\circ}$; $2V = \text{от } -78 \text{ до } -95^{\circ}$) и рудным минералом (5–6%). Из вторичных минералов в пироксенитах широко развиты серпентин, карбонат, актинолитовая роговая обманка и хлорит. Нередко встречаются ахимономинеральные амфиболиты, являющиеся, по-видимому, метаморфизованными ультраосновными породами. Они состоят из зеленой роговой обманки (85–90%), плагиоклаза (2–3%), реликтов моноклинного пироксена (0–8%), магнетита, сферолитов и апатита.

Раннепротерозойский возраст основных и ультраосновных пород определяется тем, что они интрузируют нижнепротерозойские гнейсы и кварциты (окрестности горы Уннакан, реки Зея, Купури), прорваны, в свою очередь, раннепротерозойскими гранитоидами дреинестанового комплекса и встречаются среди них в виде ксенолитов. С ультраосновными породами в районе связаны незначительные проявления хризотил-асбеста и ореол рассеяния никеля в бассейне руч. Курытлынка.

Платиограниты, граниты биотит-т о вь е , р е ж е р о т о в о о б м а н к о в о – б и о – т и т о в и е т н е и с о з и д и н ы (древнестановой комплекс, 12 Рт.) широко распространены в южной половине территории листа, где они слагают неправильные в плане мелкие (до 20 км²) и более крупные (до 100 км²) конкордантные массивы, вытянутые согласно простиранию вмещающих их гнейсовых толщ нижнего протерозоя. Небольшие (до 5 км²) согласные тела этих гранитоидов развиты также в северной части района, в бассейнах рек Итымы, Тамылтина. Кроме того, многочисленные пластовые, реже секущие тела этих гранитоидов (мощностью до 20 м) насыщают метаморфические породы Ильянской серии. Ими же сложен щильный материал мигматитов в нижнепротерозойских породах.

Массивы гранитов окружены широкими (до 2–3 км) ореолами мигматитов и гранитизированных пород, вследствие чего они постепенно переходят в вмещающие породы. Все массивы их характеризуются неоднородным внутренним строением, обусловленным наличием реликтовых остатков (скиапитов) мигматизированных и гранитизированных вмещающих пород. Почти повсеместно проявлена гнейсогнейсость, обусловленная ориентированным расположением темно-цветных минералов и линзовидных выделений кварца. Она параллельна гнейсогнейсости и полосчатости вмещающих пород или их скиапитов внутри массивов. В центральных частях крупных массивов гнейсогнейсость выражена слабее, чем в краевых частях и в мелких телах.

Массивы сложены платигранитами и гранитами, внешне не отличающимися друг от друга. Это светло-серые, розовато-серые среднезернистые породы гнейсогнейсового сложения. Наиболее распространены биотитовые платиграниты. Они состоят из плагиоклаза № 17–27 (60–70%), кварца (20–30%), калиевого полевого шпата (2–10%) и биотита (1–5%). Для гранитов характерен следующий минеральный состав: плагиоклаз № 20–27 (30–50%), калиевый полевой шпат (25–45%), кварц (20–30%), биотит (1–5%). В эндокон-

таковых частях массивов, залегающих среди существенно рогово-обманковых гнейсов и сланцев дигиталиской и уржумской синт., появляются роговообманково-биотитовые разности плагиогранитов и гранитов, постепенно переходящие в кварцевые диориты. Количества роговой обманки в гранитах не превышает 2-3%. На контакте с мраморами в гранитах появляется диопсид, а среди высоко-глиноzemистых пород они обогащаются мусковитом, биотитом, гранатом. Аксессорные минералы в плагиогранитах и гранитах представлены апатитом, орбитом, сфеном, магнетитом, реже цирконом и гранатом. Из вторичных минералов встречаются эпилит, хлорит, реже мусковит по биотиту. Структура плагиогранитов и гранитов гранобластовая, иногда аллотриоморфноизвестная.

Вдоль древних зон нарушения описываемые гранитоиды интенсивно рассланцованны и подвержены микроклинизации, выражаемой в образовании порфиробласт калиевого полевого шпата размером 3-4 см в равномерном замещении микроклином основной ткани породы. Нередко при этом породы приобретают массивный, пегматоидный облик, реже образуются своеобразные породы (орбикуллярные граниты) с шаровой текстурой, состоящие на 80% из овойдов диаметром 6-7 см, "спементированных" микроклиновым гранитом. Овойды сложены радиально ориентированными кварц-полевошпатовым агрегатом, разделенным концентрическими полосками, обогащенными биотитом (р.Зея). Сходные породы встречены также по р.Унику, где концентрические полоски в овойдах сложены диопсидом.

Химические анализы описываемых гранитоидов (табл. I, образцы 550, 2198) позволяют отнести их к группе пород, пересыщенных кремнеземом, глиноzemом и умеренно богатых щелочами. Для них характерно резкое преобладание натрия над калием, что хорошо согласуется с минералогическим составом описываемых гранитоидов (плагиоклаз преобладает над калиевым полевым шпатом).

Тензис рассматриваемых гранитоидов большинством исследователей считается палингенно-метасоматическим (Дзевановский и Судовиков, 1960; Мощкин, 1961). Тесная структурная связь описываемых гранитоидов с вмещающими породами, наличие вокруг них широких ореолов метасилизации, присутствие внутри массивов согласных складок вмещающих пород, гранобластические структуры пород, отсутствие зональных плагиоклазов и лампрофиров свидетельствуют о формировании рассматриваемых гранитоидов в главный этап раннепротерозойской складчатости, в связи с процессами ультратрансформизма. В образовании мелких тел существенное значение играли, по-видимому, процессы гранитизации

таковых частях массивов, залегающих среди существенно рогово-обманковых гнейсов и сланцев дигиталиской и уржумской синт., появляются роговообманково-биотитовые разности плагиогранитов и гранитов, постепенно переходящие в кварцевые диориты. Количества роговой обманки в гранитах не превышает 2-3%. На контакте с мраморами в гранитах появляется диопсид, а среди высокоглиноzemистых пород они обогащаются мусковитом, биотитом, гранатом. Аксессорные минералы в плагиогранитах и гранитах представлены апатитом, орбитом, сфеом, магнетитом, реже цирконом и гранатом. Из вторичных минералов встречаются эпилит, хлорит, реже мусковит по биотиту. Структура плагиогранитов и гранитов гранобластовая, иногда аллотриоморфноизвестная.

Вдоль древних зон нарушения описываемые гранитоиды интенсивно рассланцованны и подвержены микроклинизации, выражаемой в образовании порфиробласт калиевого полевого шпата размером 3-4 см в равномерном замещении микроклином основной ткани породы. Нередко при этом породы приобретают массивный, пегматоидный облик, реже образуются своеобразные породы (орбикуллярные граниты) с шаровой текстурой, состоящие на 80% из овойдов диаметром 6-7 см, "спементированных" микроклиновым гранитом. Овойды сложены радиально ориентированными кварц-полевошпатовым агрегатом, разделенным концентрическими полосками, обогащенными биотитом (р.Зея). Сходные породы встречены также по р.Унику, где концентрические полоски в овойдах сложены диопсидом.

Химические анализы описываемых гранитоидов (табл. I, образцы 550, 2198) позволяют отнести их к группе пород, пересыщенных кремнеземом, глиноzemом и умеренно богатых щелочами. Для них характерно резкое преобладание натрия над калием, что хорошо согласуется с минералогическим составом описываемых гранитоидов (плагиоклаз преобладает над калиевым полевым шпатом).

Тензис рассматриваемых гранитоидов большинством исследователей считается палингенно-метасоматическим (Дзевановский и Судовиков, 1960; Мощкин, 1961). Тесная структурная связь описываемых гранитоидов с вмещающими породами, наличие вокруг них широких ореолов метасилизации, присутствие внутри массивов согласных складок вмещающих пород, гранобластические структуры пород, отсутствие зональных плагиоклазов и лампрофиров свидетельствуют о формировании рассматриваемых гранитоидов в главный этап раннепротерозойской складчатости, в связи с процессами ультратрансформизма. В образовании мелких тел существенное значение играли, по-видимому, процессы гранитизации

тектонического комплекса при неизначительной роли процессов палингенаеза. Крупные же тела образовались, вероятно, путем пристализации из палингенных метаморфических расплавов.

Нижняя возрастная граница гранитоидов на территории листа устанавливается по прорыванию ими и митматизации нижнепротерозойских гнейсов илмиканская серия (реки Якодокит, Купури, Итыди) и раннепротерозойских габроидов (реки Зея, Онон), а верхняя — прорыванием их двуслюдяными гранитами раннепротерозойского (?) возраста (реки Карчалак, Кулури). Абсолютный возраст аналогичных гранитоидов в западной и центральной части Станового хребта (по свинцу) равен 1860 ± 50 млн. лет (Гугаринов, Войтекевич, 1966).

С рассматриваемыми гранитоидами связаны пегматитовые жильи и поля пегматитов. Согласные жилы пегматитов широко распространены как в пределах массивов гранитоидов, так и во вмещающих породах. В последних они контролируются интенсивностью проявления процессов ультратрансформизма. Мощность пегматитовых жил варьирует от 1 см до 20-50 м, протяженность составляет несколько десятков метров, реже достигает 600 м (р.Джагарма). Пегматиты — светло-серые крупнозернистые массивные или полосчатые породы, состоящие из плагиоклаза № 25-35 (до 60%), кварца (до 45%), биотита (нередко мусковитизированного) и роговика (до 3%). Иногда они содержат калиевый полевой шпат (15-40%). Аксессорные минералы представлены цирконом, орбитом, апатитом, монацитом, сфеом, гранатом, торитом.

Наиболее распространением пользуются полосчатые и теневые митматиты; в амфиболитах иногда встречаются ветвистые митматиты. Жильный материал имеет гранитоидный состав и характеризуется гранобластовой структурой. Годство его следующий (%): олигоклаз 50; кварц 30-35, микроклин 5-10, биотит до 5. Границы жильного материала с субстратом расплывчатые. Теневые митматиты отличаются от гранитов древнестанового комплекса либо лишь несколько повышенным содержанием биотита или роговой обманки, либо неравномерным распределением последних в породе. По составу они соответствуют гранодиоритам и кварцевым диоритам.

Металлогеническое значение древнестановых гранитоидов не совсем ясно. С ними на территории листа установлено проявление редкоземельной минерализации в митматитах и пегматитах. Пегматитовые жилы, связанные с этапом формирования этих гранитоидов, недостаточно (Сосчин и др., 1966 ф.). В центральной части Станово-

Химический состав раннепротерозойских интрузивных пород

Таблица I

№ образца	Содержание компонентов, %													Сумма	
	SiO ₂	TiO ₂	Al ₂ O ₃	Fe ₂ O ₃	FeO	MnO	CaO	MgO	Na ₂ O	K ₂ O	P ₂ O ₅	SO ₃	H ₂ O	CO ₂	
550	71,43	0,25	15,63	0,21	1,20	0,03	3,12	0,66	5,47	1,26	0,04	-	0,47	-	100,37
2I98	69,18	0,43	15,92	0,49	1,67	0,04	3,16	0,93	4,88	2,61	0,13	0,03	0,43	-	100,89
57а	58,27	0,82	17,86	1,95	4,57	0,10	6,60	2,88	4,97	1,28	0,42	0,03	0,44	-	100,19
43в	58,41	1,09	16,19	2,28	5,03	0,10	6,31	3,52	4,25	2,35	0,33	0,02	0,49	-	100,37
Ша	56,87	0,96	16,07	3,18	5,60	0,15	6,35	3,84	4,15	1,42	0,24	0,05	1,00	0,46	100,36
I8	74,II	0,05	13,80	0,64	0,44	0,02	1,85	0,28	4,62	3,92	0,01	0,01	0,42	0,53	100,70
I204	74,43	0,07	14,04	0,46	0,35	0,04	1,24	0,28	4,91	3,74	0,08	0,00	0,42	0,51	100,52
I8496	73,80	0,08	14,30	0,24	0,46	0,02	1,30	0,17	4,76	3,86	0,02	0,01	0,40	0,54	99,91
I249	72,57	0,06	15,19	-	1,20	0,02	1,49	0,59	5,68	3,45	-	-	-	-	100,25

Числовые характеристики по А.Н.Заварницкому

Номер образца	a	c	в	s	a/c	с°	m'	f	q	n	t	φ
550	13,8	3,4	2,6	80,2	4,0	10	41	49	29,4	86,8	0,2	5,1
2I98	14,5	3,3	4,0	78,2	4,4	11,9	39,0	49,I	24,I	73,8	0,4	10,2
57а	13,0	5,7	13,5	67,8	2,3	18,4	26,2	45,4	3,9	85,I	1,0	12,2
43в	12,5	4,6	15,7	67,2	2,8	19,5	37,6	42,9	4,8	73,9	1,4	12,4
Ша	11,8	5,4	18,3	64,5	2,2	15,0	37,5	47,5	0,0	81,7	1,3	15,8
I8	15,2	1,3	2,3	81,2	11,9	30,I	20,3	40,6	30,7	64,5	0,0	23,2
I204	15,6	1,2	1,4	81,8	12,8	16,2	32,6	51,0	31,2	66,24	0,8	27,9
I8496	15,6	1,5	1,0	81,9	10,2	0,00	33,3	66,7	31,I	65,4	0,0	20,0
I249	17,0	1,3	2,6	79,I	13,I	18,0	38,5	43,5	37,9	71,9	0,0	0,0

Обр.550 - плагиогранит (τ_2 Pt₁), р.Купури; обр.2I98 - гранит (τ_2 Pt₁), р.Итымди; обр. 57а - кварцевый диорит (δ Pt₁), р.Зея, вблизи устья р.Джагармы; обр.43в - кварцевый диорит (δ Pt₁), р.Зея, вблизи устья р.Джагармы; обр.Ша - кварцевый диорит (δ Pt₁), р.Зея, вблизи устья р.Джагармы; обр.I8-двуслюдянй гранит (τ_3 Pt₁), р.Зея, вблизи устья р.Карчелака; обр.I204 - двуслюдянй гранит (τ_3 Pt₁), р.Зея, вблизи устья р.Купури; обр.I8496 - двуслюдянй гранит (τ_3 Pt₁), р.Зея, вблизи устья р.Купури; обр. I249 - двуслюдянй гранит (τ_3 Pt₁?), р.Джагарма. Химические анализы выполнены в химической лаборатории ДВГУ (зав.лабораторией А.И.Божко).

вого хребта с раннепротерозойскими гранитоидами древнестаново-го комплекса связывают также золотое орудение в диафторитах (Коржинский, 1939).

Кварцевые диориты и диориты гнейсовых (δ Pt₁) слагают крупный Кутуринский массив площадью более 350 км² в междуречье Зеи, Униха и Кутури и мелкие (до 5 км²) тела близи устья рек Джагары и Инагли. Рассматриваемые интрузии, по-видимому, приурочены к Унин-Кутуринскому разлому. Все тела их в плане имеют неправильную форму и вытянуты в северо-западном, субширотном направлении, согласно с генеральным пространением гнейсовых тел нижнего претерозоя. Вмещающие породы для них являются блотит-роговообманковые гнейсы и кристаллические сланцы Уромской свиты. По В.А.Дыренко (1962Ф, 1963Ф), в эзоконтакте интрузий диоритов вмещающие породы митматизированы многочисленными их согласными и секущими апофизами. Ореол митматизации вокруг массивов не превышает первых сотен метров. Мощность апофиза диоритов достигает 10 м. Контакты интрузии кварцевых диоритов и диоритов с вмещающими породами чаще всего согласные и перекиси, что объясняется близостью их состава, сходством внешнего облика и митматизацией вмещающих пород кварцевыми диоритами и диоритами. Между вмещающими породами и кварцевыми диоритами наблюдались также и четкие эруптивные контакты с апофизами в сторону вмещающих пород (р.Зея выше устья р.Джагары). В эзоконтактовых частях описываемых массивов встречаются ксенолиты вмещающих пород, инъецированные постоянными жилами кварцевых диоритов и диоритов, и таким образом проявляется способность кварцевых диоритов и диоритов к гибридизму и ассимиляции вмещающих пород. Кроме того, при прорывании ими гранатодержащих сланцев и гнейсов Уромской свиты в них появляется вкрапленность граната (р.Зея).

Гнейсовые породы наиболее четко выражены в мелких телях и краевой части Кутуринского массива. Она нередко ориентирована несогласно к контурам массива. К центральным частям массива гнейсость ослабевает и породы становятся массивными. В краевой части Кутуринского массива иногда наблюдаются порфировидные разности, обусловленные наличием крупных выделений полевого шпата. В основном же массивы сложены кварцевыми диоритами, реже встречаются кварцодержащие и нормальные диориты. Эти разности пород связаны между собой постепенными переходами и не обнаруживают я распределении в массивах какой-либо закономерности.

Кварцевые и кварцодержащие диориты — зеленовато-серые средне-крупнозернистые породы со слабо гнейсовой или массивной текстурой. Кварцевые диориты сложены плагиоклазом № 25-30 (40-65%), роговой обманкой ($\text{снг} = 15-23$; $2V = -(83-87)^\circ$ от 7 до 25%), биотитом (5-15%), кварцем (10-20%), калиевым полевым шпатом (0-5%). В кварцодержащих диоритах и диоритах содержание кварца составляет 3-10%, а количество темноцветных минералов достигает 35-40%. В кварцевых диоритах центральной части Кутуринского массива встречается моноклинный лироксен (до 2-3%). Гранат, апатит, магнетит, сфеен, ортит, рутил являются акцессорными минералами. Иногда содержание граната достигает 5-10%. Вторичные изменения в описываемых породах (вдоль зон диафтореза, расслащевания, катаклаза) выражаются в образовании апタイトа (до 10%), скаполита (до 20%).

Структура кварцевых, кварцодержащих диоритов и диоритов гранобластовая, реже гетеробластовая, в неизмененных разностях типидиоморфнозернистая, аллитриоморфнозернистая.

Химический состав кварцевых диоритов приведен в табл. I (образцы 57а, 43в, Ша).

Конкордантный тип интрузий кварцевых диоритов и диоритов, приуроченность этих интрузий к тектоническим нарушениям, неизначительная в объеме митматизация и ассимиляция вмещающих пород, структуры магматической кристаллизации в неизмененных разностях кварцевых диоритов следствуют о глубинных условиях их формирования, по-видимому, позже главного этапа нижнепротерозойской складчатости.

Кварцевые диориты и диориты на территории листа прорывают нижнепротерозойские митматизированные породы иликанской серии и не подвержены митматизации, связанной с древнестановыми гранитами. В верхьях р.Тока кварцевые диориты прорывают древнестановые граниты (Сушкин, 1952 Ф; Казмин, 1963), а на территории листа № 52-ХII они прорываются раннепротерозойскими (?) дунитоидными гранитами (Карсаков и др., 1966 Ф). В бассейне р.Унхи аналогичные кварцевые диориты и диориты имеют абсолютный возраст в 925 млн. лет (Янчичев и др., 1966 Ф).

Исходя из вышеизложенного, возраст рассматриваемых интрузий кварцевых диоритов принят условно раннепротерозойским.

Кильной серией кварцевых диоритов являются немногочисленные пегматиты, распространенные в эзод- и эзоконтактовых частях массивов. Мощность пегматитовых жил от первых сантиметров до 5-8 м, протяженность несколько десятков метров. Пегматиты —

розовато-серые крупнозернистые массивные породы, состоящие из кварца (15%), полевых шпатов (75%), биотита (5%) и редко роговой обманки (3-5%). С кварцевыми диоритами и диоритами в районе связаны незначительная редкоzemельная минерализация (ортит).

Граниты, платиграниты биотитовые, дуниты и гнейсы в Ильине (13 Рт₁?). В восточной части Станового хребта впервые выделены Л.П. Карсаковым в 1963 г. Они слагают Таксакандинский массив площадью более 300 км² в южной части территории (реки Онони, Якодокит, Зея, Купури) и ряд мелких (до 15 км²) тел в меандре Кильянджака и Купури и в первоъяях р.Джалгари.

Таксакандинский массив вытянут в субширотном направлении от среднего течения р.Купури до западной границы территории листа и далее прослеживается за ее пределами лист № 52-Х), где слагающие массив двуслюдяные граниты отнесены условно к древнестановым гранитоидам (Ломак, 1964). Контуры массива в большей части согласны со складчатыми структурами нижнего протерозоя. Иногда контуры массива оканчиваются складчатые структуры (Устье р.Купури, р.Кильянджак). В целом Таксакандинский массив, по-видимому, является конкордантным с местными сенуцидами отчетвленными. Описываемый массив двуслюдяных гранитов приурочен к древней Таксакандинской зоне разломов и диафрагмы субширотного простирания. В эпигонконтакте массива вымещающие породы не митализированы и не гранитизированы. Лишь иногда здесь наблюдаются сектущие и соглаенные маломощные (до 10 м) жилы с реакими контактами. В эндоконтакте массив сложен мелко- и среднезернистыми, четко гнейсоподобными биотитовыми, реже двуслюдяными гранитами, которые по направлению к центру массива постепенно сменяются слабо гнейсоподобными или массивными среднезернистыми двуслюдяными и мусковитовыми гранитами. Встречающиеся в эндоконтакте массивы ксенолиты вымещающих пород не митализированы, имеют четкие резкие контуры. В мелких телях гранитов гнейсово-бийность пород проявлены четко по всей площади.

Таксакандинский массив и мелкие тела сложены преимущественно гранитами, реже плагигранитами, внешне не отличимы друг от друга. Это светло-серые, розовато-серые мелко-среднезернистые породы с гнейсоподобной, реже массивной текстурой. По составу выделяются биотитовые, двуслюдяные и мусковитовые разности. Биотитовыми гранитами сложены мелкие тела и краевые части Таксакандинского массива. Двуслюдяные и мусковитовые разности гранитов встречаются в центральной части Таксакандинского

massiva и реже в мелких телах. Преобладающее распространение имеет двуслюдяные граниты. Граниты и плагиграниты обладают типично-зональной структурой. Граниты сложены плагиоклазом № 19-23 (20-25%), калиевым полевым шпатом (35-50%), кварцем (30-35%), биотитом (0-5%), мусковитом (0-5%). Плагиграниты отличаются от гранитов меньшим содержанием калиевого полевого шата (8-10%) и повышенным содержанием плагиоклаза (60-70%). Плагиоклаз образует идиоморфные, поликристаллические свойникованные таблицы с прямой зональностью (обычно 2-3 зоны). Калиевый полевой шпат представлен грубо решетчатым криптолитеитовым микроклином. Ксеноморфные зерна кварца имеют облачное или волнистое погасание. Зеленогратобурый биотит замещается мусковитом, хлорит-эпидотовым агрегатом. Мусковит присутствует в виде двух генераций: крупные чешуйки и пластинки с правильными ограничениями, часто с волнистым погасанием и яичком спайности (первая генерация) и мелкие чешуйки или их агрегаты, развивающиеся по полевым шпатам, биотиту или в виде баухромы по краям купных пластин первичного мусковита. В образовании вторичного мусковита большую роль играли, по-видимому, процессы автометасоматоза и наложенного метаморфизма. Из акцессорных минералов в гранитах и плагигранитах присутствует монацит (очень характерно), циркон, апатит, содалит, гранат и рудный.

Химический состав двуслюдяных гранитов приведен в табл. I (образцы 18, 1204, 1849).

Приуроченность интрузии двуслюдяных гранитов к тектоническим зонам и зонам диафрагмы, общий конкордантный их характер, отсутствие полей митализации и гранитизации вокруг их массивов, типичные структурымагматической кристаллизации, наличие зональных плагиоклазов свидетельствуют о трещинном характере интрузии, сформировавшейся в глубинных условиях позже главного этапа раннепротерозойской складчатости.

Нижняя возрастная граница двуслюдяных гранитов на площади листа определяется прорыванием ими гранитоидов древнестанового комплекса (реки Зея, Купури). На территории листа № 52-ХII двуслюдяные граниты рути раннепротерозойские (?) кварцевые диориты и диориты (Карсаков и др., 1966). Верхняя же их граница устанавливается по прорыванию их раннемеловыми (?) гранодиоритами. Абсолютный возраст мусковитовых пегматитов, генетически связанных с двуслюдяными гранитами равен 286 млн. лет (Т.К.Ко-валичук, лаборатория ДВГУ). На территории листа № 51-ХIII

аналогичные граниты имеют абсолютный возраст 621 и 707 млн. лет (Парняков, 1964). К приведенным цифрам абсолютного возраста следует отнести с осторожностью, так как при неоднократных проявках в период поздних тектоно-магматических процессов часть аргона утрачивалась и результаты определения абсолютного возраста, вероятно, занижены. Возраст двуслюдянных гранитов принят условно ранне-протерозойским.

Приуроченность двуслюдянных гранитов к древним зонам текtonических нарушений и диафтореза, становление их после главных этапов складчатости иультирастворима позволяет предполагать, что эти интрузии образуют пояса — или посторогенный интрузионный комплекс (таксакандинский), в настоящее время относимый условно к раннему протерозою. Не исключен также более молодой возраст этого комплекса.

С двуслюдянными гранитами генетически связаны жилы аplitов и мусковитовых пегматитов. АPLITЫ образуют маломощные (до 15 см) жилы с четкими резами контактами в пределах массивов двуслюдянных гранитов. Это светло-серые, мелкозернистые, массивные породы, состоящие из калиевого полевого шпата (40—45%), пла-тиоклаза (30%), кварца (25—30%) и единичных щепул биотита.

Мусковитовые пегматиты показаны на карте полезных ископаемых в виде полей. Пегматитовые жилы приурочены к эндогенным зонам, контролируемым размещение массивов двуслюдянных гранитов. Мощность жил пегматитов колеблется от 5 см до 20 м, протяженность достигает 150 м. Контакты четкие, секущие реже согласные. Это светло-серые, крупнозернистые породы с патинисто-сегрегационной, алографической и блоковой структурой. Они сложены мусковитом, плагиоклазом и кварцем (подробно описаны в главе "Полезные ископаемые"). Рассматриваемые слюдяно-жильные пегматиты олигоклазовыи составом полевых шпатов, малым содержанием глиноэзма и наличием структур замещения резко отличаются от неслюдяно-жильных пегматитов, связанных с древнестатими и диоритами (Сосин, 1966 ф). Кроме мусковита, с двуслюдяными гранитами связаны ореолы рассеяния монацита, синклина.

РАННЕМЕЛОВЫЕ ИНТРУЗИИ

Раннемеловыми интрузиями сложено около 50% территории листа. Среди них в возрастной последовательности выделяются:

1) габбро, габбро-диориты, диориты, граниты биотитовые, биотит-роговообманковые, кварцевые, диориты; 3) кварцевые диориты пироксен-содержащие; 4) граниты лейкократовые биотитовые.

Г а б б р о , г а б б р о - д и о р и т ы ($\sim \delta$ Ср) являются наиболее ранней фазой раннемеловых интрузий. Они образуют немногочисленные мелкие тела площадью до 2 км^2 в приусадебной части р. Джагармы, на левобережье р. Зеи (вблизи р. Итымди) на левобережье р. Макдаски и на водоразделе рек Этмата и Джагармы. Тела рассматриваемых габброролов нередко пространственно приурочены к краевым частям массивов раннемеловых (?) гранодиоритов. Контакты между телами габброролов и вмещающими их метаморфическими породами нижнего протерозоя резкие, крутое (70°), с многочисленными согласными и секущими апофизами во вмещающие породы (р. Зея). Среди габброролов по петрографическому составу выделяются биотит-роговообманковые и роговообманковые габбро, габбро-диориты и диориты, имеющие между собой постепенные переходы. Габбро-диориты, диориты тяготеют к краевым частям тел габброролов.

Габбро — темно-серые крупнозернистые породы массивного сложения, состоящие из сососиритизированного плагиоклаза № 41—58 (38—44%), роговой обманки (53—69%). Иногда присутствуют реликты моноклинного пироксена. Габбро-диориты и диориты отличаются от габбро более светлой окраской, неравномернозернистым сложением и увеличением количества плагиоклаза (№ 23—44) до 60—70% с соответствующим уменьшением роговой обманки до 10—23% и появлением биотита (5%). Кварц (2%). Аксессорные минералы представлены сфееном, ортитом, апタイトом, гранатом. Структура пород габбровая и призматическая-зернистая (в габбро-диоритах, диоритах). Химический анализ габбро приведен в табл. 2 (обр. 25). Из анализа видно, что описываемые породы соответствуют одному из наиболее основных типов габбро по Дэли.

Габбророллы прорывают раннемеловыми (?) гранодиоритами (р. Зея) и встречаются среди них в виде ксенолитов. В бассейне р. Чаллярина (Альбов, Можкин, 1959) аналогичные породы прорывают Верхнегорско-Читинемеловую вулканогенную толщу и сами разрушают раннемеловыми (?) гранодиоритами.

Г р а н о д i o r i t y • г r a n i t y b i o t i t i - т о в ы e , б i o t i t - r o g o v o o b m a n k o v y e ($\gamma \delta_1$ Ср ?), к в a r c e v y e d i o r i t y (δ_0 Ср ?) слагают юго-восточные окончания Джалганды-Зеиского (840 км^2)

и Этматинского (320 км^2) массивов. При массива описываемых гранодиоритов закартированы в бассейнах рек Бол. и Мал. Банги (30 км^2), в нижнем течении р. Онни (80 км^2) и вблизи устья р. Кутури (42 км^2). Ряд мелких (до 15 км^2) массивов зафиксированы в междууречье Унина и Купури, вблизи устья рек Итанди и Макдаски.

Интузии раннемеловых (?) гранодиоритов прорывают метаморфические и интрузивные образования архея, нижнего протерозоя и раннепалеовых таблонитов (р. Зея, вблизи устья р. Джалагри). Контактовые изменения во вмещающих породах выражены слабо в виде окварцевания, скарнирования. По условиям залегания и форме массивы раннемеловых (?) гранодиоритов представляют собой, по-видимому, типабиссальные трелинны интрузии.

Джитанди-Зеинский массив с севера и юга на значительном протяжении имеет тектонические контакты и замкнутывается в виде двух узких гел., разделенных тектоническим клином нижнепротерозойских пород. Общая удлиненность массива примерно параллельна простиранию нижнепротерозойских толщ. Крупный северный контакт подтверждается большим горизонтальным трансиглом изменения АТ (р. Итанди). В эзоконтакте массива вмещающие породы рассланцованны на расстояние до 5000–6000 м от контакта (верховья р. Итанди, р. Зея) и имеют вторичную кругопадающую сланцеватость, не совпадающую с полосчатостью в гнейсах. В эзоконтактовой части массива отмечается неширокая (100–200 м) полоса кварцевых диоритов, постепенно переходящих далее к центру в гранодиориты. Плоскости развития гранитов незначительные, и поэтому на геологической карте не показаны. На правобережье р. Бол. Иракана отмечаются переходы кварцевых диоритов в напрямление к вмещающим породам в гибридные породы тектонового сложения с многочисленными включениями вмещающих пород. Для Джитанди-Зеинского массива характерны пологопадающие, субгоризонтальные и кругопадающие трещины отдельности северо-восточного, близкого к меридиональному, направления, то есть поперечные относительно уединения массива. Другие направления трещиноватости, в том числе параллельно удлинению, развиты слабо. К субгоризонтальным трещинам приурочены жилы аplitов, к кругопадающим — даики кислого и среднего состава.

В верховьях р. Джалагри расположена юго-восточная апофиза (Этматинский массив) крупного массива, основная часть которого расположается на территории листа № 52-У. Этот массив сложен гранодиоритами и кварцевыми диоритами, имеющими

заметную гнейсоморфность в своих краевых частях. В.А.Дыренко (1963 ф) в верховьях р. Бол. Джалагри отмечает прорывание кварцевых диоритов гранодиоритами. По наблюдениям же Б.А.Микаиловым (1963) в береговых обрывах рек Зея, Оконона гранодиориты и кварцевые диориты связаны между собой постепенными переходами. Считая, что взаимоотношения между кварцевыми диоритами и гранодиоритами в Этматинском массиве окончательно не установлены, мы, вслед за Б.А.Микаиловым (1963), кварцевые диориты на карте показали условно как фации гранодиоритов.

Южная группа тел гранодиоритов, по-видимому, представляет восточное продолжение Среднеиракансского массива (Ложак, 1964), полностью не вскрытого зеросией. Они отделены друг от друга неширокой (1,5 км) полосой нижнепротерозойских гнейсов. Все три тела сложены преимущественно кварцевыми диоритами, реже гранодиоритами. Последние обнаруживаются в центральных частях среднего и восточного массивов. Переход кварцевых диоритов в гранодиориты постепенный.

Гранодиориты — среднезернистые, иногда слабо порфировидные породы серого, розово-серого цвета. Они состоят из зонального андезина № 34-41 (36–58%), калиевого полевого шпата (22–37%), кварца (20–25%), присматической роговой обманки (3–6%) и псевлогексагональных кристаллов биотита (2–7%). Из акцессорных минералов присутствуют макроскопически видимые кристаллы килиновидного сфена, циркон, реже рутил, шеелит, ортит, магнетит, апатит, из вторичных — серцит, хлорит, эпидот, пелитовое вещество. Структура гранодиоритов гипидиоморфозернистая. Для гранодиоритов характерно преобладание плагиоклаза над калиевым полевым шпатом. В гранитах плагиоклаз и калиевый полевой шпат присутствуют в разных количествах. Состав гранитов следующий: кварц (25–40%), калиевый полевой шпат (25–40%), плагиоклаз № 26–28 (25–40%), биотит (3–5%), роговая обманка (0–2%). Структура гранитов гипидиоморфозернистая, участками монцонитовая. Кварцевые диориты отличаются от гранодиоритов более темной окраской, постоянным преобладанием роговой обманки (8–15%) над биотитом (2–7%), меньшим содержанием кварца (10–20%) и калиевого полевого шпата (0–7%). Химический состав описываемых пород (табл. 2, образцы 66а, 41, 33, 651) варьирует от щелочно-земельного гранича до гранодиорита, с широким развитием промежуточных разностей типа аламелита.

Интузии гранодиоритов широко развиты на Сланцовом хребте. Возраст их точно нигде не установлен. На территории листа

они не оказывают контактовых воздействий на вулканические образования нижнего мела. По-видимому, последние перекрывают гранодиориты. Абсолютный возраст гранодиоритов равен 107-114 млн. лет. Ю.А.Альбов и В.Н.Москин (1959) считают гранодиориты докембриевыми на основании залегания нижнемеловых конгломератов с флюоритом на их размывной поверхности (верхнее течение р.Уды). На территории листа № 52-Г в гранодиоритах обнаружены ксенолиты вулканогенной толщи с флюоритом, на основании чего А.Г.Кад (1963) возраст гранодиоритов датирует как нижнемеловой. В силу противоречивости данных о возрасте гранодиоритов, в настоящее время он может быть определен условно как нижнемеловой.

Кварцевые диориты пироксенсодержащие (δ₂O, Ст₂) слагают три мелких тела в бассейне руч. Ингали (15 км²) и вблизи устья рек Карчелака (2 км²) и Онони (8 км²). Отдельные жилы их наблюдались в верховых р. Мал.Джарыскина и в низовьях р.Акыданка. Интрузии пироксенодержащих кварцевых диоритов приурочены к тектоническим нарушениям северо-западного направления. Мелкие тела (р.Зея) и краевые части относительно круглых тел (руч. Ингали, р.Онони) сложены мелкозернистыми, часто порфировидными кварцевыми диоритами, переходящими к центру массива в средне- и крупнозернистые разности. Нередко в краевых частях массивов встречаются ксенолиты вышележащих пород, переработанные в микродиориты.

Пироксенсодержащие кварцевые диориты — серые, темно-серые, средне- и крупнозернистые породы массивного сложения. Весьма характерно для них наличие скоплений чешуйчатого биотита с бронзовым оттенком. Породы имеют аномальный, непостоянный петрографический состав с отложениями к диорит-монцонитам: зональный альбитизированный пластиоклаз № 28-45 (45-55%), калиевый полевой шпат (10-17%), кварц (до 13%), уралитовая роговая обманка (4-13%), биотит (5-11%), реликты моноклинного пироксена (до 4%). Аксессорные минералы представлены сфеном, апатитом, рулем, цирконом. Структура пироксенсодержащих кварцевых диоритов типично зернистая, монцонитовая. Химический состав (табл.2, образцы 923а, З19) описываемых пород характеризуется высоким содержанием щелочей (количество их близко к содержанию в щелочных гранитах) при нормальном для средних пород содержании фемических компонентов.

Раннемеловой возраст пироксенсодержащих кварцевых диоритов устанавливается на основании следующих данных. Кварцевые

Таблица 2

Химический состав раннемеловых и позднемеловых интрузивных пород

Номер образца	Содержание компонентов, %													Сумма		
	SiO ₂	TiO ₂	Al ₂ O ₃	Fe ₂ O ₃	FeO	MnO	CaO	MgO	Na ₂ O	K ₂ O	P ₂ O ₅	SO ₃	П.п.п.	H ₂ O ⁺	CO ₂	
25	44,90	1,70	13,83	4,16	8,84	0,14	10,75	10,85	1,89	1,24	0,09	0,03	-	1,45	-	99,87
33	61,55	0,81	15,95	2,00	4,36	0,12	5,28	2,33	4,04	2,37	0,30	0,01	0,37	0,10	-	99,59
65I	60,71	0,71	16,94	2,11	4,59	0,12	6,27	2,06	4,13	2,02	0,27	0,01	-	0,42	-	100,36
66a	69,52	0,44	15,16	1,00	2,13	0,08	2,69	1,07	4,26	3,25	0,17	0,02	0,07	0,04	-	99,90
4I	66,00	0,52	14,78	1,45	3,01	0,10	3,85	2,06	3,81	3,26	0,16	-	-	0,68	0,35	100,03
923a	63,97	0,65	16,13	1,88	3,41	0,11	4,28	1,95	4,32	3,15	0,23	0,02	-	0,30	-	100,40
З19	60,02	0,86	16,19	1,59	4,31	0,12	5,26	2,79	4,28	3,09	0,26	0,05	-	0,46	0,36	99,76
849	74,71	0,15	13,05	0,55	0,74	0,08	0,85	0,44	4,22	4,40	0,04	0,01	-	0,26	0,58	100,08
862	76,52	0,15	12,57	0,57	1,11	0,07	0,83	0,64	4,25	4,05	0,03	0,01	-	0,32	-	100,20
I6746	68,94	0,70	13,38	0,15	2,31	0,02	1,95	2,66	2,58	5,98	-	-	-	-	-	-

Числовые характеристики по методу А.Н.Заварицкого

Номер образца	a	c	b	s	a/c	t	m'	c'	n	t	φ	Q
25	5,3	6,2	36,5	51,3	0,97	32,4	49,1	18,5	69,9	2,7	9,05	-15,6
33	12,4	4,5	11,9	71,2	2,7	49,7	38,5	16,8	72,2	0,9	1,4	13,1
651	12,1	5,4	12,1	70,4	2,2	51,7	29,0	19,3	76,1	0,8	14,7	II, I
66а	13,9	3,1	4,8	78,2	4,5	60,6	36,6	2,8	67,0	0,4	1,2	25,5
941	13,0	3,3	8,9	74,8	3,90	46,4	38,8	14,8	63,9	0,54	3,69	20,3
923а	14,1	3,7	9,6	72,6	3,7	51,1	34,0	14,9	67,1	0,7	16,9	13,0
319	14,1	3,9	13,0	69,0	3,6	50,7	33,8	15,5	67,2	1,0	10,6	6,0
849	15,2	0,8	2,1	81,9	18,3	57,5	35	7,5	59,1	0,2	22,2	32,6
862	14,4	0,9	2,7	82,0	18,0	57,1	38,1	4,8	61,3	0,2	17,1	34,3
I674б	14,1	1,6	7,3	77,0	8,9	30,0	60,0	10,0	39,6	4,2	0,9	24,2

Обр. 25 - габбро (γ - δ Cr₁), р. Зея, вблизи устья р. Джагармы; обр. 33 - кварцевый диорит (δ_1 Cr₁?), р. Зея (вблизи устья р. Джагармы); обр. 651 - кварцевый диорит (δ_1 Cr₁?), р. Бол. Джарыскин; обр. 66а - гранодиорит (δ_1 Cr₁?), р. Зея (вблизи устья р. Бол. Джарыскин); обр. 41 - гранодиорит (γ_1 Cr₁?), р. Зея (ниже метеостанции Лошак); обр. 923а - кварцевый диорит пироксенсодержащий (δ_2 Cr₁?), руч. Ингагли; обр. 849 - гранит лейкократовый биотитовый (γ_3 Cr₁), р. Бол. Иракан; обр. 862 - лейкократовый гранит (γ_1 Cr₂), р. Бол. Иракан; обр. I674б - гранит-порфир (γ_1 Cr₂), р. Джагарма. Химические анализы выполнены в химической лаборатории ДВТУ (зав. лабораторией А.И.Божко).

диориты контактово метаморфизуют нижнемеловые эфузивы (руч. Ингагли), прорывают катализированные раннемеловые (?) гранодиориты (руч. Ингагли) и, в свою очередь, прорываются раннемеловыми лейкократовыми гранитами (р. Карчелак). Абсолютный возраст пироксенсодержащих кварцевых диоритов равен 97-110 млн лет.

Границы лежекратовых (биотит-гранитов) и пироксенсодержащих гранитов (пироксенитов) в окончании Марелинского (18 км²) массива и небольшое тело (5 км²) вблизи устья р. Карчелака. Интуиции лейкократовых гранитов приурочены к разломам или зонам катаклизма северо-западного простирания.

Западное окончание Ягодокит-Ираканского массива находится на территории листа № 52-Х. В эндоконтакте описываемый массив сложен резко порфировидными гранитами, иногда гибридными породами типа гранодиоритов. По направлению к центру массива наблюдается уменьшение количества и размера порфировидных выделений и породы приобретают средне- крупнозернистое строение. В зонах разломов и гидротермальной переработки встречаются трейзенизированные или мусковитизированные разности. В составе Марелинского массива преобладают порфировидные биотитовые, роговообманково-биотитовые разности гранитов.

Граниты представляют собой розовато-серые, средне- крупнозернистые, часто порфировидные породы. Порфировидные выделения, количество которых варьирует от единичных кристаллов до 25-30%, представлены калиевым полевым шпатом, плагиоклавом, реже темно-серым кварцем. Величина их достигает 1 x 2 см. Граниты сложены кварцем (25-38%), микроперитом (30-50%), плагиоклазом с примесью зональностью № II-III (20-30%), биотитом (1-2%). Иногда в гранитах встречается роговик обманка (до 1%). Из акессориев присутствуют рудный минерал, сфен, апатит, рутил, циркон, турмалин, ортит, монацит. Структура гранитов типично мониломорфозернистая.

Описываемые граниты по химическому составу (табл. 2, обр. 849) относятся к группе пород, пересыщенных кремнекислотой и бедных щелочами. Лишь несколько меньшим содержанием щелочей они отличаются от комендитов по Дэли (эмальзиновых анатекситов щелочных гранитов), то есть они являются субшелочными. С лейкократовыми гранитами в бассейнах рек Б. Иракана и Ягодокита связаны ореолы рассеяния торита, ортоклаза, фергюсонита, молибдита и монацита.

Ранненемеловой возраст лейкократовых гранитов определяется тем, что в бассейне руч. Ингатли (Карсаков, 1964 ф) они прорывают нижненемеловые эффиузины, ранненемеловые (?) гранодиориты, пироксеносодержащие кварцевые диориты и, в свою очередь, на территории листа № -52-ХII (Карсаков и др., 1966 ф) прорываются поздненемеловыми розовыми гранитами с абсолютным возрастом 83 млн. лет. Абсолютный возраст лейкократовых гранитов равен 89-91 млн. лет (Ложак, 1964). По данным Ю.А.Альбона и В.Н.Мощкина (1959), подобные граниты в бассейне р.Удыхана прорывают толщу континентальных гранитов с южной стороны неокома.

ПОЗДНЕНЕМЕЛОВЫЕ ИНТРУЗИИ

На территории листа поздненемеловые интрузии распространены незначительно и представлены: 1) гранитами лейкократовыми,

2) гранит-порфирями, фельзит-порфирями.

Граниты ледниково-реконзовные (γ Ст₂) слагают штокобразные тела площадью от 0,5 до 22 км² в верховьях р.Унина, в междуречье Итымы - Акиевляка, в нижнем течении р.Акиевляка, на правобережье р.Бол.Иракана и в центральной части района. Они приурочены к разломам и зонам рассланцевания и катаклаза. Мелкие тела, апикальные и краевые части крупных массивов сложены неравномерно-мелкозернистыми, часто порфировидными гранитами, постепенно переходящими к центру крупных массивов в равнокристаллические. Граниты - розовые, розово-серые породы массивного сложения. Для них весьма характерно присутствие пегматитовых шлиф и миаролитовых пустот (до 0,5 x 1 см), выполненных друзами дымчатого кварца и полевых шпатов. Структура пород гипидоморфозернистая, участками пегматитовая, микрографическая. Минеральный состав гранитов: калиевый полевой шпат (35-46%), кварц (35-40%), плагиоклаз № 10-14 (18-35%), биотит (до 3%). Аксессорные минералы представлены ортитом, цирконом, рудным минералом, гранатом, рутилом. Из вторичных минералов обращает на себя внимание мусковит, развивающийся по полевым шпатам в приконтактовых частях массивов.

Химический состав описываемых гранитов (см. табл.2, обр. 862) характеризуется высоким содержанием щелочей, близким к содержанию их в шлекочных гранитах по Дэли.

С описываемыми гранитами на территории листа связаны ореолы рассеяния молибдена, фергусонита, кварцевые жилы с сульфи-

дами, гематитом. Иногда в кварцевых жилах, по данным спектрального анализа, присутствует олово.

Описываемые граниты в верховьях р.Унина (Карсаков и др., 1966 ф) прорывают ранненемеловые биотитовые порфировидные граниты и, в свою очередь, прорываются поздненемеловыми гранит-порфирями и фельзит-порфирями (Руденко, 1966 ф). На сменных с востока (Карсаков и др., 1966 ф) и с запада (Ложак и др., 1963 ф) территориях лейкократовые граниты рвут и контактово метаморфизуют ранненемеловые вулканогенные образования. Абсолютный возраст гранитов равен 108 (р.Акиевляка) и 83 (р.Унин) млн. лет (Дыренко и др., 1963 ф); Карсаков и др., 1966 ф). На сопредельной с запада территории (лист № -52-Х) абсолютный возраст аналогичных гранитов составляет 94, 96, 97, 99, 104 млн. лет (Ложак и др., 1963 ф), что соответствует концу раннего и началу позднего мела.

Гранит-порфирь, фельзит-порфирь (γ Ст₂) слагают Майдаскинский массив (26 км²) в бассейне одноименной реки и мелкие (до 10 км²) тела в верховьях рек Джагарма, Яколокита, в междуречье Мукундакана и Унина и на левобережье р.Зеи (вблизи устья руч. Тамылтын). Все массивы и мелкие тела гранит-порфиров в плане имеют неправильную форму и вытянуты в северо-восточном направлении. В Майдаскинском массиве параллельно его удлинению хорошо проявлены протекtonические трещины, круто падающие в западных руслах вблизи восточного контакта и в восточных руслах в западной половине массива. В том же направлении вытянуты ясенолиты вмещающих пород. Кругизна углов падения трещин отдельности к центру массива увеличивается. Это позволяет предполагать, что контакты массива также падают к центру, то есть Майдаскинский массив в разрезе имеет вид треугольника, ориентированного вершиной вниз.

Мелкие тела, апикальные и краевые части куполов массивов сложены фельзит- и гранит-порфирями с плохо раскристаллизованной основной массой, переходящими иногда в гранобирю. В более глубоких срезах массивов фельзит- и гранит-порфирь имеют хорошо раскристаллизованную основную массу, нередко переходящую в крупнопорфировидные граниты. Гранит-порфирь имеет постепенные переходы в фельзит-порфирь. Иногда (р.Майдаски) наблюдается как фельзит-порфирь прорывается гранит-порфирями. Можно предполагать, что при детальном изучении тела субвуликанических интрузий могут оказаться многофазными.

Гранит-порфирь – розовато-серые, кремовые, массивные породы. Вкрапленники представлены птиолазом (65–85%), калиевым полевым шпатом (10–15%), кварцем (10–12%), биотитом (до 5%) и составляют от 10 до 50% объема породы. Микротранитная или грано-кофировая основная масса гранит-порфиров сложена кварцем, калиевым полевым шпатом, птиолазом и иногда сферолитами калиевого полевого шпата. Фельзит-порфирь – желтовато-бежевые, белые породы массивного сложения. Вкрапленники в них составляют до 15% обе-ма породы и представлены калиевым полевым шпатом, птиолазом, биотитом. Основная масса сферолитовая, витрофикальная, участками микротрафическая. Из акцессорных минералов в гранит- и фельзит-порфирах встречаются циркон, ортит, апатит, сфен, рудный минерал. Химические анализы гранит-порфиров приведены в таблице (см. табл. 2, обр. 1674б).

Гранит- и фельзит-порфирь прорывают позднемеловые лейко-кратовые граниты (Междуречье Унин – Магдашки) с абсолютным воз-растом 83 млн. лет (Карсаков и др., 1966 ф.). Их абсолютный возраст на сопредельной с запада территории (лист № 52-Х) равен 94, 96, 97 млн. лет (Ломак, 1964).

Заканчиваая описание меловых интрузий, отметим, что они широко распространены не только на изученной территории, но и на всем Становом хребте. Изучением их в разное время занималась большая группа геологов ДВГУ, ВСЕГЕИ и ВАГТА (П.А.Сушков, В.Ф.Эзбеков, В.Ш.Шаханов, Н.П.Ложак, В.А.Дыренко, Л.П.Карсаков, В.Н.Мошкин, Ю.А.Альбов, Ю.Б.Казмин и др.). Впервые наиболее полная схема мезозойскогомагматизма для восточной части Станового хребта была предложена Ю.А.Альбовым и В.Н.Мошкиным (1959). Ими среди мезозойских интрузий выделены четыре интрузивных комплекса: 1) Чалляринский комплекс (юра) – небольшие интрузии основного состава; 2) Удокано-Зейский комплекс (юра) – ре-гионально распространенные купные интрузии умеренно кислых гранитоидов; 3) Ульяновский комплекс (нижний мел) – небольшие и средних размеров трещинные интрузии порфировидных гранитов; 4) Таликтский комплекс (верхний мел) – мелкие гипабиссальные и субвулканические тела резко порфировых гранитоидов, нередко с повышенной щелочностью состава.

На рассматриваемой территории и сопредельных с ней (ди-сты № 52-Х, IX, X) получены новые данные, позволяющие уточнить существующую схему мезозойскогомагматизма для восточ-ной части Станового хребта. По взаимоотношению с вулканогенными и осадочными породами, фациальными условиями образования, особен-

ностями химизма и металлогении среди меловых интрузий выделяют-ся два интрузивных комплекса, соответствующие главным этапам мезозойской интрузивной деятельности в районе (Карсаков, 1964 ф., 1966 ф.). Первый (Удокано-Зейский) комплекс формировался в три фазы: 1) габбро, габбро-диориты, диориты; 2) гранодио-риты, граниты биотитовые, биотит-рогоовообманковые; 3) грано-диорит-порфирь. Среднетрубинные интрузии этого комплекса обра-зуют огромные по площади тела, характеризуются умеренно кислым щелочноземельным составом. Вулканогенные породы (лист № 52-Х) и нижнемеловые осадочные отложения (р.Ульяны) перекрывают образование описываемого комплекса. С породами Удокано-Зейского комплекса связана сцинцовая, цинковая, медная и, по-видимому, золотая минерализация. Возраст Удокано-Зейского комплекса в наст-оящее время не может быть датирован точно: по-видимому, он юно-киммерийский (верхняя юра – нижний мел).

Второй (ираканский) интрузивный комплекс включает следую-щие фазы: 1) кварцевые диориты пироксенодержащие; 2) биоти-тевые лейкократовые граниты (порфировидные); 3) граниты лейкократовые розовые и 4) гранит-порфирь, фельзит-порфирь. Для интрузий этого комплекса характерна четко выраженная тип-биссальный или субулканический характер, сравнительно неболь-шие размеры тел, часто повышенная щелочность, ассоциация в пространстве с выходами осадочно-вулканогенных пород, редкоме-тальная специализация. С этим комплексом связана также золотая минерализация. Все фазы этого комплекса прорывают нижнемеловые средние и кислые эфузивы (листы № 52-Х, XI, XII и др.) и нижнемеловые терригенные отложения (р.Ульяны). Вероятна гене-тическая связь интрузий ираканского комплекса с последерскими субшелочными гранитоидами Алланского щита. Возраст ираканского комплекса, судя по определению абсолютного возраста, ниже-верхнемеловой: начальные фазы внедрились в конце раннего мела, а последние – в начале позднего мела.

Да́йки гра́нит – по́рфи́ров (γτ Cr), а́пли́то́з (iCr), гра́нодио́рит – по́рфи́ров (δη Cr), фе́льзи́т – по́рфи́ров (δη Cr), дио́рит (δη Cr), дио́рит – по́рфи́ров (δη Cr), спеса́рти́т (δη Cr) широко распространены по всей территории листа как в пределах полей развития мезозойских интрузий, так и во вмещающих их породах. На плоскостях развития поздних фаз мезозойских интрузий жильные породы встре-

чаются значительно реже, чем среди полей ранних фаз. Жильные породы образуют как отдельные дайки, так и поля сближенных даек северо-восточного простирания, контролирующие ослабленные зоны того же направления. Зона, насыщенная дайками гранит-порфиров шириной 5–10 км и длиной более 65 км, прослеживается от среднего течения р. Ягодокита на северо-восток в верховья р. Джалагары и далее уходит за пределы территории. В этой же зоне расположены мелкие тела позднемеловых гранит-порфиров. Другое лайковое поле размером 10 × 20 км установлено на правобережье Зеи, вблизи устья р. Купури. Здесь встречаются гранит-порфирь, гранодиорит-порфирь, диоритовые порфириты и реже фельзит-порфирь и спессартиты.

Третья зона, насыщенная дайками гранит-порфиров, намечается в междууречье Махдаски и Унина. Эта зона наиболее интенсивно проявлена на территории листа № 52-XI (Карсаков и др., 1966, ф.). Менее круглые дайковые поля, насыщенные дайками как кистистого, так и среднего состава, установлены в бассейнах рек Акылляка, Онни, Купури. Отдельные дайки широко распространены по всей территории листа. Мощность дайк колеблется от десятков сантиметров до 60 м, протяженность чаще составляет 500–800 м, реже достигает 2,5 км (р. Ягодокита). Дайки имеют преимущественно северо-восточное простирание и падение в юго-восточных и северо-западных румбах. Реже встречаются дайки северо-западного, меридионального простирания. Углы падения варьируют в пределах 10–90°, преобладают 70–80°. Контакты их с имеющимися породами четкие, резкие, прямые, реже извилистые. В эндоконтактах дает развиты малоомощные (до 3 м) зоны закалки. Гранит-порфирь и фельзит-порфирь по составу и структуре склонны к аналитичными породами, слагающими самостоятельные инструэмы, поэтому здесь описание их опускается. Аplitы распространены только в пределах массивов позднемеловых (?) гранодиоритов, лейкогранитовых гранитов и позднемеловых гранитов. Это светло-серые, желтовато-серые мелкозернистые массивные породы, состоящие из калинитового полевого шпата (35–38%), кварца (30–35%), плагиоклаза (20–25%), биотита и магнетита (менее 1%). В аplitах позднемеловых гранитов встречаются миаролитовые пустоты.

Гранодиорит-порфирь – серые, зеленовато-серые массивные породы с порфировыми выделениями полевых шпатов, биотита и кварца от 10 до 50%. Основная масса имеет микролигнитоморфозернистую, реже гипидиоморфозернистую структуру и гранодиоритовую.

гравийный состав. Из акцессорных минералов присутствуют сфеин, ортит, апатит, рудный минерал. Кварцевые порфирь – зеленовато-серые массивные породы с крупными (до 1–1,5 см) вкраплениниками кварца (20%), микроперитового полевого шпата (5–10%), биотита (2–3%), плагиоклаза (2–3%). Основная масса их микрогранофираза, микроаллотротомбозернистая. Диоритовые порфириты – темно-серые, зеленовато-серые массивные породы с микрозернистой гипидиоморфозернистой или призматически-зернистой основной массой и порфировыми выделениями (от 20 до 40%) плагиоклаза и роговой обманки. Основная масса состоит из плагиоклаза № 38–40 (50–70%), роговой обманки (18–20%), биотита (5%), кварца (0–8%). Аксессории: рудный минерал, сфеин, апатит, ортит.

Диориты – зеленовато-серые и темно-серые, неравномерно-зернистые породы массивной текстуры. Минеральный их состав: (в %): плагиоклаз № 40–60 от 40 до 70, бурая роговая обманка 37–20, моноклинный пироксен 1–2. Из акцессорных минералов присутствуют сфеин, рудный минерал. Структура их призматически-зернистая, гипидиоморфозернистая, участками полихилитовая. Спессартиты – темно-серые, зеленовато-серые массивные мелкозернистые породы с призматически-зернистой, гипидиоморфозернистой структурой. Они состоят из плагиоклаза № 38–40 (43–56%), роговой обманки (35–40%), кварца (2–6%). Аксессорные минералы, сфеин, апатит и рудный минерал.

Дайки прорывают все докайнозойские образования района. Большинство их, несомненно, связаны с раннемеловыми и позднемеловыми инструэмы гранитоидов, с которыми их обединяет общность петрографического состава и тесная пространственная связь. Однако не исключено, что часть дайк является как более древними, так и более молодыми. Возрастные взаимоотношения даек между собой сложные. Так, в береговых обнажениях р. Зеи неоднократно наблюдалось, как дайки диоритовых порфиритов рутидаики гранодиорит-порфиротов и гранит-порфиротов. В то же время в верховьях р. Унина, Джалагары дайки диоритовых порфиритов прорываются дайками гранит-порфиротов, фельзит-порфиротов, гранодиорит-порфиритов. При современной изученности последовательность внедрения всех выделенных петрографических разностей жильных пород до конца не расшифрована. Поэтому дайки на карте индексированы лишь как меловые. Но приуроченность большинства дайк к ослабленным зонам северо-восточного простирания следствует, по-видимому, о формировании основной массы дайк в связи с поздними фазами ираканского комплекса.

Кварцевые жилы имеют мощность от нескольких миллиметров до 1,25 м, протяженность до 50 м. Кроме кварца в них присутствует вкрашенность молибдена, пирита, галенита. Кварцевые жилы пространственно тяготеют к эндо- и экзоконтактам меловых интрузий, и их образование, по-видимому, связано с гидротермальными fazами мелового магматизма.

ТЕКТОНИКА

Территория листа расположена главным образом в Становой раннепротерозойской складчатой области и лишь небольшая ее северо-восточная часть заходит в пределы южной окраины Алданского щита. Структуры района в мезо-кайнозое в значительной степени нарушены глыбами движениеми и маттанизом. В тектоническом строении района выделяются: а) архейские и нижнепротерозойские структуры кристаллического фундамента и б) мезо-кайнозойские наложенные структуры, связанные с глыбовыми деформациями кристаллического фундамента.

Д о к е м б р и й с к и й к р и с т а л л и ч е - с к и й ф у н д а м е н т

Архейские структуры Алданского горного пояса заходят в виде фрагмента южного крыла Алданской синклиналии (Микаилов, 1963; Гиммелльфарб, 1963), сложенной metamорфическими породами средней подсвиты хункуганской свиты. Согласно данным Б. А. Микаилова (1963), крыло этой синклиналии осложнено узкой (ширина до 0,5 км) линейно-вытянутой антиклиналью протяженностью 7 км северо-западного простирания (рис. 2). Углы падения ее крыльев 60–65°. В конце архея происходит консолидация Алданского щита и превращение его в жесткий массив. В этот нижнепротерозойский складчатости в Становой области архейский фундамент Алданского щита на территории листа подвергся интенсивным дислокациям, рассланцеванию и дифторезу.

Нижне-протерозойские структуры района становой юго-западной части территории листа и представлены сложно построенными антиклинальными и синклинальными складками, син- и позднеоро-

геними интрузиями гранитоидов и крупными разрывными нарушениями. Главными нижнепротерозойскими пликативными структурами являются Усть-Джагарминская синклиналь и сопряженные с ней Талаканская и Ялваканская антиклиналии.

Усть-Джагарминская антиклиналь занимает центральную часть района. Она представляет собой крупную складку северо-западного, близкого к широтному простирания, шириной около 50 км и протяженностью более 70 км. Ось синклиналии, слабо изгибаясь, протягивается от бассейна р. Каракана к среднему течению р. Бол. Иракана. Ядро ее в значительной части "занято" многочисленными интрузиями, частично сложено породами урмской свиты. Крылья синклиналии образованы породами чимчанской и частично дигиталинской свит. Сужение выходов урмской свиты на востоке и конфигурация границы выходов дигиталинской и чимчанской свит в бассейне рек Бол. и Мал. Ванги свидетельствуют о возникновении шарнира синклиналии к востоку и его погружении к западу. Центриклинальное замыкание синклиналии на востоке картируется за пределами территории, а на западе Усть-Джагарминская синклиналь смыкается с Сугджацкой синклиналью (Лопак, 1964).

Юго-западное крыло Усть-Джагарминской синклиналии имеет сложное строение. В юго-западной части района оно частично скрыто под раковинами и уничтожено интрузиями раннемеловых (?) гранитоидов. Здесь слагающие синклиналью породы дигиталинской свиты полого ($20\text{--}30^{\circ}$) падают на север-северо-восток. К востоку от р. Онни юго-западное крыло Усть-Джагарминской синклиналии осложнено Зимовьичинской, Усть-Кулупуринской, Карчалской антиклинальными и Рогачинской, Нельзякской, Биряканская и Кинильдажская синклинальными складками второго порядка. Зимовьичинская антиклиналь расположена в нижнем течении р. Онни. Ширина антиклинали 2 км, протяженность более 5 км. Простижение оси складки широтное, углы падения ее крыльев 40–60°. В ядре антиклинали обнажаются породы дигиталинской, на крыльях чимчанской свиты. В западном окончании Зимовьичинская антиклиналь осложнена складками более высоких порядков шириной в первые сотни и десятки метров. К югу Зимовьичинская антиклиналь сменяется сопряженной с ней Рогачинской синклиналью юго-западного простирания. В ядре последней выступают образования чимчанской свиты, а крылья сложены породами дигиталинской свиты. Ширина складки 1 км, протяженность около 5 км. Углы падения крыльев 40° .

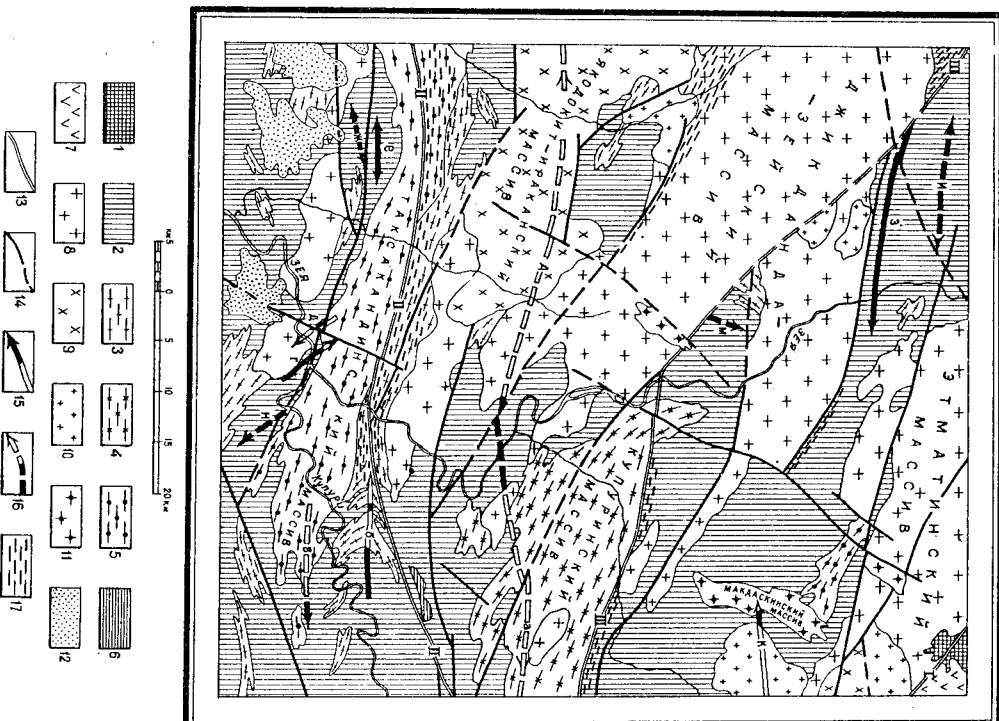


Рис. 2. Геолого-тектоническая схема

Ложембрейскии кристаллический фундамент крупной складчатой структуры Алданского щита: 1 - фрагмент крупной складчатой структуры Алданского щита; 2 - крупные складчатые структуры, сложенные метаморфическими образованиями амфиболитовой фации, осложненные дополнительной мелкой куполовидной и линейной складчатостью, местами изломами гранулитовой фации. Нижнепротерозойские структуры Становой области: 3 - синороговые согласные интрузии раннепротерозойских диоритов (древнестановых) гранитов с широкими полами мигматитов; 4 - позднеороговые согласные интрузии раннепротерозойских диоритов; 5 - позднеороговые дислокационные интрузии раннепротерозойских (?) двусидильных гранитов.

Мезо-кайнозойские наложенные строения, связанные с тектоническими формациями и кристаллического зерна: 6 - реликты пиразитомальных впадин, выполненных моноклинально застывшими мезовознесенскими осадочно-вулканическими образованиями; 7 - покровы кислых эффузивов; 8 - трещинные интрузии раннемеловых (?) гранодиоритов и габброидов; 9 - трещинные интрузии позднемеловых гранитов; 10 - трещинные субвуликанические интрузии позднемеловых гранитов и фельзанит-порфиров; 12 - реликты ракахих неоген-четвертичных четвертичных отложений, выполняющих северо-восточную окраину Бережнезайской впадины.

Прочие знаки: 13 - глубинные долгоживущие разломы нижнепротерозойского заложения; 14 - прочие разломы; 15 - оси синклиналей и направление их взаимного смыкания; 16 - оси антиклинальных катализаза.

Буквами и римскими цифрами на схеме обозначены важнейшие структуры: а - Усть-Джегарминская синклиналь, б - Карачалакская антиклиналь, в - Кызылжарская синклиналь, г - Усть-Куприйская антиклиналь, ж - Рогочинская синклиналь, з - Итымдинская антиклиналь, и - Тамтыгинская синклиналь, к - Талаканская антиклиналь, л - Биряганская синклиналь, п - Учин-Куруринский разлом; й - Тександрийский разлом; щ - Учин-Куруринский разлом.

Несколько восточнее, в приустьевой части р.Кулури фиксируются Усть-Купуринская антиклиналь и юго-западнее ее, сопряженная с ней Нельгакская синклиналь. Северо-западные окончания их срезаны разломом. Оси складок имеют северо-западное ($320-330^{\circ}$) простирание. Углы падения крыльев составляют $50-70^{\circ}$. Ядро Усть-Купуринской антиклинали сложено породами джигаллинской свиты, а крылья — породами чимчанской свиты. В ядре и на крыльях Нельгакской синклинали выступают образования чимчанской свиты. Нельгакская синклиналь на юго-восточном замыкании уничтожена интрузией раннемеловых (?) гранодиоритов.

Далее на восток, в бассейне р.Бираякана, зафиксирована Бираяканская синклиналь, северо-восточная часть которой срезана разломом. Простирание ее оси 345° , углы падения крыльев $30-60^{\circ}$, ширина крыльев $1-2$ км. Восточнее, в приустьевой части р.Кинильджака, расположена Кинильджанская синклиналь шириной 8 км и протяженностью более 12 км. Значительная часть этой складки "съедена" раннепротерозойской интрузией двуслюдянных гранитов, а крылья сложены породами чимчанской и частично джигалинской свит. К северу Кинильджанская синклиналь переходит в сопряженную с ней Карчелакскую антиклиналь. Ось ее имеет субширотное простирание ($260-290^{\circ}$) и простирается от субширотного участка р.Кулури к среднему течению р.Карчелака. Ширина крыльев антиклинали составляет $6-8$ км, протяженность более 15 км. Углы падения крыльев варьируют в пределах $30-60^{\circ}$. Более крутые углы фиксируются на южном крыле антиклинали, что свидетельствует о некоторой асимметричности складки. В ядре антиклинали выступают породы джигалинской, на крыльях породы чимчанской свиты. Западное периклинальное замыкание складки индицировано многочисленными соглашными телами раннепротерозойских гранитолов. Далее к востоку юго-западное крыло. Усть-Джалгарминской синклинали падает на север под углами $25-50^{\circ}$, реже $75-80^{\circ}$. Строение его здесь подчеркнуто приуроченными к нему соглашными телами раннепротерозойских гранитолов. Резкие изменения углов падения пород ($25-80^{\circ}$) на коротких расстояниях свидетельствуют, по-видимому, о наличии здесь осложнений флексуруобразных складок и перегибов высокого порядка.

Северо-западное крыло Усть-Джалгарминской синклинали сложено породами чимчанской и, в меньшей мере, джигалинской свит. Строение его сильно маскировано приуроченными к нему меловыми интрузиями гранитоидов. Оно осложнено Ильмдинской антиклиналью

и Энельгинской, Тамтылтынской синклинальными складками второго порядка.

На правобережье р.Эзи (выше устья р.Джалгары) зафиксирована Тамтылтынская мульдообразная синклинальная структура, с юго-запада и севера срезанная разломами. Ширина складки около 6 км, углы падения крыльев $20-35^{\circ}$. Ось ее слабо вытянута в субмеридиональном направлении. Ядро занято в значительной части раннепротерозойскими гранитоидами, а крылья сложены породами урмийской свиты.

Ильмдинская антиклиналь расположена в бассейне одноименной реки. Простирание ее запад-северо-западное, протяженность 25 км. Юго-западное крыло этой антиклинали срезано разломом и уничтожено интрузией раннемеловых (?) гранодиоритов, поэтому в настоящее время можно говорить лишь о видимой ширине антиклинали в $10-15$ км. Ось антиклинали простирается от верховьев р.Мал.Джарсина к верховьям р.Ильмиды в $30-45^{\circ}$. Ильмдинская антиклиналь на левобережье р.Ильмиды перекидывает в сопряженную с ней Энельгинскую асимметричную синклиналь с более пологим юго-западным крылом. Ось синклинали (азимут простирации 290°) прослеживается от верховьев р.Энельги к истокам р.Ильмиды. Ширина складки 6 км, протяженность 20 км, углы падения крыльев: северо-восточного — до 70° , юго-западного — около $40-45^{\circ}$. Ядро и крылья складки сложены породами чимчанской свиты. Далее к северу северо-восточное крыло Усть-Джалгарминской синклинали переходит в юго-западное крыло Яланганской антиклинали, развитой за пределами описываемой территории (Казмин, 1963; Миналов, 1963).

Таканская антиклиналь заходит на территорию листа в верховых р.Унина своим западным периклинальным окончанием, частично уничтоженным интрузиями позднемеловых гранитов и гранит-порфиров. Ядро складки, сложенное образованными джигалинской свиты, картируется за пределами района. Периклинальное замыкание антиклинали на территории листа четко выражается простиранием слагающих его пород джигалинской и чимчанской свит, моноклинально падающими от ядра под углами в $30-50^{\circ}$.

Кроме описанных структур, в сложно дислоцированных нижнепротерозойских гнейсах и сланцах, особенно в породах чимчанской и урмийской свит, нередко фиксируются плойчатость и дополнительные мелкие линейные и куполовидные складки. Часто мелкие складки носят изоклинальный характер и опрокинуты, как правило, в

сторону антиклинальных структур первого и второго порядка.

В формировании нижнепротерозойских складчатых структур значительная роль принадлежала также синорогенным интрузиям гранитоидов древнестанового комплекса. Наиболее крупные тела их тяготеют к юго-западному крылу Усть-Джаларинской синклинали, а мелкие приурочены также к ядру и реже северо-восточному ее крылу. Мелкие тела древнестановых гранитоидов интенсивно насыщают западное периклинальное окончание Карчалакской антиклинали. По-видимому, в позднеорогенный этап развития раннепротерозойской складчатости внедрились раннепротерозойские интрузии кварцевых диоритов и двуслюдистых гранитов, пространственно тяготеющих к крупным Таксакандинскому и Унин-Купуринскому разломам. Наиболее крупным разрывным нарушением нижнепротерозойского возраста является Становой глубинный разлом, на коротком (6 км) отрезке пересекающий район в северо-западном направлении в верховьях р.Джалары. Этот разлом образовался, по-видимому, в начале раннего протерозоя в связи с заложением нижнепротерозойской геосинклиналии южнее Алданского щита и является границей между Становой областью и Алданским щитом. В мезозое зона Станового разлома на территории листа в значительной мере замечена интрузиями раннемеловых гранитоидов.

Среди других дислокативных нарушений нижнепротерозойского времени наиболее значительными являются крупные протяженные разломы северо-западного и субширотного простираний: Таксакандинский и Унин-Купуринский.

Таксакандинская зона разломов пересекает территорию листвы с запада на восток от р.Бол.Иракан к нижнему течению р.Карурак. Ширина зоны на западе 10-15 км, на востоке 5-8 км. На восток и на запад она прослеживается далеко за пределы района.

В описываемой ослабленной зоне интенсивно проявлены процессы рассланцевания и дифтореза. Метаморфические породы в этой зоне нередко кимматированы. Таксакандинская зона разломов контролируется приуроченной к ней крупной линейно-вытянутой интрузией двуслюдистых гранитов раннепротерозойского (?) возраста.

Унин-Купуринский разлом фиксируется на широтном участке р.Унина и прослеживается от этого места до правобережья р.Зеи. Далее к западу в верховьях р.Итымы разлом устанавливается в виде зоны рассланцевания. Этот разлом на востоке контролируется хорошо выраженными зонами катаклизма и милонитизации, приуроченной к нему интрузией раннепротерозойских (?) кварцевых диоритов, а на сопредельной с востока плодородии - и интрузией

раннепротерозойских двуслюдистых гранитов (Карсаков и др., 1966 ф). Параллельно Унин-Купуринскому разлому в удалении 1,5-2 км проходит сопряженное с ним еще одно куплоне нарушение, контролируемое зонами катаклизма и милонитизации. Унин-Купуринский разлом на сменной с востока территории картируется как налив с падением плоскости сместителя на юг под углом 30-40° (Карсаков и др., 1966 ф).

Заложение Таксакандинского и Унин-Купуринского разломов произошло, по-видимому, в поздние этапы развития раннепротерозойской геосинклиналии. По этим разломам в более позднее время продолжались тектонические движения, о чем свидетельствуют раскрытие раннепротерозойских кварцевых диоритов (р.Унин) и двуслюдистых гранитов (реки Бол.Иракан, Онони), прорывающих раннемеловых гранитоидов (правобережье р.Зеи), образование вдоль них каллюзных мульд мелового возраста (правобережье р.Купури) и серии субпараллельных молодых разломов. Таким образом, Таксакандинский и Унин-Купуринский разломы являются древними долгоживущими региональными нарушениями глубинного заложения, имевшими важное значение в строении восточной части Станового хребта.

В конце нижнего протерозоя происходит замыкание нижнепротерозойской геосинклиналии и приключение к Алданскому щиту Становой области, составивших впоследствии единый кристаллический массив.

Отсутствие образований позднего протерозоя, палеозоя и раннего мезозоя не дает возможности судить о геологическом развитии района в это время. По-видимому, он представлял собой область воздымания и размыва.

М е з о - к а й н о з о и с к и е на л о ж е н и й е с т р у к т у р ы , с в я з а н н ы е с т л ы б о з ы м и д е ф о р м а ц и я м и к р и с т а л л и ч е с к о т о ф у н д а м е н т а

Мезозойский этап развития района характеризуется возворотом тектонической активности, выраженной дифференциальными блоками перемещениями кристаллического фундамента. Вдоль ограничивающих блоков разломов внедрялись крупные массы раннемеловых (?) гранодиоритов (Улуско-Зейский комплекс). Конформирующие массивы, прямолинейные контакты при расщепленном

рельефе, резкий перепад значений д.т на контактах интрузивов свидетельствует о крутом залегании их контактов, а приустроенность к разломам более древнего заложения — о их трещинном характере. Это согласуется с представлениями Л.И.Красного о том, что подобные гранитоиды представляют собой своеобразный телогоризонтальный тип макротрешинных интрузий, формирование которых связано с региональными тектоническими расколами в жесткой среде (Красный, 1960; Альбов и Мощин, 1959).

Блоковые движения продолжались и после внедрения раннеловых (?) гранодиоритов. Результатом этих движений явилось об разование приразломных мульд, заполненных нижнемеловыми осадочными-яулганогенными образованиями. Реликты подобной впадины сохранились в междууречье Купури — Инагли. Здесь осадочно-вулканические отложения нижнего мела слагают небольшую мульду, края которой срезано разломом. Северное же ее крыло падает на юг по углу до 20°. Наклон слоев обусловлен, по-видимому, молодыми перемещениями кристаллического основания по поздним разрывам. Сохранившиеся в верховых р.Джагармы нижнемеловые эфузивы фиксируют другую грабенобразную приразломную впадину, образованную нижнемеловыми блоками дислокаций, сопровождавшимися излияниями эфузивов кислого состава. Последние склонно залягают на кристаллическом фундаменте. Углы падения слоев не превышают 5–6° (Микаилов, 1963; Гиммеланд, 1963).

С периодом формирования покровов нижнемеловых эфузивов тесно связано становление гипабиссальных и суббукианических интрузий ираканского интрузиального комплекса, которые в районе тяготеют к наиболее крупным полям распространения эфузивов. Они, по-видимому, образуют единый вулкано-плутонический комплекс.

Разрывные нарушения, сопровождавшие глыбовые дислокации в мезо-кайнозое, имеют большое значение в геологическом строении района. Они группируются в системы разломов северо-западного и северо-восточного направлений. Разломы северо-западного направления приурочены к области развития древних метаморфических пород или к их контактам с раннемеловыми интрузиями. Эти нарушения выражены зонами миопинтизации, катаклаза значительной мощности (1–2 км). Они имеют сбросовый характер и склонное строение, направление падения плоскости смещения северное, северо-восточное под углом 40–80°. Амплитуда вертикальных перемещений по этим нарушениям не превышает, по-видимому, несколько сотен метров; заложены они были, вероятно, в донижение-

меловое время и контролировали размещение интрузий раннемеловых гранитоидов, а затем подносились в последующемеловое время.

Разломы северо-восточного направления проявлены как в результате развития кристаллического фундамента, так и в пределах мезо-зойских интрузивных пород. Они хорошо дифференцируются на аэрофотоснимках, фиксируются на местности зонами катаклаза, дробления с зеркалами скольжения, гидротермально-измененных, грязезализированных и пиритизированных пород. Северо-восточные нарушения контролируются лейками, а также интрузиями позднемеловых гранит-порфиров, фельзит-порфиров. Описываемые разрывы в большинстве своем менее протяженные, чем донижнемеловые северо-западные разрывы. По морфологии большинство из них относится к сбросам, реже сбросо-сдвигам (реки Оконон, Джагарма) с крутыми падением (50–70°), иногда с пологопадающей (10–30°) плоскостью сместителя. Амплитуда вертикальных перемещений по ним не превышает, по-видимому, нескольких сотен метров. Амплитуда горизонтальных перемещений по сбросо-сдвигам достигает 1,5 км (р. Джагарма). Крупные разломы осложнены мелкими сбросами, взбросами, сдвигами и надвигами с небольшими амплитудами перемещения.

Глыбовые перемещения по разломам продолжались и в более позднее время. В частности, в неотече возобновились перемещения по Таксакандинской зоне древнего заложения, обусловившие погружение южных блоков и формирование северо-восточной окраины Верхней Зейской депрессии.

Рыхлые неоген-четвертичные отложения образуют пологую впадину в бассейне рек Бол. и Мал. Ванги, ось которой проходит на широте устья р.Онони. К западу происходит постепенное погружение кристаллического фундамента, о чем свидетельствует увеличение в этом направлении мощности рыхлых отложений и расширение площади их распространения. Образование пологих впадин обусловлено, по-видимому, неравномерными движениями блоков кристаллического фундамента.

Активные движения по разломам продолжались и в четвертичное время. С ними связано излияние базальтов в верховых рек Тока и Оконона (Красный и др., 1960) и образование основных форм современного рельефа.

ГЕОМОРФОЛОГИЯ

Территория листа характеризуется неоднородным геоморфологическим строением. Смена геоморфологических ландшафтов обусловлена главным образом тектоническими факторами при подчиненном значении факторов экзогенных.

В пределах района выделяются: 1) высокогорный резко расчлененный ледниково-эрозионный альпинотипный рельеф области интенсивных поднятий; 2) денудационно-эрозионный среднегорный резко расчлененный крутосклонный рельеф области умеренных поднятий; 3) денудационно-эрозионный среднегорный умеренно и слабо расчлененный пологонаклонный рельеф области замедленных поднятий; 4) денудационно-эрозионный низкогорный слабо расчлененный пологонаклонный рельеф области замедленных поднятий и 5) эрозионно-денудационный холмисто-увалистый пологонаклонный рельеф с остатками древней аккумулятивной равнины области замедленных поднятий.

Высокогорный рельеф расчленен на и ледниково-эрозионный альпинотипный рельеф областей интенсивных поднятий, представляем горным узлом в верховьях рек Джагары, Унина и Бирянки. Высокогорье отделяется от среднегорья молодыми тектоническими нарушениями и резко выраженным уступом. Для высокогорья характерны ледниковые цирки, троговые долины, гребневидные скалистые водоразделы и островерхие вершины, V-образные долины, крутое склоны и курумы. Абсолютные отметки водоразделов достигают 1954 м. Энергия рельефа составляет 800-900 м. Истоки почти всех ручьев этой области располагаются в карах с крутыми, почти отвесными стенками. Троти долин рек хорошо сохранились и находятся в стадии эрозионного углубления. Нижняя граница цирков проходит на абсолютной высоте 1400 м. Глубина современного вреза ручьев в морену равна 5-7 м. Основная склоновая равнина рассматриваемого рельефа была создана в период горно-долинного оледенения, то есть в позднечетвертичное время.

Денудационно-эрозионный среднегорный рельеф расчленен на и крутосклонный рельеф областей умеренных поднятий, развит в верховьях рек Джагары, Унина, в междуручьях Бол.Иракана

и Унина, Итмыди и Бол.Иракана. Границы его с другими типами рельефа разделяются выражены уступами, часто совпадающими с молодыми разломами. Абсолютные отметки водоразделов описываемого среднегорья равны 1400-1500 м, иногда достигают 1650 м. Энергия рельефа 600-800 м. Для крутосклонного среднегорного рельефа характерны гребневидные водоразделы с островами вершинами. Это горы, лишенные растительности или покрытые редким кедровым стаником. Крутые (20-30°), склоны нередко покрыты незакрепленными крупноглыбовыми и щебенчатыми осьми. Ручьи, расчленяющие этот рельеф, имеют глубоко врезанные, нередко асимметричные V-образные долины, днища которых почти полностью заняты их руслами. Продольный профиль долин не выработан, вследствие чего ручьи изобилуют участками выходов коренного ложа, перекатами.

Описываемый рельеф был создан, по-видимому, в основном в результате эрозии в связи с новейшими поднятиями, когда в более высоких частях района было оледенение. Об этом свидетельствуют сохранившиеся обрывки средне-верхнечетвертичных террас.

Денудационно-эрозионный среднегорный умеренно и слабо расчлененный пологонаклонный рельеф - это флювиогляциальное поле, оставленное на правобережье р.Бол.Иракана, в междуручьях Бол.Иракана и Зеи, Унина и Купури, в бассейнах рек Итмыди, Бол.Джарыскина, Макласки, в среднем течении р.Джагары и на крайнем юго-востоке площи. На юге над низкогорьем возвышаются среднегорные массивы горы Такаканда и водораздельные возвышенности в междуручьях Якобокита, Оюни и Нельзака. Переход этого рельефа в низкогорье достаточно резкий, иногда границы проходят по тектоническим уступам. Абсолютные отметки в пределах данного рельефа колеблются от 800 до 1200 м, реже достигают 1343 м. Энергия рельефа 320-450 м. Для среднегорья характерны широкие (200-300 м), слабо выпуклые водоразделы, на которых иногда встречаются денудационные останцы. Склоны водоразделов круты (18-20°), реже 30°, имеют слабо выпуклую, иногда прямую форму пологих профилей. Склоны вершины водоразделов заросли и покрыты элювиально-делювиальным чехлом или крупноглыбовыми развалами. Редко встречаются небольшие по площади осьми. Долины крупных рек, расчлененные среднегорье, хорошо разработаны, имеют ящиковидную форму. По крупным рекам развит комплекс аккумулятивных докольных террас высотой 5-10, 20-40, 80-120 м.

Боковые притоки крупных рек имеют V-образный поперечный профиль в верхнем течении и U-образный — в нижнем, где неизвестно размиты пойменные отложения. Нередко они имеют висячие долины.

Формирование пологосклонного среднегорья происходило в условиях значительной денудации склонов водоразделов, плоскостного смыва, активной глубинной и боковой эрозии водотоков при незначительном развитии аккумуляции. Возраст пологосклонного среднегорья на территории листа предположительно определяется как досреднечетвертичный.

Денудационно-эрозионный тип — когорни слаще пенины и пологонаклонный рельеф обладает зонами среднедолинных пологих падений, занимающими бассейны среднего течения рек Бол.Иракана, Онони, Якодокта, Зеи, в промежутке между устьями рек Купури и Бол.Джарысина, приструнувшись к частям р.Унина и бассейны рек Купури, Кинляндака, Бираякана. Абсолютные отметки низкогорья колеблются в пределах 500-800 м. Энергия рельефа 150-300 м. Переход его в холмисто-увалистый рельеф постепенный. Рельеф низкогорья характеризуется широкими (до 2-3 км) пологими (5-15°) водоразделами, плавно без резких перегибов переходящими в склоны речных долин. Последние покрыты элювиально-делювиальными образованиями. На выполненных водоразделах нередко наблюдаются останочные сопки высотой 10-20 м. В пределах низкогорья широко проявлены процессы солифлакции. Низкогорье расчленено широкими (0,5-2 км) хорошо разработанными корыто- и ящикообразными долинами рек Бол.Иракана, Якодокта, Джагары, Зеи и Купури. Последние две реки имеют многочисленные врезанные меандры. На антecedентных участках долины рек Зеи и Купури сужены, изобилуют перекатами и порогами. Наблюдаются скальные обрывы высотой до 100-120 м, не закрепленные осипами. Долины боковых притоков главных рек в верхнем и среднем течении пологосклонные, часто заболоченные. Днища крупных долин большей частью заняты высокой поймой. И, в меньшей мере, первой (высота 5-10 м), второй (20-40 м), третьей (100-120 м) аккумулятивными, поклонными, скульптурными террасами.

Зрелые формы этого типа рельефа, а также сохранность хорошо выраженных комплексов террас высоких уровней с заполнением ниже — среднечетвертичного возраста позволяют предполагать его досреднечетвертичный возраст.

Эрозионно-денудационный холмисто-увалистый пологонаклонный рельеф с остатками древней аккумулятивной равнины обладает слагает юго-восточную часть ленинских полигонов района и представляет собой плоскую, слегка всхолмленную равнину, над поверхностью которой возвышаются одиночные (гора Уманка и др.) или групповые (левобережье р.Кинляндака) куполовообразные сопки — остатки древнего рельефа. Эта равнина расчленена крупными реками (Зея, Якодокт, Бол. и Мал.Ванга) и их боковыми притоками на отдельные холмы и ували, вытянутые в субмеридиональном направлении. Абсолютные отметки поверхности слабо наклоненной к юго-западу равнинны равны 450-600 м. Энергия рельефа 80-140 м. Уплощенные водораздельные пространства представляют собой почти ровные замерзшие площадки, постепенно переходящие в широкие долины рек. На водоразделах наблюдается кора выветривания мощностью 2-3 м, а в междуречьях Мал. и Бол.Ванга и Якодокта от размыва сохранились остатки древней аккумулятивной равнины, сложенной рыхлыми отложениями плиоценового низкочетвертичного возраста. Это совершенно плоские маристые площадки с буграми вслучивания высотой до 0,7 м, полигональными почвами с диаметром многоугольника до 2 м, иногда здесь наблюдаются цепочки мелких озер.

Из крупных рек, расчленяющих холмисто-увалистый рельеф, Зея и Якодокт (в приструневой части) переживают в настоящее время период оживления глубинной эрозии, в связи с чем они имеют довольно узкие (80-100 м), глубоко врезанные долины. Не захваченные еще новейшим циклом эрозии системы рек Ванга, Якодокта (виде устья р.Онони) и Зеи отличаются широкими пологосклонными долинами, отсутствием хорошо выработанных террас и медленным течением. Русла их имеют вид желобов и канав, частично заросших кустарником. Косы отсутствуют. По рекам Зея и Якодокту наблюдаются аккумулятивные и поклонные первые (5-10 м), вторые (20-40 м) и третьи (80-120 м) надпойменные террасы.

Холмисто-увалистая равнина предоставляет собой мало измененный в четвертичном периоде древний приподнятый пeneplain, основные черты которого сформированы до накопления отложений соктаханской смыты, т.е. в доплиоценовое время. Сохранившиеся на поверхности равнины сопки-останцы являются элементами более древнего рельефа, существовавшего на месте равнины до ее обра-

зования, вероятно, в палеогеновый период.

На всей территории листа в долинах основных рек наблюдаются низкая и высокая поймы. Лишь пойм лиши самые верхние отрезки горных рек, где преобладает глубинная эрозия, а аккумуляция отсутствует. В разработанных долинах рек Бол. Иракана, Зеи, Купури, Джагары, Якодокита высота эрозионного уступа низкой поймы 1-1,5 м, высокой до 3-5 м. Ширина их 300-1000 м, редко достигает 2,2,5 км (р.Зеи). Поверхность пойм выровнена, неоднократно заболочена. На пойме широко развиты прирусловые валы, старичные понижения, протоки.

Надпойменные террасы сохранились в виде незначительных по площади реликтов. I надпойменная терраса (аккумулятивная), наиболее широко представлена в долинах р.Зеи, Якодокита, Бол. Иракана и их притоков, спорадически встречается по р.Купури. Высота ее равна 5-10 м, ширина - несколько десятков метров, на отдельных участках до 2 км. Поверхность террасы бугристая, слабо наклонена в сторону русла, нередко связана с поймой плавными переходами или отделена от нее уступом высотой 1-3 м.

II надпойменная терраса (эрэзионно-аккумулятивная) высотой 20-40 м наблюдается в долинах рек Зеи, Якодокита, Купури. Она встречается в виде изолированных "обрывков" шириной 200-2000 м и протяженностью до 3 км. Поверхность террасы выровнена, слабо наклонена к руслу и заболочена.

III надпойменная терраса (эрэзионно-аккумулятивная и эрозионная) распространена в виде реликтов (размером 0,5-2 км², в отдельных местах до 25 км²) в долинах рек Зеи и Купури.

Высота террасы 80-120 м. Поверхность ее выровненная, заболочена и слабо наклонена к руслу. Нередко она покрыта буграми эспутчевания размером 0,5 х 1,8 м, иногда встречается болотистые озера термокарстового происхождения размером до 50 х 70 м. В склонах водораздела терраса переходит либо плавно, либо через резкий перегиб в рельфе (р.Купури). В междууречье Зеи и Джагары терраса занимает водораздельные пространства. В большинстве случаев на поверхности террасы сохранились аллювиальные песчано-галечниковые и глинисто-песчаные отложения.

ИСТОРИЯ РАЗВИТИЯ РЕЛЬФА

Имеющиеся материалы позволяют восстановить историю развития рельфа, начиная с конца миоценового времени. К этому времени, по-видимому, значительная часть территории представляла

ла собой пепеллизированную страну, на волнистой поверхности которой выделялись денудационные солки-останцы, сложенные наиболее устойчивыми к выветриванию породами. Реликты пепелла нарабатываются в вто-западной части района, где они покрыты эрозией из-под рыхлых отложений плиоцен-нижнечетвертичного возраста. В конце мицена и начале плиоцена южная часть территории испытала опускание, а северная часть - поднятие (по Тахакандинскому разлому). В опущенной части, представляющей северо-восточную окраину Верхнезейской депрессии, накапливались рыхлые отложения. В северной поднятой части района начало формироваться горное обрамление Верхнезейской депрессии.

В раннечетвертичное время район испытывал поднятие. В это же время происходило глубокое выветривание рыхлых отложений и кристаллических пород (каолинизация). Неоднократные и неравномерные поднятия местности, чередовавшиеся с перидилами стабилизации, продолжались и в более позднее время. Благодаря этому, в долине крупных рек развивались надпойменные террасы высотой 5-10, 20-40 и 80-120 м. Высота террас в различных местах неодинаковая, что обусловлено неравномерными блоковыми движениями. Интенсивное поднятие отдельных блоков в позднечетвертичное время привело к выводу за снеговую линию северо-восточной части плодородной, покрывающейся определением. Последнее носит каровый и горно-долинный характер. К этому времени относится формирование гидростати в современном ее виде. В современную эпоху, она-менявшуюся общим потеплением климата, закончилось оледенение. Район по-прежнему испытывает поднятие, о чем свидетельствует наличие антиподенных участков долин рек, висящих долин у мелких ручьев, преобладание глубинной эрозии над боковой в долинах рек.

ПОЛЕЗНЫЕ ИСКОПАЕМЫЕ

На территории листа №-52-ХI, главным образом работами последних лет, установлены проявления магнетитовых руд, меди, синива, цинка, мышьяка, золота, молибдена, редких земель, слюды и графита, шиховые ореолы рассеяния золота, молибдениита, шеелита, фергусонита, монацита, спектрометаллографические и солевые ореолы рассеяния меди, синива, никеля, золота и молибдена. Практически не ограничены запасы каменных строительных материалов.

Характеризуя степень описанованности площи листа

№-52-ХI в целом, следует отметить, что на всей его плоши было проведено шлиховое и спектропробование аллювия гидросети. На отдельных рудопроявлениях и ореолах рассеяния полезных ископаемых производились поисковые работы в масштабе, схожем с I:50 000 и I:25 000, сопровождавшиеся детальным спектрометаллометрическим опробованием делянок, отбором штрафных и бороздовых проб, проходкой горных выработок для вскрытия рудных тел и зон. В междуручье Джалармы и Унина проведены специализированные поиски масштаба I:25 000 на мусковит и геологосъемочные работы масштаба I:50 000.

МЕТАЛЛИЧЕСКИЕ ИСКОПАЕМЫЕ

ЧЕРНЫЕ МЕТАЛЛЫ

Магнетитовые руды

Магнетитовые руды представлены выщапленными и выщапленно-полосчатыми магнетитовыми, амфибол-магнетитовыми и магнетит-амфиболовыми кварцитами. Они образуют согласные прослои и линзы в породах чимчанской (72, 73, 77, 90, 92, 93, 96, 101, 106, 110, III, I17, I18, I19, I25, I29) и урмской свит (46, 80, 81, 82, 83, 84, 85, 87, 88, 89, 91). Преобладающая мощность рудных прослоев и линз - 0,1-1 м, но в отдельных проявлениях (87, I25) она достигает 2-3 м; протяженность их в большинстве проявлений 100-1000 м, в ряде проявлений (72, 73, II0, III, I17, I18, I19) достигает 2-3 км. Содержание железа в рудах составляет преимущественно 18-40%, а в проявлениях 83, 84, 85, I17 достигает 50%. Прослои и линзы железистых кварцитов на аэромагнитной карте фиксируются четкими положительными значениями ΔT интенсивностью до 2800 гамм.

В качестве наиболее типичного примера приводится описание рудопроявления на левобережье р.Купури, залегающее устье р.Аянсола (I25). Здесь среди биотитовых гнейсов и амфиболитов чимчанской свиты залегает пласт линзовидно-полосчатых магнетитовых кварцитов мощностью 2,2 м. Контакты его с вышедшим породами четкие, согласные. По простиранию пласт прослежен на 40 м. Содержание магнетита в кварцитах составляет 40-60%.

Стратиграфическая приуроченность железистых кварцитов,

вытянутость сложенных или пластов и линз согласно общему простиранию гнейсовых толщ, пересечение их в разрезе с породами чимчанской и урмской свит свидетельствуют о первично-осадочном природе железистых кварцитов.

Выявленные рудопроявления магнетитовых руд практического значения не имеют ввиду не значительных размеров. Перспективность территории на железные руды в целом оценивается отрицательно из-за небольшой мощности и протяженности горизонтов железистых пород, низкого содержания магнетита в рудах, неизменной плоши развития пород урмской и чимчанской свит, отсутствия на плоши развития называемых свит значительных металлических аномалий. Вместе с тем не исключена возможность обнаружения небольших месторождений, но виду труднодоступности района использование их промышленностью будет затруднено.

ЦВЕТНЫЕ МЕТАЛЛЫ

Медь

Проявления меди известны в среднем течении р.Джалармы, на правобережье р.Бол.Иракана в пиритизированных гнейсах и амфиболитах чимчанской свиты (48, 71), на левобережье р.Купури в кварц-сульфидной жиле мощностью 0,15 м (I24), по руч.Уркачи в глыбах пироксен-эпидотовых скарнов (30) и на правобережье руч.Курултыка в глыбах эпидотизированных биотит-ротовообманковых гнейсов урмской свиты (70). Содержание меди в перечисленных проявлениях, по данным спектрального анализа штрафных проб, колеблется от 0,2 до 1%.

В бассейне руч.Курултыка зафиксирован спектрометаллометрический ореол рассеяния меди (69), приуроченный к гидротермально-измененным породам урмской свиты. В пределах ореола рассеяния установлены частые обломки кварца и эпидотизированных пород с налетами маухита и азурита. Содержание меди в спектропробах 0,01-0,1%.

Солевые ореолы рассеяния меди установлены в бассейнах правых притоков р.Джалармы (54), по левому притоку р.Этматы (13), в нижнем течении руч.Чокорто (55), на левобережье р.Зели (103).

Ореолы рассеяния приурочены к участкам грейзенизации (103), к зонам пиритизации (55), рассланцевания и окварцева-

ния (ГЭ, 54) в нижепротерозойских гнейсах, сланцах, раннепротерозойских и раннемеловых гранитоидах. Все они тяготят к эзос- и эндоконтактам массивов раннемеловых (?) гранодиоритов. Содержание меди в донных пробах варьирует от 0,006 до 0,03%.

Свинец

На территории листа установлено 3 мелких проявления свинца и 9 его солевых ореолов рассеяния. Большинство рудопоявление тяготеет к эзос- и эндоконтактам массивов мезозойских интрузий. Рудопроявления свинца приурочены к зонам окварцевания и хлоритизации (мощностью до 6 м) в раннемеловых (?) гранодиоритах на р. Акылдаге (38), к окварцованным и обогреченным раннемеловым (?) гранодиоритам на контакте с дайкой гранит-торфориров по левому притоку р. Макласки (58) и к пегматитовой жиле руч. Чокорто (52). Оруденение представлено рассеянной вкрапленностью галенита. Содержание свинца в рудопроявлениях, по данным спектрального анализа штучных проб, колеблется от 0,01 до 0,06%; иногда (38) присутствуют также цинк (до 0,06%).

Описанные проявления свинца не имеют практического значения.

Солевые ореолы рассеяния свинца расположены в верховьях рек Бол.Иракана (2), Этматы (11), Уркаки (29), Чокорто (51), в бассейне левых притоков рек Макласки и Мужундакану (59), по ручью Сивакану (94), Нельзаку (102), Джалачи (109) и в среднем течении р. Купури (121). Ореолы рассеяния связаны с раннепротерозойскими (94, 102, 109), раннемеловыми (2, 11, 29, 51) и позднемеловыми (59) гранитами. В их пределах установлено многочисленные разломы различных направлений, зоны интенсивного рассланцевания и катаклизма, частые обломки гидротермальноизмененных пород и несколько рудопроявлений свинца (52, 58). Содержание свинца в донных пробах 0,003-0,03%.

Кроме того, по притокам рек Унина (ниже руч. Артыка), Зеи (выше руч. Бол.Амнуса) в шихах встречаются единичные залежи галенита.

Цинк

Проявление цинка в среднем течении р.Джалачи (50) представлено сближенными кварц-сульфидными жилами мощностью 0,1-

на територии листа установлено 3 мелких проявления свинца и

ниль тяготеет к эзос- и эндоконтактам массивов мезозойских интрузий. Рудопроявления свинца приурочены к зонам окварцевания и хлоритизации (мощностью до 6 м) в раннемеловых (?) гранодиоритах на р. Акылдаге (38), к окварцованным и обогреченным раннемеловым (?) гранодиоритам на контакте с дайкой гранит-торфориров по левому притоку р. Макласки (58) и к пегматитовой жиле руч. Чокорто (52). Оруденение представлено рассеянной вкрапленностью галенита. Содержание свинца в рудопроявлениях, по данным спектрального анализа штучных проб, колеблется от 0,01 до 0,06%;

описанные проявления свинца не имеют практического значения.

Солевые ореолы рассеяния свинца расположены в верховьях рек Бол.Иракана (2), Этматы (11), Уркаки (29), Чокорто (51), в бассейне левых притоков рек Макласки и Мужундакану (59), по ручью Сивакану (94), Нельзаку (102), Джалачи (109) и в среднем течении р. Купури (121). Ореолы рассеяния связаны с раннепротерозойскими (94, 102, 109), раннемеловыми (2, 11, 29, 51) и позднемеловыми (59) гранитами. В их пределах установлено многочисленные разломы различных направлений, зоны интенсивного рассланцевания и катаклизма, частые обломки гидротермальноизмененных пород и несколько рудопроявлений свинца (52, 58). Содержание свинца в донных пробах 0,003-0,03%.

Кроме того, по притокам рек Унина (ниже руч. Артыка), Зеи (выше руч. Бол.Амнуса) в шихах встречаются единичные залежи галенита.

Цинк

Проявление цинка в среднем течении р.Джалачи (50) представлено сближенными кварц-сульфидными жилами мощностью 0,1-

0,35 м в раннемеловых (?) гранодиоритах, содержащими гнейзовую вкрапленность сфalerита и молибденита. Спектральным анализом штучных проб установлено наличие в них 0,06% цинка, 0,03% свинца и 0,001% молибдена. Проявление не представляет практического интереса.

Никель

В среднем течении руч. Курчулдяка выявлен спектрометаллоритический ореол рассеяния никеля (44), приуроченный к выходам мелких (внешнешибочных) тел серпентинизированных приконтактов раннепротерозойского возраста. Спектральный анализ штучной пробы пироксенитов показал присутствие в них до 0,1% никеля. Содержание никеля в металлометрических пробах 0,02-0,1%. Возможным источником никеля является изоморфная примесь его в силикатных минералах.

Марганец

На правобережье р.Итымы, среди биотитовых гнейсов чимчансской свиты встречены обломки мусковит-кварц-полевошпатовых пород с вкрапленностью арсенопирита (1), содержание до 1% марганца (спектральный анализа).

Благородные металлы

Золото

С середины прошлого века, со времени установления Н.П.Аносовым (1858Ф) золотоносности рыхлых отложений рек Купури и Кильянджака, описываемая территория считается перспективной на золото. В районе до настоящего времени занимались лишь поисками россыпных месторождений золота. Известно лишь одно коренное проявление золота на левобережье Купури (123). Здесь, в пирит-цирконовых микродиоритах мелового возраста, гнейсах и кварцитах Э.Э.Ангертом (1919) установлено золото в количестве 4-12 кг/т на 100 пудов. Пробный анализ повторно отобранных нами штучных проб из этих же пород показал лишь следы золота. Отрицательные результаты повторного опробования связаны, по-видимому, с

Неравномерным содержанием металла в проявлениях, требующих для ревизии специального комплекса опробовательских работ.

Россыпные месторождения золота на территории листа не известны. Однако имеется указание, что Н.П.Аносовым в долине р.Кинильдака открыта болотая россыпь с высокими (каким, точно не указано) содержанием золота (Боручев, 1934). Об этом открытии сложены легенды, такие, как "Аносовский сундук", "Аносовский клад". В связи с этим район посещался старейшими и поисковыми партиями золотопромышленных компаний. Нами встречены линии разведочных выработок 1889 г. Но материалы по этим работам не сохранились. А.Саягин (1937ф), проверив сведения о золотоносности буровыми работами и шурфами, пришел к выводу о слабой золотоносности аллювия р.Кинильдака. Им лишь в двух разрозненных скважинах из пяти, а также в 10 шурфах зафиксировано золото в количестве 350 мг/м³ песков.

При картировании листа в масштабе 1:200 000 выявлены четыре ореола рассеяния золота – три шлиховых (99, 104, 107) и один (75) спектрометаллометрический.

Ореол рассеяния, расположенный в бассейне р.Мал.Ванги (99), приурочен к полю развития золотоносных рыхлых отложений нижнесоктаканскої подсвиты, которые в настоящее время сохранились от размыва лишь на водоразделах. В руслоных отложениях р.Мал. Ванги повсеместно присутствуют единичные (1–5) знаки золота. Долина р.Мал.Ванти широкая (до 1 км), со значительной площадью рыхлых пойменных отложений. При разыске золотоносных отложений нижнесоктаканскої подсвиты в таком благоприятной геоморфологической и геологической обстановке вполне могли образоваться промышленные россыпи, для поисков которых рекомендуется этот участок долины реки.

Шлиховой ореол рассеяния золота в среднем течении руч.Лож-шака (104) пространственно приурочен к полю развития ранненемеловых (?) гранодиоритов, прорванных жилами пиритизированных поздненемеловых гранитов. Золото присутствует в руслоных отложениях в виде слабо окатанных краякообразных единичных (1–2) зерен размером 0,1–0,4 мм. Коренным источником золота, скорее всего, являются пиритизированные граниты, пробиранным анализом в которых обнаружены следы золота.

Шлиховой ореол рассеяния среднего течения р.Карчелака (107) расположен несколько южнее Таксакандинской ослабленной зоны, вдоль которой метаморфические и интрузионные образования интенсивно рассланцованны и катаклизированы. Золото в руслоных

отложениях содержится в зонах. В одном из пяти шурfov, проходимых в пределах ореола рассеяния, золото содержится в количествах в пределах ореола рассеяния, золото содержится в количестве 418 мг/м³ песков (Толстых, 1940ф). Для р.Карчелака в пределах ореола характерна разработанная долина с широкой (до 400 м) поймой. Источником золота являются, по-видимому, гидротермальные его проявления в рассланцованных и катаклизированных породах. Благоприятные геоморфологические и геологические предпосылки позволяют рекомендовать этот участок долины для поисков поименных россыпей.

В аллювиальных рек Купури, Джагармы, Унина, Ягодокита, Онони, Бол.Иракана и некоторых их притоков, а также в плиоцен-нижнечетвертичных, ниже-среднечетвертичных отложениях встречаются единичные знаки золота. Золото в шлихах желтого цвета, пластинчатые окатаны, размер их 0,01–0,5 мм, редко до 0,7 х 1 мм.

Спектрометаллометрический ореол рассеяния золота на правобережье р.Зеи (75) приурочен к полю развития ранненемеловых (?) кварцевых диоритов, прорванных мелкими телами поздненемеловых гранитов и гранит-порфиров и лавками гранит-порфиров, диоритов, тавро-диоритов. Содержание золота в спектропробах 0,03–0,04%.

Возможным источником золота могут быть пиритизированные породы, развитые на контакте поздненемеловых гранитов и гранит-порфиров и лавок с вышеходящими породами.

Р е д к и е м е т а л лы

Волгоград

Шлиховым опробованием гидросети оконтурен ореол рассеяния

шебелита на площади 20 км² в среднем течении р.Мал.Джарыскина (15). Он приурочен к тектоническому контакту ранненемеловых (?) гранодиоритов и мраморов чимчанской свиты, где широко развиты катаклизированные и гидротермально-измененные породы. Содержание шебелита в шлихах варьирует от 10 до 50 зерен на 0,01 м³ породы. Источником шебелита является, вероятно, kontaktово-тиллитермальные проявления в мраморах.

Единичные знаки (до 25 зерен) шебелита присутствуют в разрозненных шлихах почти на всей территории листа. Наибольшее количество шлихов с шебелитом установлено в полях распространения ранненемеловых гранитоморф, в которых шебелит присутствует, по-видимому, в качестве акцессорного минерала.

Молибден

На территории листа известно 25 рудопроявлений, 2 шлиховых и 10 спектрометрических ореолов рассеяния молибдена. Большинство рудопроявлений расположено в эзако- и эндоконтактах массивов мезозойских интрузий. Вкрапленность молибденита в кварцевых жилах зафиксирована среди позднемеловых гранитов на р.Бол.Иракане (37, 40), в Междуречье Бол.Иракана и Акильяка (39, 41, 42), Макаски и Унина (60), среди раннемеловых (?) гранодиоритов в верховых рек Джагары (26, 27), Инагли (86), вблизи устья руч.Ангса (78), в раннемеловых гранитах на р.Бол.Иракане (68). Несколько кварцевых жил с молибденитом установлено в нижнепротерозойских образованиях по ручьям Уркачи (31), 2-й Ложак (116) и по рекам Зея (79, ниже р.Джагара), Купури (114, 126), Онои (97, 98). Мощность кварцевых жил колеблется от 0,1 до 0,6 м, реже достигает 1,25 м (126). Протяженность их не превышает 40-50 м.

Наиболее изучена молибденовая минерализация в кварцевых жилах в междуречье Бол.Иракана и Акильяка (42). Рудопроявление представлено жилами северо-восточного простирания среди позднемеловых лейкократовых гранитов. Азимут падения жил 320-325° под углом 40-45°. Мощность жил 0,2-1,0 м. По простиранию две жили прослежены на 40 и 50 м. Жили имеют зональное строение: центральная их часть сложена голубовато-серым беккинированным кватцем, а залыбанды — молочно-белой массивной разновидностью. Неравномерная окраинность чешуек молибдениита приурочена к центральной части и залыбандам жил. Кроме молибдениита, в кварцевых жилах наблюдается белная окраинность гапенита, сфалерита, пирита, барита. Окологильные изменения во вкраплениях гранитах выражены в окварцевании и грейзенизации. В грейзенах присутствуют галенит и флюорит. В бороздовых пробах из кварцевой жилы содержится 0,01-0,08% молибдена (химический анализ). Спектральным анализом установлено олово (0,001-0,07%), и вольфрам (до 0,06%). Кроме гидротермальной молибденовой минерализации в кварцевых жилах известны рудопроявления молибдена, приуроченные к склеритированным мраморам на контакте мраморов и раннемеловых гранодиоритов (9), к участкам пиритизации в раннемеловых гранодиоритах (24), в позднемеловых гранит-порфирах (28), в гнейсах чимчанскои свиты (49), к окварцованным раннемеловым (?) гранодиоритам (25). В этих проявлениях молибденовая минерализация носит гнейзовий характер. Содержание молибдена в штуфных пробах составляет 0,02-0,1% (спектральный анализ). Совместно с ним присутствует свинец в количестве 0,03%, цинк - 0,01-0,06%. Известные проявления молибдена не имеют практического значения.

Спектрометрические (4, 12, 16, 32, 36, 43, 47, 100, 115, 122) и шлиховые (14, 23) ореолы рассеяния молибдена приурочены к интрузиям раннемеловых гранитоидов (4, 12, 23, 36, 43), к эндо- и эзакоонтактам этих интрузий с метаморфическими образованиями протерозоя (14, 16, 47, 100) и к зонам окварцевания, пиритизации в гнейсах и сланцах дигидалинской свиты (32, 115, 122). В пределах некоторых ореолов (12, 23, 115) известны рудопроявления молибдена (24, 25, 26, 27, 28, 31, 114, 116). Содержание молибдена в донных пробах 0,0005-0,006%. По всей территории в единичных шлихах присутствует молибденит в количестве 1-15 зерен на 0,01 м³ аллювия.

Лантан и ниобий

На правобережье р.Бол.Иракане шлиховым опробованием выявлен ореол рассеяния фергусонита (45) в поле развития раннемеловых лейкократовых гранитов. Содержание фергусонита в шлихах колеблется от 1 до 50 зерен на 0,01 м³ аллювия. Образование ореола рассеяния связано с разрывом лейкократовых гранитов, в которых фергусонит присутствует в качестве акессорного минерала.

Редкие земли

Коренные проявления редких земель расположены в бассейне р.Итикли (3, 10), в среднем течении рек Джагары (17, 18, 22) и Макаски (62). Проявление 3, 10, 17, 62 приурочено к метаморфизованным биотит-графитовым и лавуслюдянским гнейсам чимчанской свиты, содержащим последние и линзовидные жили биотитовых плагигранитов и пегматитов. Редкие земли связаны с радиоактивным цирконом (3, 10), монацитом (17), бурым метамиктым позитоподобным минералом (18). По данным спектрального анализа штуфных проб, в вышеупомянутых проявлениях содержание церия колеблется в пределах 0,2-0,5%, лантана 0,2-0,5%, циркония 1%, тория 0,07-0,2%, фосфора более 1%.

Проявление 22 представлено жилой кварц-полевошпатовых метасоматитов мощностью 0,2–0,3 м в биотитовых плагигранитах.

В метасоматитах присутствуют орбит, циркон, цимзитолобий иллериат, алатит, рутил, ильменит. Породы содержат циркония 5%, ланана 1%, церия и тория по 0,3%, фосфора более 1%.

Шлиховые ореолы рассеяния монацита приурочены к полям развики раннепротерозойских двуслюдянных гранитов (76). Содержание монацита в шлихах от единичных зерен до 100 г/м³ (породы). Ореолы рассеяния связаны с разрывом раннепротерозойских и раннемеловых гнейсов, гнейсов, сланцев чимчанской свиты, в которых монацит присутствует в качестве аксессорного минерала. Редкие знаки монацита встречаются в разрозненных шлихах и в северной части территории.

Ртуть

Редкие единичные знаки киновари встречаются в шлихах по левым притокам р. Кильянджака, которые тяготеют к разлому северо-восточного простирания.

НЕМЕТАЛЛИЧЕСКИЕ ИСКОПАЕМЫЕ

Силикаты

Слюда-мусковит

Проявления южковита на описываемой территории открыты при геологическом картировании масштаба 1:200 000 (Дыренко, 1962Ф, 1963Ф; Карсаков, 1964Ф, 1965Ф). Они группируются в две полосы, в целом совпадающие с полями распространения биотитовых и двуслюдянных гнейсов и сланцев чимчанской свиты в северной (6, 7, 8, 19, 20, 33, 34, 21, 56, 57, 61, 63, 64, 65, 66, 67) и южной (95, 108, 112, 120, 127) частях района. Северная полоса развития южковитовых проявлений приурочена к ослабленной тектонической зоне северо-западного простирания, контролирующей размещение массивов двуслюдянных гранитов таксаканлинского комплекса. К югу от этой зона прослеживается за пределы района работ (Карсаков и др., 1966Ф; Моткин, 1962Ф). В пределах северной полосы установлены два петматитовых поля (в бассейне

р. Джалди и в междууречье Джагармы и Унина), интенсивно насыщенные слюдиноносными петматитами. В северо-западной части второго петматитового поля в 1963–1965 гг. Т.Н.Новохатько (1964Ф) и А.А.Сосниным (1966Ф) проведены специализированные поиски масштаба 1:25 000 и частично масштаба 1:10 000. На правобережье р. Малласки это поле изучено Д.Г.Руденко (1966Ф) при проведении геотолкостемочных работ масштаба 1:50 000. Далее на восток опи-сываемое петматитовое поле продолжается на правобережье р. Ку-пури (Карсаков и др., 1966Ф). Это петматитовое поле простирается к периклинальному окончанию Талаканской антиклинали. Вмещающими породами для мусковитовых петматитов являются нижнепротерозойские гнейсы и сланцы чимчанской, реже джидалинской свит. Часть жил локализована в эндоконтактах массива двуслюдянных гранитов. По характеру залегания петматитовые жилы секущие, реже согласные, как правило, кругопадающие. Строение их однородное или зональное. В последнем случае зальбаны жил сложены пятнистые, серогранитные, а центральная часть – блоковым петматитом. Иногда отмечается обратное расположение зон. Ослаждение приурочено как к зальбандам, так и к центральным частям жил. Мощность слюдиноносных жил колеблется от 0,3 до 20 м, протяженность от 5 до 135 м и более. Всего Г.Н.Новохатько и А.А.Сосниным, в изученной ими части петматитового поля, обнаружено до 270 петматитовых жил.

Наиболее крупные из них на левобережье р. Джагармы (33, 34) имеют длину от 5 до 135 м, мощность 0,3–5 м. Ослаждение приурочено к крупнотабличному петматиту в центральной части жил. Максимальные размеры мусковита 18 × 20 см, преобладают пластины размером 4 × 5 см. Содержание забойного сырья 0,17–41,62 кг/м³.

В пяти петматитовых жилах на правобережье среднего течения р. Малласки (56, 57, 61) ослаждение чаще приурочено к блоковым петматитам в зальбандах жил. Мощность жил 0,5–5 м, редко до 20 м, протяженность 5–50 м, реже 130 м. Максимальный размер южковита 20 см², преобладающий – 10–15 см². Содержание слюды в ослажденелой части 3–7%, редко до 15%. Мощность ослажденелой части до 2 м.

А.А.Соснин (1966Ф) привел к выводу о бесперспективности междууречья Джагармы и Малласки из-за низкого содержания слюды. Но этот опыт показов был первым в районе, небольшим по объему. В связи с этим результаты этих поисков не могут быть основой для отрицательной оценки района в целом на южковит. Так, Д.Г.Руденко (1966Ф), изучая слюдиноносные петматиты восточнее

р. Махласки, рекомендует площадь между речью Махласки и Унина в качестве объекта для дальнейшего изучения.

Петматитовое поле в бассейне р. Итымы изучено слабо.

Секущие жилы петматитов мощностью 0,3-0,6 м, залегают в гранат-биотитовых, биотит-транатовых гнейсах чимчанской свиты. Ослаждение приурочено к центральным и боковым частям жил. Максимальные размеры мусковита 3 x 5 x 0,7 см.

Вторая полоса развития мусковитовых проявлений, расположенная в южной части территории (реки Онни, Зея, Кулупури и др.), по масштабам ослаждения, мощности петматитовых жил и размерам кристаллов мусковита уступает проявлениям мусковита на севере площади. Мусковитовые жилы в этой полосе приурочены к эндо- и эзоконтактам Тахсакандинского массива двуслюдянских гранитов. В локализации петматитовых жил большое значение имеют периклинальные залежания Карачаевской и Змеевьячинской антиклинали. На водоразделе р. Кулупури и руч. Карапанд (120) и в бассейне руч. Нимчана (127) известны шесть петматитовых жил мощностью 0,15-3 м. Жилы согласные и секущие, залегают в биотитовых и двуслюдяных гнейсах чимчанской свиты. Величина пластин мусковита достигает 2 x 3 x 4 см. Содержание мусковита 10%, редко до 20%.

На правобережье р. Зеи (108) петматитовая жила мощностью 2,2 м залегает в двуслюдянных гранитах. Зальбанды жилы сложены мелкозернистым, а центральная часть блоковым петматитом. Ослаждение приурочено к центральной части жилы. Максимальные размеры кристаллов мусковита 2,5 x 3 x 3 см.

Значительные мощности петматитовых полей, кондиционные размеры кристаллов мусковита позволяют рекомендовать две полосы петматитов (в пределах неизученных ранее частей) для постановки поисковых работ.

Слюдно-флогопит

Известные в районе проявления флогопита связанны с известняками диопсид-флогопитовыми мраморами на водоразделе рек Джалгары и Махласки (35) и флогопит-диопсидовыми породами (113, р. Кулупури), залегающими в виде прослоев и линз мощностью до 0,6 м среди пород лжиталинской (35) и чимчанской (113) свит. Кристаллы флогопита размером до 5 x 4 x 3 см образуют гнейза

(0,3-0,4 м) с содержанием до 40% слюды.

Несиликаты

Трафит

На правобережье р. Зеи (5), выше устья р. Итымы, среди биотитовых, двуслюдянных гнейсов и сланцев чимчанской свиты встречаются пачки биотит-графитовых гнейсов мощностью 25-50 м с содержанием мелкочешуйчатого графита в среднем 10-15%. Аналогичные граffitiстые гнейсы с меньшим (3-5%) содержанием графита широко распространены в бассейнах рек Итымы, Джалгары среди пород чимчанской свиты.

Строительные материалы

Специальное изучение строительных материалов в районе не производилось. В качестве бутового камня в строительном и дорожном деле могут быть использованы различные гранитоиды, эфузивные и метаморфические породы.

К облицовочному материалу могут быть, по-видимому, отнесены раннекрововые (?) гранодиориты и раннепротерозойские двуслюдянные граниты, из которых возможно получение моноблоков размером до 1,5 x 3,0 м.

Для дорожного строительства и в качестве инертного материала в бетоне могут использоваться гальванические и пески аллювия русел, пойм и надпойменной террасы, разлитые в долинах большинства более или менее крупных рек района, исключая узкий морганный участок долины р. Кулупури.

Возможность использования карбонатных пород в строительном деле и для получения извести не ясны из-за их трещиноватости и минерализованности. Для определения качества карбонатных пород и пригодности их для тех или иных строительных целей необходимо проведение специальных работ.

Запасы строительных материалов практически не ограничены. Ввиду несвоевременности и труднодоступности района, в настоящее время они не имеют практического значения.

ОБЩАЯ ОЦЕНКА ПЕРСПЕКТИВ РАЙОНА И
РЕКОМЕНДАЦИИ

Все известные в районе полезные ископаемые сформировались в течение трех металлогенических эпох: протерозойской, мезо-зойской и кайнозойской, соответствующих по времени трем крупным этапам геологического развития района.

С протерозайской металлогенической эпохи связано формирование проявлений железа, золота, редких земель, мусковита, флюита и графита. Мезозойской эпохе присущи рудообразования молибдена, сурьмы, цинка, мышьяка, золота, меди. В кайнозойскую металлогенную эпоху происходило разрушение коренных рудопроявлений вышеуказанных полезных ископаемых и образование россыпей золота, монацита и, возможно, феругонаита.

Территория листа перспективна на россыпное и рудное золото, о чем свидетельствуют следующие благоприятные геологические и геоморфологические предпосылки:

- а) наличие зон диафтореза, сопровождающих крупные древние разломы (Таксакандинский, Унин-Купуринский). За пределами площади в пиритизированных диафторитах и диафторированных породах известен ряд проявлений коренного золота (Казин, 1963; Глуховский, 1962). Д.С. Коржинский (1939) золотоносность Становой провинции вообще связывает с диафторитами. Исследования В.Н. Момкина (1962ф) и наши работы показали, что особенно благоприятны для локализации золоторудных узлов места пересечения древними зонами разломов пород основного состава. Диафториты, таким образом, могут служить одним из источников формирования россыпей;
- б) широкое распространение кварц-слюдильных жил и широких зон пиритизации (чаще связанных с гидротермальной фазой мезозойских интрузий) перспективны для выявления месторождений золота типа месторождения Колчеданский Угас, расположенного на соседней площади (лист № 52-ХII);
- в) наличие протяженных дайковых полей мелового возраста. С пиритизированными дайковыми породами среднего и кислого состава как на площади листа, так и за ее пределами (Карсаков и др., 1966ф; Сушкин, 1947ф и др.), связаны проявления золота. Эти проявления могут быть одним из источников формирования россыпей золота;
- г) большая часть района является областью слабых поднятий, т.е. областью довольно древнего рельефа с плохо проявлен-

ной молодой эрозией. Сохранились аллювиальные отложения ранне-среднечетвертичного возраста, с которыми могут быть связаны россыпи золота. Золотоносность этих отложений установлена при проведении геологической съемки и поисков масштаба 1:200 000;

д) широкие яйцеобразные и U -образные долины крупных рек с большой площадью распространения аллювия, что способствует сохранению россыпей.

Более конкретно для постановки поисковых работ на россыпное золото выделяются следующие участки, с геоморфологических позиций благоприятные для сохранности и формирования возможных россыпей.

В качестве первоочередных для поисков пойменных современных россыпей представляют интерес долины рек Мал. Ванги, Нарчелага, Логтака с выделенными шлихами ореолами рассеяния золота и с благоприятной геологической и геоморфологической (разработанные долины с широким развитием аллювия) обстановкой.

Во вторую очередь рекомендуются поиски россыпей золота в долинах рек Зеи, Джалагрии, Якодорита, Онами (ниже пересечения ими древних Унин-Купуринской и Таксакандинской зон разломов), аллювий которых несет знаковую золотоносность. Знаковая золотоносность наблюдается и по р. Бол. Иракану, близи устья р. Акы-дяка. Долины названных рек разработаны и характеризуются широким развитием аллювиальных отложений. Слабое проявление молодых эрозионных процессов не способствует выносу золота в современный руслоевой и косый аллювий, поэтому содержание металла в последнем не характеризует степень золотоносности долины в целом. В этих условиях знаковые содержания золота в русловом аллювии приобретают важное покрововое значение.

Для постановки поисково-рекогносцировочных работ на россыпное золото рекомендуются площади развития золотоносных нижне-средне четвертичных отложений на левобережье р. Зеи (ниже устья р. Купури), где возможно обнаружение древних россыпей, аналогичных известным в западной окраине Верхне-Зеиской депрессии ("Поляна", "Пичугинская Гора" и др.).

Для поисков рудного золота рекомендуется площадь стеклорудометаллического ореола золота в бассейне р. Бол. Амнуса (75). Здесь можно ожидать месторождение золота эпитеческого типа.

Наличие проявлений мусковита, обширных по площади слюдиноносных пегматитовых полей позволяет положительно оценивать перспективы района на мусковит. По аналогии со слюдоносными провинциями Кольского полуострова и Мамского района геологиче-

ская обстановка в рассматриваемом районе весьма благоприятна для обнаружения промышленных месторождений слюда. К наиболее важным геологическим факторам, влияющим на размещение и формирование слюдоносных пегматитов на территории листа, относятся (Великославинский, Казаков, Соколов, 1963; Шуркин, Горлов и др., 1962): 1) наличие высокоглиноzemистых метаморфических пород (литологический фактор); 2) принадлежность метаморфических пород к амфиболитовой фации, регressiveная стадия которой, благодаря высокой концентрации летучих, способствует перекристаллизации пегматитов и гидротермальному развитию полевых шпатов (метаморфический фактор); 3) широкое развитие складок различных порядков, флексуобразных изгибов шарниров мелких сдвигов, благоприятных для кустового размещения мусковитоносных пегматитовых жил (текtonический фактор); 4) приуроченность значительной части слюдоносных жил к эзод- и экзоконтактам массивов двуслюдянных гранитов и текстурническим разрывам, контролирующим размещение массивов двуслюдянных гранитов (магматический фактор).

Учитывая геологические факторы, благоприятные для формирования промышленных месторождений мусковита, а также многочисленные проявления слюда-мусковита, выявленные в процессе картирования, северная и южная полосы локализации слюдоносных пегматитов (за исключением междууречья Джалгары и Майдаски) рекомендуются для постановки геологосъемочных работ масштаба 1:50 000. В пределах этих полос для постановки более детальных поисковых работ в качестве первоочередных рекомендуются площади междууречья Майдаски и Унина и бассейн р.Итамди. При поисковых результатах в этих районах поиски могут быть распространены на площади междууречий Каравдам - Кутури - Карчедак и Аянсол - Нимчан.

Проявления редких земель приурочены к выходам гнейсов и сланцев чимчанской свиты в северной половине территории листа. Перспективный тип редкоизвестной минерализации в мигматизированных гнейсах и сланцах, высокие содержания редких земель позволяют считать северную полосу развития пород чимчанской свиты перспективной на редкие земли и рекомендовать ее для проведения поисково-рекогносцировочных работ.

В первую очередь обследование подлежат проявления редких земель по р.Джалгаре. При проходении поисково-рекогносцировочных работ следует выяснить также возможность накопления редкоzemельных минералов в россыпях по р.Джалгаре, ее притоков и р.Итамди. Большинство проявлений и ореолов рассеяния молибдена

сконцентрировано в северо-восточной части площади и вблизи устья р.Акияляка, где наблюдается наибольшая насыщенность крупными и мелкими телами ранне- и позднемеловых интрузий. Изученные проявления относятся к гидротермальным. Хотя сами по себе эти проявления не представляют практического интереса, но широкое развитие молибденоносных ранне- и позднемеловых интрузий, многочисленные ореолы рассеяния молибдена позволяют положительно оценивать перспективы района на молибден. В связи с этим рекомендуется постановка поисковых работ масштаба 1:50 000 в верховых рек Джалгары, Этматы и притоков этой части р.Акияляка, где широким и спектрометаллометрическим опробованием выявлены ореолы рассеяния (12, 23, 32, 43) и известны многочисленные проявления молибдена. Здесь можно ожидать обнаружениярудопроявлений и месторождений кварц-молибденитовой формации.

Северо-восточная часть площади положительно оценивается на полиметаллы в связи с благоприятной геологической обстановкой, сходной с таковой полиметаллического месторождения Сфалеритовое и проявленияй в бассейне р.Сивактыляка, расположенных в непосредственной близости от северной границы рассматривающей территории (листы № 52-У и № 52-У1; Суников, 1951Ф). Здесь широко распространены карбонатные породы, гипабиссальные интрузии гранитоидов, установлены спектрометаллометрические ореолы рассеяния ирудопроявления сцинка и цинка, что позволяет предполагать в этом районе наличие интересных рудопроявлений и месторождений полиметаллов в скарнах.

Проявления и ореолы рассеяния меди, никеля, мышьяка, ртути, тантала, ниобия, вольфрама немногочисленны. Перспективы открытия их месторождений на территории листа не ясны. Но при проведении поисково-съемочных работ на мусковит, золото, молибден, по-видимому, следует пронести ореолы рассеяния шеелита (р.Мал.Джалгары) и фергусонита (р.Бол.Иракан) на возможность обнаружения в их пределах шеелитоносного скарнового месторождения и россыпи фергусонита.

ПОДЗЕМНЫЕ ВОДЫ

Гидрогеологические условия района характеризуются различием пластово-поровых и трещинных вод, режим которых определяется, главным образом, многолетней мерзлотой. По условиям застывания подземные воды подразделяются на мерзлотные и под-

мерзлотные. Надмерзлотные воды и минеральные источники в районе не известны.

Надмерзлотные пластово-поровые воды широко распространены в пределах деятельного слоя четвертичных аллювиальных и элювиально-делювиальных образований и рыхлых плюсн-нижнечетвертичных отложений нижнесоктаканской подсвиты. Мощность деятельного слоя (судя по канавам) составляет 2,5-3 м на южных склонах, на северных - 0,5-1 м, а в заболоченных долинах и на маргinalных склонах водоразделов не превышает 0,5 м. Наиболее мощным (5-6 м) является деятельный слой в аллювии крупных рек (Зея, Кутури, Бол.Иракан и др.). Водупором для надмерзлотных вод являются многолетнемерзлые и плотные коренные породы. Выходы надмерзлотных вод с лебитом 0,05-0,5 л/сек из аллювимальных отложений приурочены к уступам высокой поймы и надпойменных террас. Вода прозрачная, без запаха и вкуса, с незначительной примесью органических соединений, очень мягкая (жесткость равна 0,18 мг-экв/л), по солевому составу гидрокарбонатная кальциево-магниевая. Выходы надмерзлотных вод из земельно-делювиальных образований приурочены к пологим склонам долин рек, сопок бизонгорья и среднегорья. На плоских водоразделах, пологих склонах, где сток замедлен, эти воды способствуют заболачиванию местности. Лебит источников этих вод 0,15-1 л/сек. Вода прозрачная, без запаха и вкуса, холода (6-18°), рН = 5,2-5,8; по солевому составу гидрокарбонатная кальциево-магниевая.

Надмерзлотные воды рыхлых отложений соктаканской свиты с лебитом до 0,05 л/сек наблюдались в верховых мелких притоков Мал. Ванги, Янодокта, а также вскрывались каналами в междугорье Бол. и Мал. Ванги. Вода прозрачная, пресная, без запаха, температура ее не превышает 3-5°.

Родники, дренирующие трещинные надмерзлотные воды кристаллических пород, наблюдались в береговых обрывах рек Зея, Кутури, Унина, Бол.Иракана. Лебит их колеблется от 0,05 до 0,5 л/сек. Вода прозрачная, без запаха и вкуса, очень мягкая (жесткость 0,15-0,20 мг-экв/л), по солевому составу гидрокарбонатная кальциево-магниевая или гидрокарбонатная кальциево-магниево-натриевая. Режим и водообильность надмерзлотных вод зависит от степени сезонного промерзания и оттаяния грунтов, от количества выпадающих атмосферных осадков. В питании надмерзлотных вод аллювийных отложений русел и пойм и трещинных вод, кроме того, существенное значение играет инфильтрация соответствующими речными и пластово-поровыми водами на глубину. В

засушливые периоды большинство источников надмерзлотных вод пересыхает, а зимой промерзает.

Выходы трещинных подмерзлотных вод встречаются в бортах долин рек Зеи, Джатары и Итымыдь, Бол. и Мал.Джарскина, Киндиндака, Бол.Иракана. В большинстве случаев они приурочены к руслам рек и ручьев, образуя в зимнее время наледи. Подмерзлотные воды дренируются вдоль крупных тектонических разрывов и зон катаклаза, подтверждением чего служат обширные наледи вязи и их выхода, а также круглогодовой сток рек Зеи, Кутури. Лебит родников составляет 5-10 л/сек. Воды эти прозрачные, без запаха и вкуса, мягкие (жесткость 0,23 мг-экв/л, рН = 5,8), по составу гидрокарбонатные магниево-кальциевые.

Район в летнее время может быть полностью обеспечен водой для бытовых и технических нужд за счет поверхностных вод. Для выяснения возможности обеспечения района водой зимой за счет подземных вод необходима постановка специальных гидрогеологических работ.

Л И Т Е Р А Т У Р А

О ПУБЛИКАЦИЯ

Альбов Ю.А., Мощкин В.Н. Основные черты мезозойского интрузивного магматизма восточной части Станового хребта. Информ. сб. № 17, ВСЕГЕИ, 1959.

Анерт Э.Э. Маршрутное геологическое исследование в средней части бассейна верхнего течения р.Зеи. Геологические исследования в золотоносных областях Сибири. Амурско-Приморский золотоносный район, вып. ХI, 1915.

Анерт Э.Э. Очерк золотоносности районов России. Библиотека ДВГУ, 1919.

Великолазинский Д.А., Казаков А.Н., Соколов Ю.М. Мамский комплекс Северо-Байкальского нагорья. Тр. Лаборатории геологии АН СССР, вып. 17, 1963.

Гимельбарб Г.Б., Белоножко Л.Б., Заборский Ю.В. Геологическая карта СССР масштаба 1:200 000, серия Становая, лист № 52-У1. Объяснительная записка. 1963.

Л о в а М.Д. и др. Последовательность геологических процессов в яхом обрамлении Алданского шита и геохронологические данные. В сб. "Абсолютный возраст докембрийских пород СССР". 1965.

Г л у х о в с к и й М.З. К вопросу о золотоносности Станового зона. Тр. ВАГИ, вып. 8. Госгеотехиздат, 1962.

Д з е р а н о в с к и й Ю.К. Джулуру-Становая складчатая область. В кн.: "Геологическое строение СССР", т. III. Госгеотехиздат, 1958.

Д з е р а н о в с к и й Ю.К. Геология западной окраины Станового хребта. Бюл. ВСЕГЕИ № 1, 1959.

Докембрий Алданского шита и хребта Станового. Сб. докладов сов. геол. к XXI сессии МГК, пробл. IV. Стратиграфия и корреляция докембрия. Изд. АН СССР, 1960.

К а з м и н ю Б., Ф е д о р о в с к и й В.С., Н а й-Д е н к о в Ю.Ф. Геологическая карта СССР масштаба 1:20 000, серия Становая, лист № 52-IV. Объяснительная записка. 1963.

К а п. А.Г. Геологическая карта СССР масштаба 1:200 000, серия Становая, лист № 52-I. Объяснительная записка. 1963.

К о р ж и н с к и й Д.С. Пересечение Станового хребта по Амуро-Якутской магистрали и его геологические комплексы. Тр. ЦНИГРИ, вып. 41, 1955.

К о р ж и н с к и й Д.С. Докембрий Алданского шита и хребта Станового. В кн.: "Стратиграфия СССР", т. I. Изд. АН СССР, 1959.

К р а с н и й Л.И. Геология и полезные ископаемые западного Прихоть. Тр. ВСЕГЕИ, т. 34. 1960.

К р а с н и й Л.И. Органы и меловые гранитомиды в хребтах Становом, Джулуру, Прибрежном и вопросы математизма янескладчатых областей. Изв. вестн. учебн. заведений, отд. "Геология и разработка", № 3, 1960.

К р а с н и й Л.И., К и р и к о в Д.А., М о ш - К и н В.Н., Н а г и б и н а М.С., С е й И.И. Государственная геологическая карта СССР масштаба 1:1 000 000, лист № 52 (Зен). Объяснительная записка. 1960.

Л ю ш а к Н.П. Геологическая карта СССР масштаба 1:200 000, серия Становая, лист № 52-X. Объяснительная записка. 1963.

М е л ь н и к о в М.П. Описание Якутской экспедиции (1851 г.) покойного инженера Н.Г. Мегличкого, составленное по

его отчетам, письмикам и коллекциям. "Горный Журнал", № 7-8, 1853.

Н а г и б и н а М.С., Б о л х о в и т и н а Н.А. Стратиграфия мезозойских отложений Верхнеvezейского прогиба. Изв. АН СССР, сер. геол., № 1, 1960.

М о ш к и н В.Н. Нижнепротерозийские образования хребта Станового и Джулура. Тр. ВСЕГЕИ, нов. сер., т. 59, 1961.

О б р у ч е в В.А. История геологического исследования Сибири, период третий (1851-1888 гг.). Изд. АН СССР. 1934.

Р а с с к а з о в Ю.П. Стратиграфия докембрия хр. Турунгра. Тезисы докладов на междунар. совещ. по разраб. стратиграфии Забайкалья. Ленинград, 1961.

С е й Н.П. Материалы по стратиграфии рыхлых отложений Верхневейской депрессии. Инф. сб. № 25, ВСЕГЕИ, 1960.

С у л о в и к о в Н.Г., Н е е л о в А.Н. О возрасте Станового комплекса. Тр. Лаборат. геол. докембрия АН СССР, вып. 12. 1961.

Ф е д о р о в с к и й В.С., М о л о с т о в с к и й Э.М. Теологическая карта СССР масштаба 1:200 000, серия Становая, лист № 52-XIV. Объяснительная записка. 1961.

Т е р н е р Ф.Дж., Ф е р х у г е н Дж. Петрология изверженных и метаморфических город. Изд. "Шностр. литерат", 1961.

Т у г а р и н о в А.И., В о й т к е в и ч Г.Д. Докембринская геохронология материков. Изд. "Недра", 1966.

Ш у р к и н К.А., Г о р л о в Н.В., С а л ь е М.Е: и др. Беломорский комплекс северной Карелии и юго-запада Колывского полуострова. Тр. лаборат. геол. докембрия АН СССР, вып. 14. 1962.

Ч е м е к о в Ю.Ф. Древние седименты Дальнего Востока СССР. Сб. матер. по четвертичн. геол. и геоморфолог. ВСЕГЕИ, № 3. Госгеотехиздат, 1961.

Ф о н д о в а я х /

А н о с о в Н.П. Рапорт Амурской поисковой партии о работе в верховых р. Май и Уды. 1858.

х / Работы, место хранения которых не указано, находятся в фонде Дальневосточного ГГУ (г.Хабаровск).

В о л к о в В.В., Л у к а ш е в Н.Т. Геологическое строение и полезные ископаемые бассейна рек Кутури и Унина (отчет партии № 2 о работе 1950 г.). 1951.

Г у к а с я н Г.О. и др. Отчет о результатах работ аэро-поисковой партии № 31 за 1961 г. 1962.

Д и р е н к о В.А., С е р е ж н и к о в А.И.,

К р о т В.Е. Геологическое строение и полезные ископаемые северо-западной части листа № 52-ХI. 1962.

Д и р е н к о В.А., С е р е ж н и к о в А.И. •

К р о т В.Е. Геологическое строение и полезные ископаемые се-веро-восточной части листа № 52-ХI. 1963.

З о л о т а р е в Ю.И., З о л о т а р е в а А.И.,

П о л и т и к о в М.И. Отчет о результатах полевых работ Селемджинской геофизической партии в 1959-1960 гг. 1960.

К а з а к о в Ю.Н., К а з а ч и н а Л.Д. Отчет о результатах аэрогеофизических работ партии № 7 с прибором АСТМ-25 в Хабаровском крае и в Якутии в 1956 г. 1957.

К а р с а к о в Л.П. Геологическое строение и полезные ископаемые юго-западной части листа № 52-ХI. 1964.

К а р с а к о в Л.П., Р о м а н о в Е.И. Геологиче-ское строение и полезные ископаемые юго-восточной части листа № 52-ХI. 1965.

К а р с а к о в Л.П., Г о н ч а р о в В.Н., Р о м а-нов Б.И. Геологическое строение и полезные ископаемые се-веро-западной части листа № 52-ХI (промежуточный отчет). 1966.

Л о ш а к Н.П., К а р с а к о в Л.П. и др. Геологи-ческое строение и полезные ископаемые восточной части листа № 52-ХI. 1963.

М а р ч е н к о Г.Г., М о ш к и н В.Н., З а м о р у -с е в В.В. Геологическое строение и полезные ископаемые междуречья Тока-Зеи. 1958.

М а т р о с о в П.С., К у л р а з ч е в В.Е. Геоло-гическое строение и полезные ископаемые бассейна верхнего те-чения р.Зеи. 1951.

М и р о н о в Е.П., Т а р а с о в а В.Г. Геологиче-ское строение левобережья р.Олекмы (юго-западная часть листа 0-51). ВГФ, 1951.

М о ш к и н В.Н., А л ь б о з П.А., З а м о р у -с е в В.В. Геологическое строение и полезные ископаемые р.Улы-хын и бассейна верхнего течения р.Мая-Половинной. 1956.

М о ш к и н В.Н., Ш п а к Н.С., З л е н к о Н.Д. Стратиграфия и интрузивные образования архея и протерозоя вост-очной части Станового хребта и южной части хребта Джуликур. Тома Г и П, 1961.

М о ш к и н В.Н. Докембрый восточной части хребта Станово-го и южной части хр.Джуликур (канд. дис.). 1962.

П о д о п л е о в О.Н., В а с ь к и н А.Ф., В о л о -д и ч е в О.И., Ш е р б а к А.И. Геологическое строение и полезные ископаемые юго-восточной части листа № 52-ХI. 1962.

П р о с к о ч и л о И.И. Отчет о результатах работ гео-логоразведочных партии в бассейне реки Кутури - левого притока реки Зеи в лето 1944 г. Фонды Дамбукинского промискового управ-ления. 1945.

Р е и н л и б Э.Л. Результаты гравиметрической съемки масштаба 1:200 000 в восточной части Верхне-Зеинской месторой-впадины. 1963.

Р у л е н к о Л.Г., Р у л е н к о Г.В., М а п -кин Б.В. Отчет о результатах геологосъемочных и поисковых работ масштаба 1:50 000 в междуречье Зеи и Унина. Унинская пар-тия, 1964-1965 гг. 1966.

С а я п и н А. Сведения о золотоносности реки Кутури - левого притока р.Зеи. Фонды Дамбукинского промискового управ-ления, 1937.

С о с н и н А.А., Х и м а я М.И., З а р и п о в а Ф.М. Отчет о результатах поисковых работ на слюду-мусковит, прове-денных в бассейне р.Джалары - левого притока р.Зеи. Южно-Становская партия, 1964-1965 гг. 1966.

С у т к о в П.А., Р а с с к а з о в Ю.П., О с и п о -в а Н.К. Отчет о геологосъемочных и поисково-разведочных работах на полиметаллы в междуречье Зеи и Кутури в 1951 г. 1952.

С у т к о в П.А., Л е в ч е н к о В.П. Отчет о гео-логических исследованиях в бассейне верхнего течения рек Алго-мы, Тока, Оконона (восточная часть хребта Станового) и в Меж-дуречье Зеи-Кутури в 1950-1952 гг. 1952.

Т о л с т ы х В.В. Отчет о геологоразведочных и поиско-вых работах в Сугданско-районе за 1939-1940 гг. Фонды Дамбу-кинского промискового управления, 1940.

Я л и н ч е в Е.В., М а к а р В.И., М а к а р Л.И. Геологическое строение и полезные ископаемые юго-восточной части листа № 52-ХI. 1966.

Приложение I

Список
МАТЕРИАЛОВ, ИСПОЛЬЗОВАННЫХ ДЛЯ СОСТАВЛЕНИЯ КАРТЫ
ПОЛЕЗНЫХ ИСКОПАЕМЫХ

1	2	3	4	5
5	Карасаков Л.П.	Геологическое строение и полезные ископаемые юго-западной части территории листа № 52-ХI (отчет Кутуринской партии за 1963 г.)	1964	Отдел фондов ДГГУ, № 010386
6	Карасаков Л.П., Романов Б.И.	Геологическое строение и полезные ископаемые юго-восточной части территории листа № 52-ХI (отчет Кутуринской партии за 1964 г.)	1965	Там же, № 010954
7	Руденко Д.Г., Руденко Т.В., Машков Б.В.	Отчет о результатах геологостроительных и поисковых работ масштаба 1:50 000 в между речье Зели и Унина. Усинская партия, 1964-1965 гг.	1966	Там же, № 011834
8	Сосчин А.А., Химай М.И., Зарипова Ф.М.	Отчет о результатах поисковых работ на северо-восточной части территории листа № 52-ХI (отчет Кутуринской партии за 1962 г.)	1966	Там же, № 011801
4	Новохатко Г.Н., Зарипова Ф.М.	Отчет о результатах поисковых работ на юго-востоке в бассейне верхнего течения р.Джалагары (Бало-Становая партия, 1963 г.)	1964	— № 010585

Приложение 2

Список

НЕГОДОМЛЕННЫХ МЕСТОРОЖДЕНИЙ ПОЛЕЗНЫХ ИСКОПАЕМЫХ,
ПОКАЗАННЫХ НА ЛИСТЕ №-52-ХI КАРТЫ ПОЛЕЗНЫХ
ИСКОПАЕМЫХ МАСШТАБА 1:200 000

№ по кар- те	Индекс клетки на карте	Наименование месторождения и вид полезно- го ископаемого	Состояние эксплуата- ции	Тип ме- сторож- дения (К-корен- ное)	№ исполь- зованно- го мате- риала по списку	ИСПОД- ЗОВАН- НОГО МАТЕРИАЛА ПО СПИСКУ (при- лож. I)	
						Название (мес- тонахождение) и проявления и вид полезного ископаемого	Характеристика проявления
1	2	3	4	5			
НЕМЕТАЛЛИЧЕСКИЕ ИСКОПАЕМЫЕ							
С и л и к а т н ы е							
35							
I-4	Бодораздел Джагарма - Макдаски	Не эксплуа- тируется	K	3			
III-3	р.Кутури	То же	K	5			
МЕТАЛЛИЧЕСКИЕ ИСКОПАЕМЫЕ							
Ч е р н ы е м е т а л л ы							
Магнетитовые руды							
46	П-1 р.Бол.Иракан	Руч.Курылтылек		Обломки кварцитов	5		
72	Ш-1			Глыбы кварцитов	5		
73	Ш-1	-"		-"-	5		
77	Ш-2	р.Якодонгит		Обломки кварцитов			
80	Ш-3	р.Зея		Линза (4 x 6 м) магнетитовых квар- цитов	3		
81	Ш-3	-"		Обломки кварцитов	3		
82	Ш-3	руч.Бол.Локшак		Глыбы кварцитов	3		
83	Ш-3	Междуречье Зеи и Бол.Локшак		Обломки кварцитов	3		
84	Ш-3	р.Инагли		Простой кварцитов	3		
85	Ш-4	-"		Глыбы кварцитов	3		
87	Ш-4	-"		Линза кварцитов	3		
88	Ш-4	Руч.Карандап		Обломки кварцитов	3		

Приложение 3

Список

ПРОЯВЛЕНИЙ ПОЛЕЗНЫХ ИСКОПАЕМЫХ, ПОКАЗАННЫХ НА ЛИСТЕ
№-52-ХI КАРТЫ ПОЛЕЗНЫХ ИСКОПАЕМЫХ МАСШТАБА 1:20 000

I	2	3	4	5
89 III-4	р.Инагли	Обломки кварцитов	3	30 I-4
90 III-4	руч.Карандаш	Глыбы кварцитов	6	р.Уркачи
91 III-4	руч.Марлачан	-" -	6	Слабо окатанная галька
92 III-4	Междуречье Кылу-	Обломки кварцитов	6	с вкрапленностью пирита и магнетита
93 III-4	ри-Марлачан	-" -	48 II-3	Зона пиритизации в гнейсах
96 IY-I	р.Бол.Ванта	Обломки кварцитов, 40-45%	6	р.Джагарма
101 IY-I-	р.Мал.Ванта	-" -	5	Спектрометаллометрический ореол
106 IY-3	р.Зея	Обломки кварцитов	5	54 II-3
110 IY-3	р.Кулури	Прослой кварцитов, матнитета 15-40%	6	р.Джагарма
III IY-3	-" -	Глыбы кварцитов	71 III-I	То же
117 IY-4	Водораздел ручьев Карападам и Марлачан	Обломки кварцитов	6	Руч.Күрүлтыйлак -" -
118 IY-4	Руч.Карандам	-" -	69 III-I	Глыбы эпилитизированных гнейсов
119 IY-4	Водораздел ручьев Карападам и Караплака	-" -	70 III-I	Глыбы, обломки пиритизированных амфиболов
125 IY-4	р.Күлпүри	Простой кварцитов	71 III-I	Спектрометаллометрический ореол
129 IY-4	р.Кинияндак	Обломки кварцитов	103 IY-2	Квард-сульфидная жила
Ц е з т и н ы е м е т а л л ы				
Мель				
I-3	р.Этмата	Спектрометаллометрический ореол	3	51 II-3

I	2	3	4	5
2 I-I	р.Бол.Иракан	Спектрометаллометрический ореол	2	30 I-4
6 I-3	р.Этмата	То же	3	р.Уркачи
6 II	р.Уркачи	-" -	3	Слабо окатанная галька с вкрапленностью пирита и магнетита
29 I-4	р.Акындык	Зона окварцевания с вкрапленностью талькита и сфalerита	2	Зона пиритизации в гнейсах
38 II-3	р.Чокорто	Спектрометаллометрический ореол	3	3

I	2	3	4	5
52	П-3	Руч.Чокорто	Вкрапленность галенита в пегматите	3
58	П-4	р.Макласки	Вкрапленность галенита и молибденина в грано- диоритах	3
59	П-4	р.Макласки и р.Мукунлакан	Спектрометаллометриче- ский ореол	3
94	ГУ-1	Руч.Сивакан	То же	5
102	ГУ-2	Руч.Нельгак	"	5
109	ГУ-3	Руч.Джагачи	"	5
121	ГУ-4	р.Кулури	"	6
ЦИНК				
50	П-3	Левобережье р.Джагары	Кварцевые жилы с ли- ритом, сфalerитом, молибденитом	3
44	П-1 Ш-1	руч.Курултылак	Спектрометаллометриче- ский ореол	5
НИКЕЛЬ				
44	П-1 Ш-1	р.Итымы	Обломки породы с вкрап- ленностью арсенопирита	2
Благородные металлы				
		Золото		
53	П-3	р.Джагарма	Шлиховой ореол	7
75	Ш-2	Межуречье Бу- гачи и бол.Амну- са	Спектрометаллометриче- ский ореол	3

I	2	3	4	5
99	ГУ-1	р.Мал.Ванга	Шлиховой ореол	5
104	ГУ-2	Руч.Люшмар	То же	5
	ГУ-3			
107	ГУ-3	р.Карчалак	Шлиховой ореол	5, 6
123	ГУ-4	р.Купури	Глыбы пиритизирован- ных микродиоритов, гнейсов и кварцитов	1
Редкие металлы				
Вольфрам				
15	Г-3	р.Мал.Джарский	Шлиховой ореол	2
		Молибден		
4	Г-1	р.Бол.Иракан	Спектрометаллометриче- ский ореол	2
9	Г-2	р.Бол.Джарский	Скарнированные мраморы	2
12	Г-3	реки Этмата и	Спектрометаллометриче- ский ореол	3
14	Г-4	Джагарма	Шлиховой ореол	2
14	Г-3	р.Мал.Джарский	Спектрометаллометриче- ский ореол	2
16	Г-3	"	Шлиховой ореол	2
23	Г-4	р.Джагарма	Спектрометаллометриче- ский ореол	2
24	Г-4	"	Вкрапленность молибе- дита в гранодиоритах	3
25	Г-4	"	Обломки окварцированных гранодиоритов	3
26	Г-4	"	Прожилки кварца с молиб- денитом	3

1	2	3	4	5
27	I-4	р.Дагарма	Прожилки кварца с молибденитом	3
28	I-4	"	Вкрапленность молибдена в гранит-порфирах	3
31	I-4	р.Урначи	Глыбы кварца с вкрапленностью молибдита	3
32	I-4	р.Дагарма	Спектрометаллометрический ореол	3
36	II-I	р.Акылак	Кварцевые жилы с молибденитом	2
37	II-I	р.Бол.Иракан	Кварцевые жилы с молибденитом	2
39	II-I	Междуречье Бол.Иракан-	Обломки кварца с пиритом	2
40	II-I	Бол.Иракан	Кварцевые жилы с молибденитом	2
41	II-I	Междуречье Бол.Иракан-	Прожилки кварца в граните	2
42	II-I	р.Акылак	Кварцевые жилы с молибденитом	3
43	II-I	Руч.Амнуати	Спектрометаллометрический ореол	5
47	II-3	Руч.Чокорто	То же	3
49	II-3	Водораздел р.Джатары и руч.Чокорто	Обогранные, сульфидизированные гнейсы	3
60	II-4	Водораздел рек Магласки и Юнина	Обломки кварца с молибденитом	3

1	2	3	4	5
68	III-I	р.Бол.Иракан	Обломки кварца	5
78	III-3	р.Зея	Кварцевые прожилки с молибденитом	2
79	III-3	"	Вкрапленность молибдита в кварцевых прожилках и амфиболитах	2
86	III-4	р.Инагли	Глыбы кварца с молибденитом	3
97	IV-I	р.Юони	Вкрапленность молибдита в гнейсах	5
98	IV-I	р.Оони	Кварцевая жила с молибденитом	5, 6
100	IV-I	"	Спектрометаллометрический ореол	5
105	IV-3	р.Зея	Обломки кварца с молибденитом	5
114	IV-3	р.Кулури	То же	5
115	IV-3	Руч. 2-ой Локтак	Спектрометаллометрический ореол	5
116	IV-3	"	Вкрапленность молибдита в обломках кварца	5, 6
122	IV-4	р.Кулури	Спектрометаллометрический ореол	6
126	IV-4	"	Прожилки кварца с молибденитом	6

I	2	3	4	5
45 П-1	р.Бол.Иракан	Редкие земли	Ниобий, тантал Графитовые гнейсы Биотит-графитовые гнейсы	Шлиховой ореол
45 П-1	р.Итымди	Графитовые гнейсы	Графитовые гнейсы	Пегматитовые жилы
10 I-2	"	Биотит-графитовые гнейсы	"	Пегматитовая жила
17 I-3	р.Джагарма	Лаурелиевые гнейсы с монацитом	Лаурелиевые гнейсы с монацитом	То же
18 I-3	"	Вкрапленность цирозито-подобного минерала в сиотитовых гнейсах	Вкрапленность цирозито-подобного минерала в сиотитовых гнейсах	Три пегматитовые жилы
22 I-3	"	Жила кварц-полевошпатовых метасоматитов	Жила кварц-полевошпатовых метасоматитов	Три пегматитовые жилы
62 II-4	р.Макласки	Мусковитовые гнейсы	Мусковитовые гнейсы	Три пегматитовые жилы
74 II-1, II-2, II-3, II-4	Межуречья Оло- ни - Якодокир- Зея-Кулури- Кинлянжак	Шлиховой ореол	Шлиховой ореол	Пегматитовая жила
76 III-2	р.Якодокир	То же	5, 6	Пегматитовая жила
128 IIУ-4	Ручьи Никан, Эннакатыкак	"	6	Пегматитовая жила
6 I-2	р.Итымди	НЕМЕТАЛЛИЧЕСКИЕ ИСКОПАЕМЫЕ	Пегматитовая жила	Пегматитовая жила
		С и л и к а т н ы е	Пегматитовые жилы	Пегматитовая жила
		Слюда-мусковит	Пегматитовая жила	Пегматитовая жила

I	2	3	4	5
7 I-2	р.Итымди	Пегматитовые жилы	2	
8 I-2	"	Пегматитовая жила	2	
19 I-3	р.Этната	То же	8	
20 I-3	"	Две пегматитовые жилы	8	
21 I-3	р.Джагарма	Пегматитовая жила	8	
33 I-4	"	Три пегматитовые жилы	8	
34 I-4	"	Три пегматитовые жилы	8	
56 II-4	р.Макласки	Пегматитовая жила	7	
57 II-4	"	То же	7	
61 II-4	"	Три пегматитовые жилы	7	
63 II-4	р.Мукундакан	Глыбы пегматита	7	
64 II-4	Водораздел рек Магласки-Му- кундакана	Пегматитовая жила	7	
65 II-4	р.Макласки	Пегматитовая жила	7	
66 II-4	Водораздел рек Унина и Мукун- дакана	Линза пегматита	7	
67 II-4	р.Унин	То же	7	
95 IIУ-1	р.Онони	Пегматитовые жилы	5	
108 IIУ-3	р.Зея	Пегматитовая жила	5	

1	2	3	4	5
112	ИУ-3	р.Кулури	Пегматитовые жилы	5
120	ГУ-4	Водораздел рек Кулури-Карчелак и руч.Карандаш	То же	6
127	ГУ-4	Руч.Нимчан	-"	6

СОДЕРЖАНИЕ

	Стр.
Введение	3
Стратиграфия	9
Метаузенные образования	25
Тектоника	50
Геоморфология	60
Полезные ископаемые	65
Подземные воды	81
Литература	83
Приложения	88

В брошюре пронумеровано 102 стр.

Редактор М.А.Грифонова
Технический редактор Е.М.Павлова
Корректор Н.Н.Смирнова

Сдано в печать 17/УЦ 1973 г. Подписано к печати 28/Х 1974 г.
Тираж 200 экз. Формат 60х90/16 Печ. л. 6,5 Заказ 1007с

Центральное специализированное производственное
хозяйственное предприятие
Всесоюзного геологического фонда